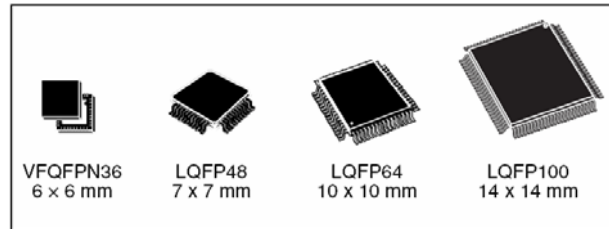




中等容量基本型，32位基于ARM核心的带64或128K字节闪存的微控制器  
6个定时器、1个ADC、7个通信接口

## 功能

- **内核：ARM 32位的Cortex™-M3 CPU**
  - 最高36MHz工作频率，在存储器的0等待周期访问时可达1.25DMips/MHz(Dhrystone 2.1)
  - 单周期乘法和硬件除法
- **存储器**
  - 从64K或128K字节的闪存程序存储器
  - 10K~16K字节的SRAM
- **时钟、复位和电源管理**
  - 2.0~3.6伏供电和I/O引脚
  - 上电/断电复位(POR/PDR)、可编程电压监测器(PVD)
  - 4~16MHz晶体振荡器
  - 内嵌经出厂调校的8MHz的RC振荡器
  - 内嵌带校准的40kHz的RC振荡器
  - 产生CPU时钟的PLL
  - 带校准功能的32kHz RTC振荡器
- **低功耗**
  - 睡眠、停机和待机模式
  - $V_{BAT}$ 为RTC和后备寄存器供电
- **调试模式**
  - 串行单线调试(SWD)和JTAG接口
- **DMA:**
  - 7通道DMA控制器
  - 支持的外设：定时器、ADC、SPI、 $I^2C$ 和USART
- **1个12位模数转换器，1μs转换时间(多达16个输入通道)**
  - 转换范围：0~3.6V
  - 温度传感器
- **多达80个快速I/O端口**
  - 26/37/51/80个I/O口，所有I/O口可以映像到16个外部中断；几乎所有端口均可容忍5V信号



- **6个定时器**
  - 3个16位定时器，每个定时器有多达4个用于输入捕获/输出比较/PWM或脉冲计数的通道
  - 2个看门狗定时器(独立的和窗口型的)
  - 系统时间定时器：24位自减型计数器
- **多达7个通信接口**
  - 多达2个 $I^2C$ 接口(支持SMBus/PMBus)
  - 多达3个USART接口(支持ISO7816接口，LIN, IrDA接口和调制解调控制)
  - 多达2个SPI接口(18M位/秒)
- **CRC计算单元，96位的芯片唯一代码**
- **ECOPACK®封装**

表1 器件列表

| 参考          | 基本型号  |
|-------------|---|
| STM32F101x8 | STM32F101C8、STM32F101R8、STM32F101V8、STM32F101T8 |
| STM32F101xB | STM32F101RB、STM32F101VB、STM32F101TB             |

本文档英文原文下载地址：<http://www.st.com/stonline/products/literature/ds/13586.pdf>

## 目录

|        |                             |    |
|--------|-----------------------------|----|
| 1      | 介绍                          | 4  |
| 2      | 规格说明                        | 5  |
| 2.1    | 器件一览                        | 5  |
| 2.2    | 系列之间的全兼容性                   | 5  |
| 2.3    | 概述                          | 6  |
| 2.3.1  | ARM®的Cortex™-M3核心并内嵌闪存和SRAM | 6  |
| 2.3.2  | 内置闪存存储器                     | 6  |
| 2.3.3  | CRC(循环冗余校验)计算单元             | 6  |
| 2.3.4  | 内置SRAM                      | 6  |
| 2.3.5  | 嵌套的向量式中断控制器(NVIC)           | 6  |
| 2.3.6  | 外部中断/事件控制器(EXTI)            | 7  |
| 2.3.7  | 时钟和启动                       | 7  |
| 2.3.8  | 自举模式                        | 7  |
| 2.3.9  | 供电方案                        | 7  |
| 2.3.10 | 供电监控器                       | 7  |
| 2.3.11 | 电压调压器                       | 7  |
| 2.3.12 | 低功耗模式                       | 7  |
| 2.3.13 | DMA                         | 8  |
| 2.3.14 | RTC(实时时钟)和后备寄存器             | 8  |
| 2.3.15 | 独立看门狗                       | 8  |
| 2.3.16 | 窗口看门狗                       | 8  |
| 2.3.17 | 系统时基定时器                     | 8  |
| 2.3.18 | 通用定时器(TIMx)                 | 9  |
| 2.3.19 | I <sup>2</sup> C总线          | 9  |
| 2.3.20 | 通用同步/异步收发器(USART)           | 9  |
| 2.3.21 | 串行外设接口(SPI)                 | 9  |
| 2.3.22 | 通用输入输出接口(GPIO)              | 9  |
| 2.3.23 | ADC(模拟/数字转换器)               | 9  |
| 2.3.24 | 温度传感器                       | 9  |
| 2.3.25 | 串行单线JTAG调试口(SWJ-DP)         | 9  |
| 3      | 引脚定义                        | 12 |
| 4      | 存储器映像                       | 19 |
| 5      | 电气特性                        | 20 |
| 5.1    | 测试条件                        | 20 |
| 5.1.1  | 最小和最大数值                     | 20 |
| 5.1.2  | 典型数值                        | 20 |
| 5.1.3  | 典型曲线                        | 20 |
| 5.1.4  | 负载电容                        | 20 |
| 5.1.5  | 引脚输入电压                      | 20 |
| 5.1.6  | 供电方案                        | 21 |

|        |                     |    |
|--------|---------------------|----|
| 5.1.7  | 电流消耗测量 .....        | 21 |
| 5.2    | 绝对最大额定值 .....       | 21 |
| 5.3    | 工作条件 .....          | 22 |
| 5.3.1  | 通用工作条件 .....        | 22 |
| 5.3.2  | 上电和掉电时的工作条件 .....   | 23 |
| 5.3.3  | 内嵌复位和电源控制模块特性 ..... | 23 |
| 5.3.4  | 内置的参照电压 .....       | 23 |
| 5.3.5  | 供电电流特性 .....        | 24 |
| 5.3.6  | 外部时钟源特性 .....       | 30 |
| 5.3.7  | 内部时钟源特性 .....       | 33 |
| 5.3.8  | PLL特性 .....         | 34 |
| 5.3.9  | 存储器特性 .....         | 34 |
| 5.3.10 | EMC特性 .....         | 34 |
| 5.3.11 | 绝对最大值(电气敏感性) .....  | 35 |
| 5.3.12 | I/O端口特性 .....       | 36 |
| 5.3.13 | NRST引脚特性 .....      | 38 |
| 5.3.14 | TIM定时器特性 .....      | 39 |
| 5.3.15 | 通信接口 .....          | 39 |
| 5.3.16 | 12位ADC特性 .....      | 42 |
| 5.3.17 | 温度传感器特性 .....       | 46 |
| 6      | 封装特性 .....          | 47 |
| 6.1    | 封装机械数据 .....        | 47 |
| 6.2    | 热特性 .....           | 51 |
| 6.2.1  | 参考文档 .....          | 51 |
| 6.2.2  | 选择产品的温度范围 .....     | 51 |
| 7      | 订货代码 .....          | 53 |
| 8      | 版本历史 .....          | 54 |

# 1 介绍

本文给出了STM32F101x8和STM32F101xB中等容量基本型产品的订购信息和器件的机械特性。有关完整的STM32F101xx系列的详细信息，请参考第2.2节。

中等容量STM32F101xx数据手册，必须结合[STM32F10xxx参考手册](#)一起阅读。

有关内部闪存存储器的编程、擦除和保护等信息，请参考《[STM32F10xxx闪存编程参考手册](#)》。

参考手册和闪存编程参考手册均可在ST网站下载：[www.st.com/mcu](http://www.st.com/mcu)

有关Cortex™-M3核心的相关信息，请参考《[Cortex-M3技术参考手册](#)》，可以在[ARM公司的网站](http://infocenter.arm.com/help/index.jsp?topic=/com.arm.doc.ddi0337e/)下载：<http://infocenter.arm.com/help/index.jsp?topic=/com.arm.doc.ddi0337e/>。



## 2 规格说明

STM32F101x8和STM32F101xB中等容量基本型系列使用高性能的ARM® Cortex™-M3 32位的RISC内核，工作频率为36MHz，内置高速存储器(高达128K字节的闪存和16K字节的SRAM)，丰富的增强I/O端口和联接到两条APB总线的外设。所有型号的器件都包含标准的通信接口(2个I<sup>2</sup>C接口、2个SPI接口和3个USART接口)，1个12位的ADC和3个通用16位定时器。

STM32F101xx中等容量基本型系列产品工作于-40°C至+85°C温度范围，供电电压为2.0V至3.6V。一系列的省电模式保证低功耗应用的要求。

STM32F101xx中等容量基本型系列产品提供包括从36脚至100脚的4种不同封装形式；根据不同的封装形式，器件中的外设配置不尽相同。下面给出了该系列产品中所有外设的基本介绍。

这些丰富的外设配置，使得STM32F101xx中等容量基本型系列微控制器适合于多种应用场合：

- 应用控制和用户界面
- 医疗和手持设备
- PC游戏外设和GPS平台
- 工业应用：可编程控制器(PLC)、变频器、打印机和扫描仪
- 警报系统、视频对讲、和暖气通风空调系统等

图1给出了该产品系列的框图。

## 2.1 器件一览

表2 STM32F101xx中等容量产品功能和外设配置

| 外设            |                  | STM32F101Tx                                    | STM32F101Cx                             |        | STM32F101Rx |         | STM32F101Vx |     |  |  |  |  |  |  |  |
|---------------|------------------|--|---|--------|-------------|---------|-------------|-----|--|--|--|--|--|--|--|
| 闪存(K字节)       |                  | 64   | 64                                      | 128    | 64          | 128     | 64          | 128 |  |  |  |  |  |  |  |
| SRAM(K字节)     |                  | 10   | 10                                      | 16     | 10          | 16      | 10          | 16  |  |  |  |  |  |  |  |
| 定时器           | 通用               | 3个(TIM2、TIM3、TIM4)                             |   |        |             |         |             |     |  |  |  |  |  |  |  |
| 通信<br>接口      | SPI              | 1个(SPI1)                                       | 2个(SPI1、SPI2)                           |        |             |         |             |     |  |  |  |  |  |  |  |
|               | I <sup>2</sup> C | 1个(I <sup>2</sup> C1)                          | 2个(I <sup>2</sup> C1、I <sup>2</sup> C2) |        |             |         |             |     |  |  |  |  |  |  |  |
|               | USART            | 2个(USART1、USART2)                              | 3个(USART1、USART2、USART3)                |        |             |         |             |     |  |  |  |  |  |  |  |
| 12位ADC模块(通道数) |                  | 1(10)  | 1(10)                                   |        | 1(16)       | 1(16)   |             |     |  |  |  |  |  |  |  |
| GPIO端口        |                  | 26   | 37                                      |        | 51          | 80      |             |     |  |  |  |  |  |  |  |
| CPU频率         |                  | 36MHz  |   |        |             |         |             |     |  |  |  |  |  |  |  |
| 工作电压          |                  | 2.0~3.6V                                       |   |        |             |         |             |     |  |  |  |  |  |  |  |
| 工作温度          |                  | 环境温度：-40°C~+85°C(见表7)<br>结温度：-40°C~+105°C(见表7) |   |        |             |         |             |     |  |  |  |  |  |  |  |
| 封装形式          |                  | VFQFPN36                                       | LQFP48                                  | LQFP64 |             | LQFP100 |             |     |  |  |  |  |  |  |  |

## 2.2 系列之间的全兼容性

STM32F101xx是一个完整的系列，其成员之间是完全地脚对脚兼容，软件和功能上也兼容。在参考手册中，STM32F101x4和STM32F101x6被归为小容量产品，STM32F101x8和STM32F101xB被归为中等容量产品，STM32F101xC、STM32F101xD和STM32F101xE被归为大容量产品。

小容量和大容量产品是中等容量产品(STM32F101x8/B)的延伸，分别在对应的数据手册中介绍：STM32F101x4/6数据手册和STM32F101xC/D/E数据手册。小容量产品具有较小的闪存存储器、RAM空间和较少的定时器和外设。而大容量的产品则具有较大的闪存存储器、RAM空间和更多的片上外设，如FSMC和DAC等，同时保持与其它同系列的STM32F101xx产品兼容。

STM32F101x4、STM32F101x6、STM32F101xC、STM32F101xD和STM32F101xE可直接替换中等容量的STM32F101x8/B产品，为用户在产品开发中尝试使用不同的存储容量提供了更大的自由度。

同时, STM32F101xx基本型产品与现有的STM32F101xx基本型和STM32F102xx USB基本型产品全兼容。

表3 STM32F101xx系列

| 引脚数目 | 小容量产品   |                      | 中等容量产品  |         | 大容量产品            |                  |         |  |  |  |  |  |
|------|---|----------------------|---|---------|------------------|------------------|---------|--|--|--|--|--|
|      | 16K闪存   | 32K闪存 <sup>(1)</sup> | 64K闪存   | 128K闪存  | 256K闪存           | 384K闪存           | 512K闪存  |  |  |  |  |  |
|      | 4K RAM  | 6K RAM               | 10K RAM   | 16K RAM | 32K RAM          | 48K RAM          | 48K RAM |  |  |  |  |  |
| 144  |   |                      |   |         | 5个USART + 2个UART |                  |         |  |  |  |  |  |
| 100  |   |                      | 3个USART<br>3个16位定时器<br>2个SPI、2个I <sup>2</sup> C、1个ADC、1个DAC<br>FSMC(100和144脚封装) |         |                  | 4个16位定时器、2个基本定时器 |         |  |  |  |  |  |
| 64   | 2个USART<br>2个16位定时器<br>1个SPI、1个I <sup>2</sup> C |                      |   |         |                  |                  |         |  |  |  |  |  |
| 48   |   |                      |   |         |                  |                  |         |  |  |  |  |  |
| 36   | 1个ADC   |                      |   |         |                  |                  |         |  |  |  |  |  |

1. 对于订购代码的温度尾缀(6)之后没有代码A的产品, 其对应的电气参数部分, 请参考STM32F101x8/B中等容量产品数据手册。

## 2.3 概述

### 2.3.1 ARM®的Cortex™-M3核心并内嵌闪存和SRAM

ARM的Cortex™-M3处理器是最新一代的嵌入式ARM处理器, 它为实现MCU的需要提供了低成本的平台、缩减的引脚数目、降低的系统功耗, 同时提供卓越的计算性能和先进的中断系统响应。

ARM的Cortex™-M3是32位的RISC处理器, 提供额外的代码效率, 在通常8和16位系统的存储空间上发挥了ARM内核的高性能。

STM32F101xx基本型系列拥有内置的ARM核心, 因此它与所有的ARM工具和软件兼容。

### 2.3.2 内置闪存存储器

64K或128K字节的内置闪存存储器, 用于存放程序和数据。

### 2.3.3 CRC(循环冗余校验)计算单元

CRC(循环冗余校验)计算单元使用一个固定的多项式发生器, 从一个32位的数据字产生一个CRC码。在众多的应用中, 基于CRC的技术被用于验证数据传输或存储的一致性。在EN/IEC 60335-1标准的范围内, 它提供了一种检测闪存存储器错误的手段, CRC计算单元可以用于实时地计算软件的签名, 并与在链接和生成该软件时产生的签名对比。

### 2.3.4 内置SRAM

多达16K字节的内置SRAM, CPU能以0等待周期访问(读/写)。

### 2.3.5 嵌套的向量式中断控制器(NVIC)

STM32F101xx基本型产品内置嵌套的向量式中断控制器, 能够处理多达43个可屏蔽中断通道(不包括16个Cortex™-M3的中断线)和16个优先级。

- 紧耦合的NVIC能够达到低延迟的中断响应处理
- 中断向量入口地址直接进入内核
- 紧耦合的NVIC接口
- 允许中断的早期处理
- 处理晚到的较高优先级中断
- 支持中断尾部链接功能
- 自动保存处理器状态
- 中断返回时自动恢复, 无需额外指令开销

该模块以最小的中断延迟提供灵活的中断管理功能。

### 2.3.6 外部中断/事件控制器(EXTI)

外部中断/事件控制器包含19个边沿检测器，用于产生中断/事件请求。每个中断线都可以独立地配置它的触发事件(上升沿或下降沿或双边沿)，并能够单独地被屏蔽；有一个挂起寄存器维持所有中断请求的状态。EXTI可以检测到脉冲宽度小于内部APB2的时钟周期。多达80个通用I/O口连接到16个外部中断线。

### 2.3.7 时钟和启动

系统时钟的选择是在启动时进行，复位时内部8MHz的RC振荡器被选为默认的CPU时钟，随后可以选择外部的、具失效监控的4~16MHz时钟；当检测到外部时钟失效时，它将被隔离，系统将自动地切换到内部的RC振荡器，如果使能了中断，软件可以接收到相应的中断。同样，在需要时可以采取对PLL时钟完全的中断管理(如当一个间接使用的外部振荡器失效时)。

多个预分频器用于配置AHB的频率、高速APB(APB2)和低速APB(APB1)区域。AHB和APB的最高频率是36MHz。参考图2的时钟驱动框图。

### 2.3.8 自举模式

在启动时，通过自举引脚可以选择三种自举模式中的一种：

- 从程序闪存存储器自举
- 从系统存储器自举
- 从内部SRAM自举

自举加载程序(Bootloader)存放于系统存储器中，可以通过USART1对闪存重新编程。更详细的信息，请参考[应用笔记AN2606](#)。

### 2.3.9 供电方案

- $V_{DD} = 2.0 \sim 3.6V$ :  $V_{DD}$ 引脚为I/O引脚和内部调压器供电。
- $V_{SSA}, V_{DDA} = 2.0 \sim 3.6V$ : 为ADC、复位模块、RC振荡器和PLL的模拟部分提供供电。使用ADC时， $V_{DDA}$ 不得小于2.4V。 $V_{DDA}$ 和 $V_{SSA}$ 必须分别连接到 $V_{DD}$ 和 $V_{SS}$ 。
- $V_{BAT} = 1.8 \sim 3.6V$ : 当关闭 $V_{DD}$ 时，(通过内部电源切换器)为RTC、外部32kHz振荡器和后备寄存器供电。

关于如何连接电源引脚的详细信息，参见图10供电方案。

### 2.3.10 供电监控器

本产品内部集成了上电复位(POR)/掉电复位(PDR)电路，该电路始终处于工作状态，保证系统在供电超过2V时工作；当 $V_{DD}$ 低于设定的阀值( $V_{POR/PDR}$ )时，置器件于复位状态，而不必使用外部复位电路。

器件中还有一个可编程电压监测器(PVD)，它监视 $V_{DD}/V_{DDA}$ 供电并与阀值 $V_{PVD}$ 比较，当 $V_{DD}$ 低于或高于阀值 $V_{PVD}$ 时产生中断，中断处理程序可以发出警告信息或将微控制器转入安全模式。PVD功能需要通过程序开启。关于 $V_{POR/PDR}$ 和 $V_{PVD}$ 的值参考表10。

### 2.3.11 电压调压器

调压器有三个操作模式：主模式(MR)、低功耗模式(LPR)和关断模式

- 主模式(MR)用于正常的运行操作
- 低功耗模式(LPR)用于CPU的停机模式
- 关断模式用于CPU的待机模式：调压器的输出为高阻状态，内核电路的供电切断，调压器处于零消耗状态(但寄存器和SRAM的内容将丢失)

该调压器在复位后始终处于工作状态，在待机模式下关闭处于高阻输出。

### 2.3.12 低功耗模式

STM32F101xC、STM32F101xD和STM32F101xE基本型产品支持三种低功耗模式，可以在要求低功耗、短启动时间和多种唤醒事件之间达到最佳的平衡。

- **睡眠模式**

在睡眠模式，只有CPU停止，所有外设处于工作状态并可在发生中断/事件时唤醒CPU。

- **停机模式**

在保持SRAM和寄存器内容不丢失的情况下，停机模式可以达到最低的电能消耗。在停机模式下，停止所有内部1.8V部分的供电，PLL、HSI的RC振荡器和HSE晶体振荡器被关闭，调压器可以被置于普通模式或低功耗模式。

可以通过任一配置成EXTI的信号把微控制器从停机模式中唤醒，EXTI信号可以是16个外部I/O口之一、PVD的输出、RTC闹钟或USB的唤醒信号。

- **待机模式**

在待机模式下可以达到最低的电能消耗。内部的电压调压器被关闭，因此所有内部1.8V部分的供电被切断；PLL、HSI的RC振荡器和HSE晶体振荡器也被关闭；进入待机模式后，SRAM和寄存器的内容将消失，但后备寄存器的内容仍然保留，待机电路仍工作。

从待机模式退出的条件是：NRST上的外部复位信号、IWDG复位、WKUP引脚上的一个上升边缘或RTC的闹钟到时。

注：**在进入停机或待机模式时，RTC、IWDG和对应的时钟不会被停止。**

### 2.3.13 DMA

灵活的7路通用DMA可以管理存储器到存储器、设备到存储器和存储器到设备的数据传输；DMA控制器支持环形缓冲区的管理，避免了控制器传输到达缓冲区结尾时所产生的中断。

每个通道都有专门的硬件DMA请求逻辑，同时可以由软件触发每个通道；传输的长度、传输的源地址和目标地址都可以通过软件单独设置。

DMA可以用于主要的外设：SPI、I<sup>2</sup>C、USART，通用定时器TIMx和ADC。

### 2.3.14 RTC(实时时钟)和后备寄存器

RTC和后备寄存器通过一个开关供电，在V<sub>DD</sub>有效时该开关选择V<sub>DD</sub>供电，否则由V<sub>BAT</sub>引脚供电。后备寄存器(10个16位的寄存器)可以用于在关闭V<sub>DD</sub>时，保存20个字节的用户应用数据。RTC和后备寄存器不会被系统或电源复位源复位；当从待机模式唤醒时，也不会被复位。

实时时钟具有一组连续运行的计数器，可以通过适当的软件提供日历时钟功能，还具有闹钟中断和阶段性中断功能。RTC的驱动时钟可以是一个使用外部晶体的32.768kHz的振荡器、内部低功耗RC振荡器或高速的外部时钟经128分频。内部低功耗RC振荡器的典型频率为40kHz。为补偿天然晶体的偏差，可以通过输出一个512Hz的信号对RTC的时钟进行校准。RTC具有一个32位的可编程计数器，使用比较寄存器可以进行长时间的测量。有一个20位的预分频器用于时基时钟，默认情况下时钟为32.768kHz时，它将产生一个1秒长的时间基准。

### 2.3.15 独立看门狗

独立的看门狗是基于一个12位的递减计数器和一个8位的预分频器，它由一个内部独立的40kHz的RC振荡器提供时钟；因为这个RC振荡器独立于主时钟，所以它可运行于停机和待机模式。它可以被当成看门狗用于在发生问题时复位整个系统，或作为一个自由定时器为应用程序提供超时管理。通过选项字节可以配置成是软件或硬件启动看门狗。在调试模式下，计数器可以被冻结。

### 2.3.16 窗口看门狗

窗口看门狗内有一个7位的递减计数器，并可以设置成自由运行。它可以被当成看门狗用于在发生问题时复位整个系统。它由主时钟驱动，具有早期预警中断功能；在调试模式下，计数器可以被冻结。

### 2.3.17 系统时基定时器

这个定时器是专用于实时操作系统，也可当成一个标准的递减计数器。它具有下述特性：

- 24位的递减计数器
- 自动重加载功能
- 当计数器为0时能产生一个可屏蔽系统中断
- 可编程时钟源

## 2.3.18 通用定时器(TIMx)

STM32F101xx中等容量基本型产品中，内置了多达3个可同步运行的标准定时器(TIM2、TIM3和TIM4)。每个定时器都有一个16位的自动加载递加/递减计数器、一个16位的预分频器和4个独立的通道，每个通道都可用于输入捕获、输出比较、PWM和单脉冲模式输出，在最大的封装配置中可提供最多12个输入捕获、输出比较或PWM通道。

它们还能通过定时器链接功能与高级控制定时器共同工作，提供同步或事件链接功能。在调试模式下，计数器可以被冻结。任一标准定时器都能用于产生PWM输出。每个定时器都有独立的DMA请求机制。

这些定时器还能够处理增量编码器的信号，也能处理1至3个霍尔传感器的数字输出。

## 2.3.19 I<sup>2</sup>C总线

多达2个I<sup>2</sup>C总线接口，能够工作于多主模式或从模式，支持标准和快速模式。

I<sup>2</sup>C接口支持7位或10位寻址，7位从模式时支持双从地址寻址。内置了硬件CRC发生器/校验器。

它们可以使用DMA操作并支持SMBus总线2.0版/PMBus总线。

## 2.3.20 通用同步/异步收发器(USART)

USART1接口通信速率可达2.25兆位/秒。USART接口具有硬件的CTS和RTS信号管理、支持IrDA SIR ENDEC传输编解码、兼容ISO7816的智能卡并提供LIN主/从功能。

所有USART接口都可以使用DMA操作。

## 2.3.21 串行外设接口(SPI)

多达2个SPI接口，在从或主模式下，全双工和半双工的通信速率可达18兆位/秒。3位的预分频器可产生8种主模式频率，可配置成每帧8位或16位。硬件的CRC产生/校验支持基本的SD卡和MMC模式。

所有的SPI接口都可以使用DMA操作。

## 2.3.22 通用输入输出接口(GPIO)

每个GPIO引脚都可以由软件配置成输出(推挽或开漏)、输入(带或不带上拉或下拉)或复用的外设功能端口。多数GPIO引脚都与数字或模拟的复用外设共用。除了具有模拟输入功能的端口，所有的GPIO引脚都有大电流通过能力。

在需要的情况下，I/O引脚的外设功能可以通过一个特定的操作锁定，以避免意外的写入I/O寄存器。

## 2.3.23 ADC(模拟/数字转换器)

12位的模拟/数字转换器(ADC)，共用多达16个外部通道，可以实现单次或扫描转换。在扫描模式下，自动进行在选定的一组模拟输入上的转换。

ADC可以使用DMA操作。

模拟看门狗功能允许非常精准地监视一路、多路或所有选中的通道，当被监视的信号超出预置的阀值时，将产生中断。

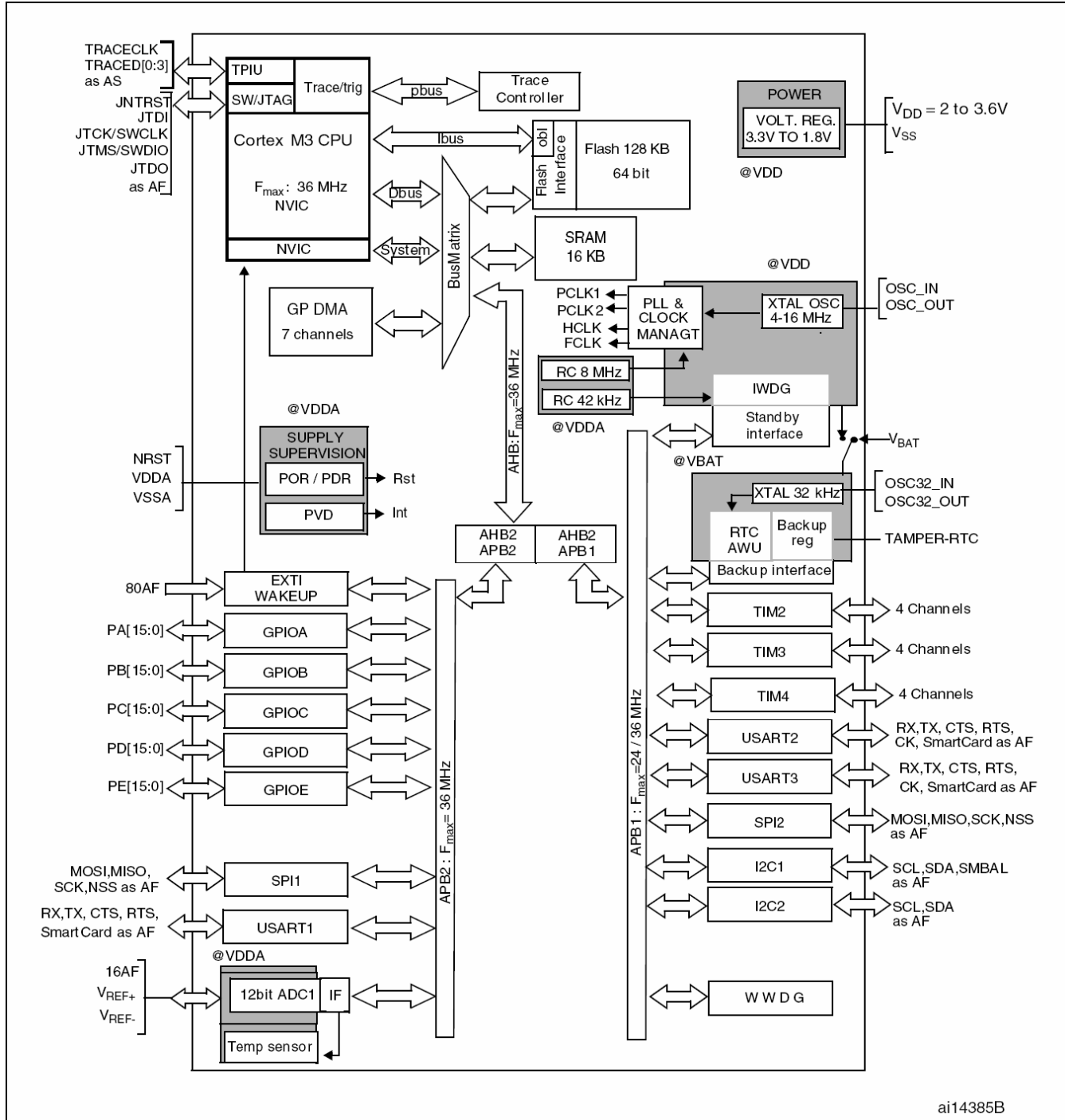
## 2.3.24 温度传感器

温度传感器产生一个随温度线性变化的电压，转换范围在 $2V < V_{DDA} < 3.6V$ 之间。温度传感器在内部被连接到ADC\_IN16的输入通道上，用于将传感器的输出转换到数字数值。

## 2.3.25 串行单线JTAG调试口(SWJ-DP)

内嵌ARM的SWJ-DP接口，这是一个结合了JTAG和串行单线调试的接口，可以实现串行单线调试接口或JTAG接口的连接。JTAG的TMS和TCK信号分别与SWDIO和SWCLK共用引脚，TMS脚上的一个特殊的信号序列用于在JTAG-DP和SW-DP间切换。

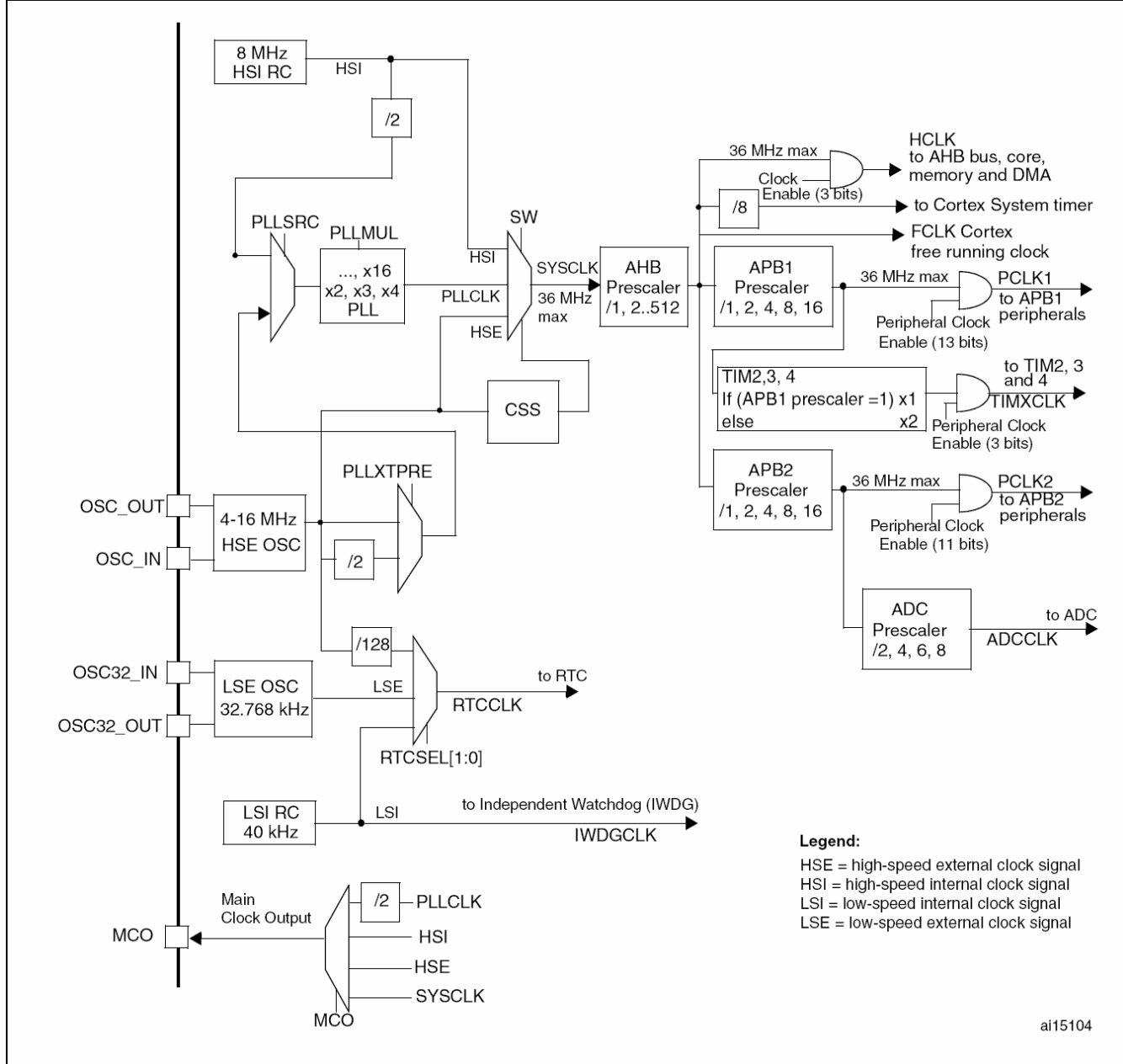
图1 STM32F101xx中等容量基本型模块框图



1. AF: 可作为外设功能脚的I/O端口
2. 工作温度: -40°C至+85°C, 结温达105°C。

ai14385B

图2 时钟树



- 当HSI作为PLL时钟的输入时，最高的系统时钟频率只能达到36MHz。
- 当需要ADC采样时间为1μs时，APB2必须设置在14MHz或28MHz。

3 引脚定义

图3 STM32F101xx中等容量基本型LQFP100引脚分布

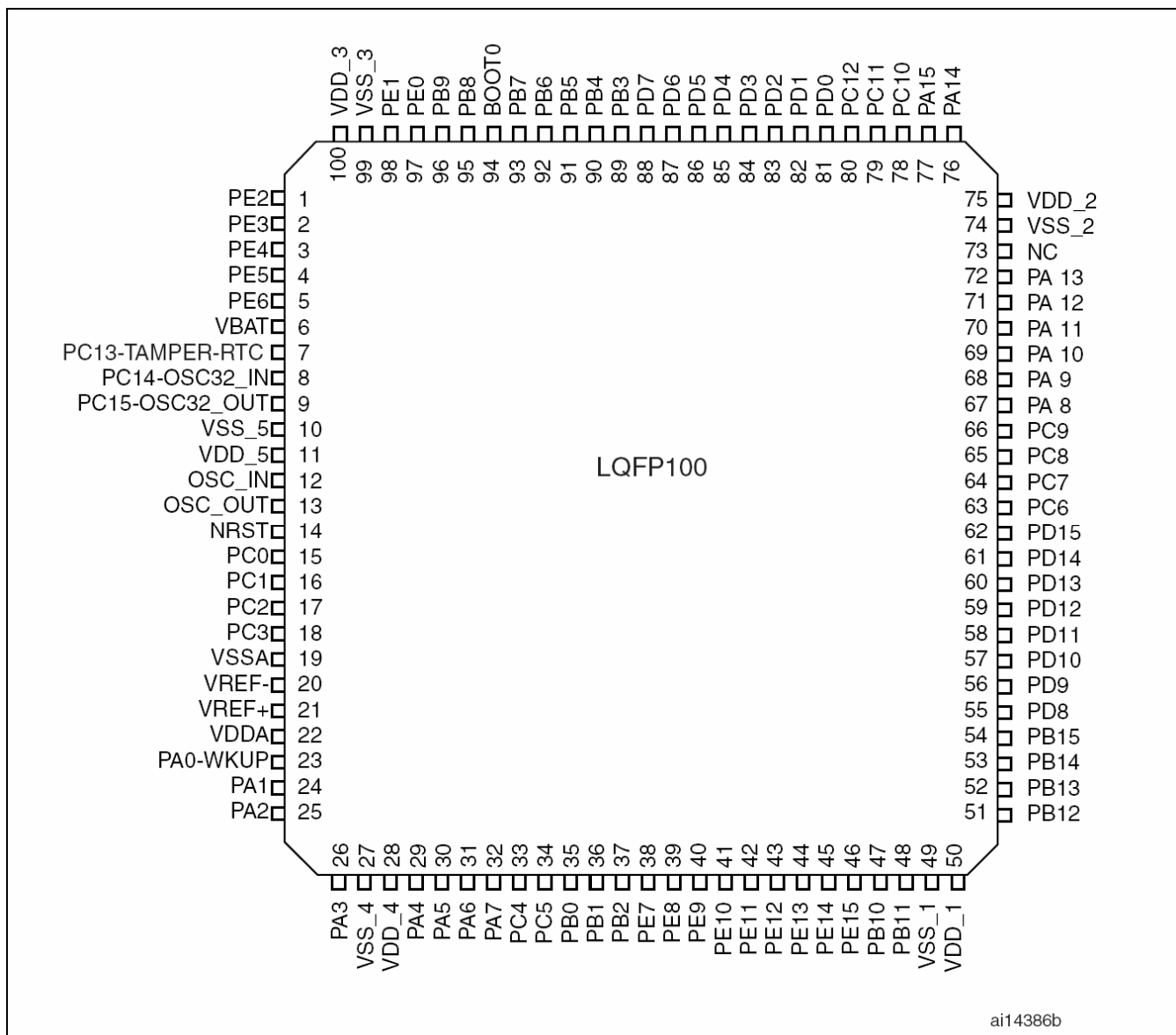
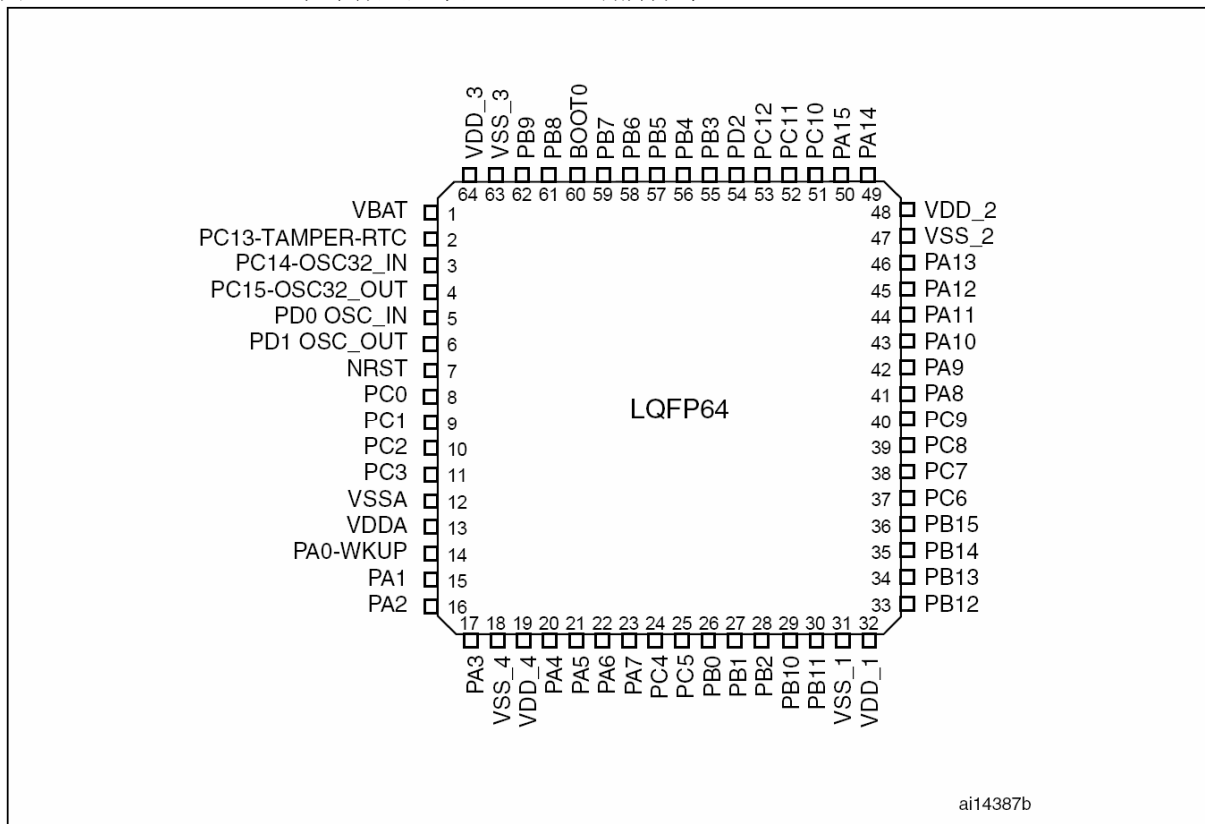
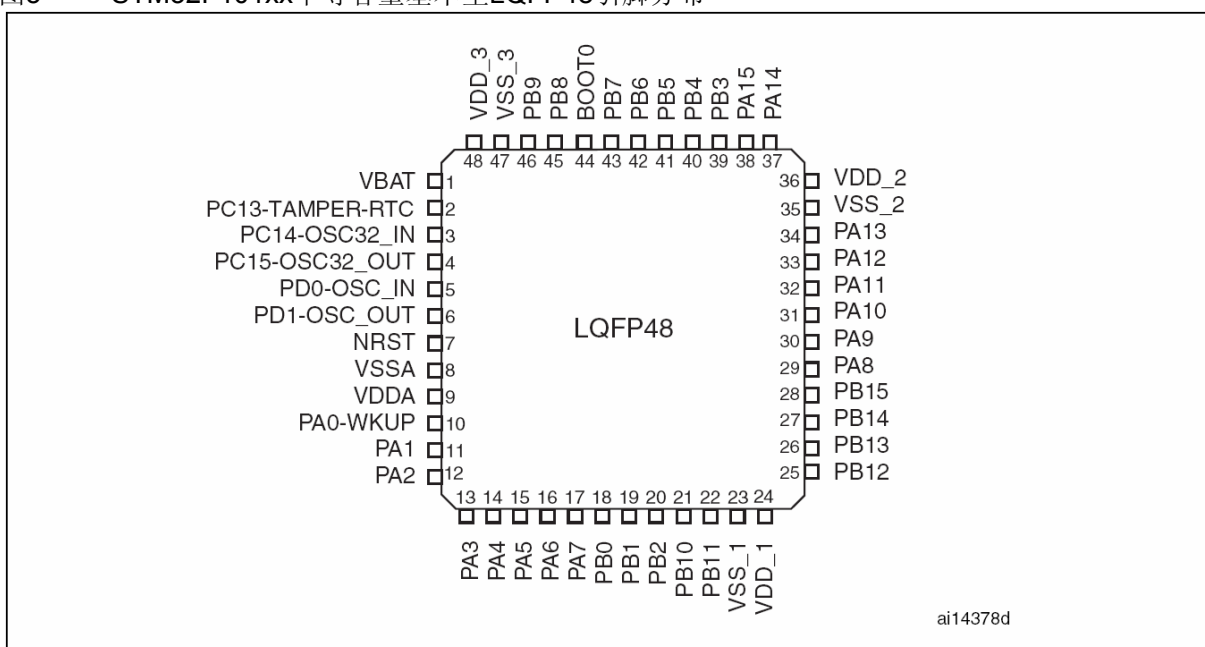


图4 STM32F101xx中等容量基本型LQFP64引脚分布



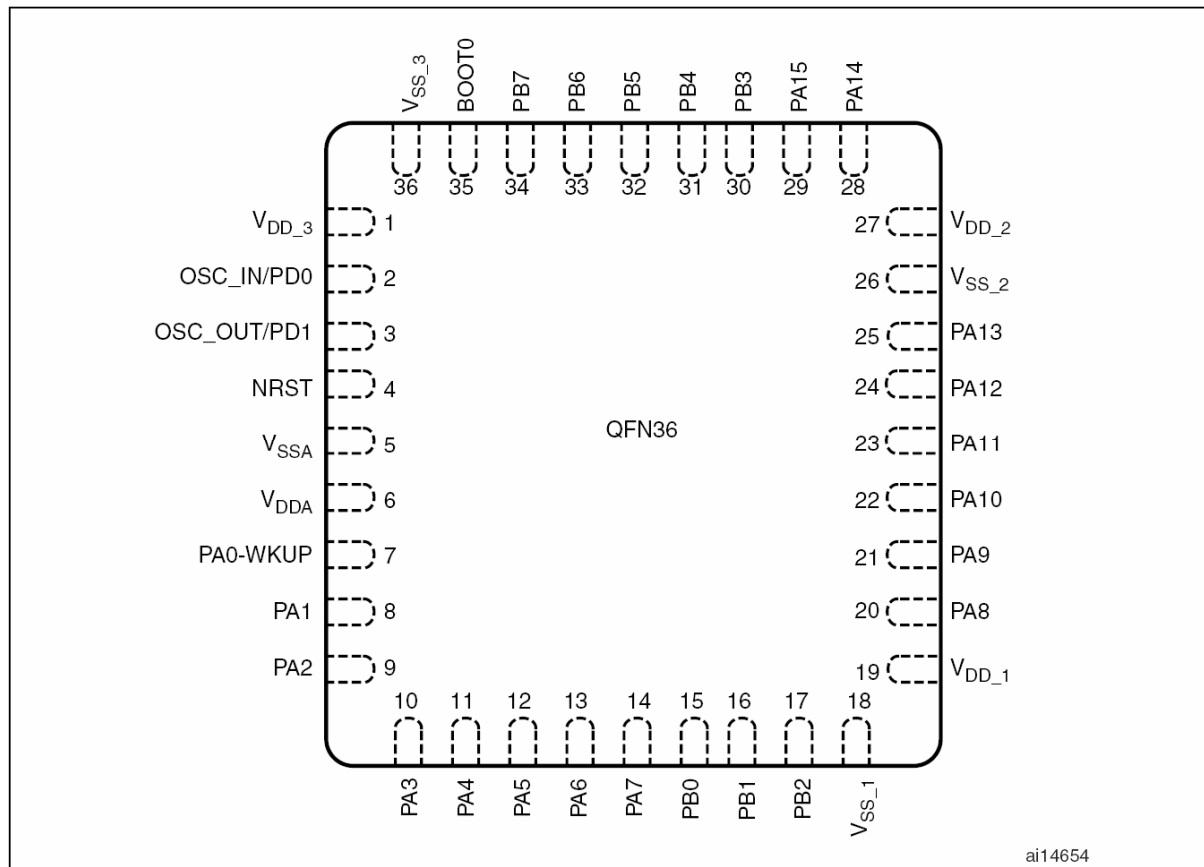
ai14387b

图5 STM32F101xx中等容量基本型LQFP48引脚分布



ai14378d

图6 STM32F101xx基本型VFQFPN36引脚分布



ai14654

表4 中等容量STM32F101xx引脚定义

| 引脚编号 |    |    |    | 引脚名称                           | 类型<br>(1) | I/O<br>电平(2) | 主功能 <sup>(3)</sup><br>(复位后) | 可选的复用功能 <sup>(3)</sup>  |       |
|------|----|----|----|--------------------------------|-----------|--------------|-----------------------------|---|-------|
|      |    |    |    |                                |           |              |                             | 默认复用功能  | 重定义功能 |
| -    | -  | 1  | -  | PE2                            | I/O       | FT           | PE2                         | TRACECLK  |       |
| -    | -  | 2  | -  | PE3                            | I/O       | FT           | PE3                         | TRACED0   |       |
| -    | -  | 3  | -  | PE4                            | I/O       | FT           | PE4                         | TRACED1   |       |
| -    | -  | 4  | -  | PE5                            | I/O       | FT           | PE5                         | TRACED2   |       |
| -    | -  | 5  | -  | PE6                            | I/O       | FT           | PE6                         | TRACED3   |       |
| 1    | 1  | 6  | -  | V <sub>BAT</sub>               | S         |              | V <sub>BAT</sub>            |   |       |
| 2    | 2  | 7  | -  | PC13-TAMPER-RTC <sup>(4)</sup> | I/O       |              | PC13 <sup>(5)</sup>         | TAMPER-RTC  |       |
| 3    | 3  | 8  | -  | PC14-OSC32_IN <sup>(4)</sup>   | I/O       |              | PC14 <sup>(5)</sup>         | OSC32_IN  |       |
| 4    | 4  | 9  | -  | PC15-OSC32_OUT <sup>(4)</sup>  | I/O       |              | PC15 <sup>(5)</sup>         | OSC32_OUT   |       |
| -    | -  | 10 | -  | V <sub>SS_5</sub>              | S         |              | V <sub>SS_5</sub>           |   |       |
| -    | -  | 11 | -  | V <sub>DD_5</sub>              | S         |              | V <sub>DD_5</sub>           |   |       |
| 5    | 5  | 12 | 2  | OSC_IN                         | I         |              | OSC_IN                      |   |       |
| 6    | 6  | 13 | 3  | OSC_OUT                        | O         |              | OSC_OUT                     |   |       |
| 7    | 7  | 14 | 4  | NRST                           | I/O       |              | NRST                        |   |       |
| -    | 8  | 15 | -  | PC0                            | I/O       |              | PC0                         | ADC_IN10  |       |
| -    | 9  | 16 | -  | PC1                            | I/O       |              | PC1                         | ADC_IN11  |       |
| -    | 10 | 17 | -  | PC2                            | I/O       |              | PC2                         | ADC_IN12  |       |
| -    | 11 | 18 | -  | PC3                            | I/O       |              | PC3                         | ADC_IN13  |       |
| 8    | 12 | 19 | 5  | V <sub>SSA</sub>               | S         |              | V <sub>SSA</sub>            |   |       |
| -    | -  | 20 | -  | V <sub>REF-</sub>              | S         |              | V <sub>REF-</sub>           |   |       |
| -    | -  | 21 | -  | V <sub>REF+</sub>              | S         |              | V <sub>REF+</sub>           |   |       |
| 9    | 13 | 22 | 6  | V <sub>DDA</sub>               | S         |              | V <sub>DDA</sub>            |   |       |
| 10   | 14 | 23 | 7  | PA0-WKUP                       | I/O       |              | PA0                         | WKUP/USART2_CTS <sup>(7)</sup><br>ADC_IN0/<br>TIM2_CH1_ETR <sup>(7)</sup> |       |
| 11   | 15 | 24 | 8  | PA1                            | I/O       |              | PA1                         | USART2 RTS <sup>(7)</sup> /<br>ADC_IN1/TIM2_CH2 <sup>(7)</sup>            |       |
| 12   | 16 | 25 | 9  | PA2                            | I/O       |              | PA2                         | USART2_TX <sup>(7)</sup> /<br>ADC_IN2/TIM2_CH3 <sup>(7)</sup>             |       |
| 13   | 17 | 26 | 10 | PA3                            | I/O       |              | PA3                         | USART2_RX <sup>(7)</sup> /<br>ADC_IN3/TIM2_CH4 <sup>(7)</sup>             |       |
| -    | 18 | 27 | -  | V <sub>SS_4</sub>              | S         |              | V <sub>SS_4</sub>           |   |       |
| -    | 19 | 28 | -  | V <sub>DD_4</sub>              | S         |              | V <sub>DD_4</sub>           |   |       |

表4 大容量STM32F101xx引脚定义 (续1)

| 引脚编号   |        |         |         | 引脚名称              | 类型<br>(1) | I/O<br>电平(2) | 主功能 <sup>(3)</sup><br>(复位后) | 可选的复用功能 <sup>(3)</sup>                                       |            |
|--------|--------|---------|---------|-------------------|-----------|--------------|-----------------------------|--|------------|
|        |        |         |         |                   |           |              |                             | 默认复用功能   | 重定义功能      |
| LQFP48 | LQFP64 | LQFP100 | VQFPN36 | PA4               | I/O       |              | PA4                         | SPI1_NSS <sup>(7)</sup> /ADC_IN4<br>USART2_CK <sup>(7)</sup> |            |
| 14     | 20     | 29      | 11      | PA5               | I/O       |              | PA5                         | SPI1_SCK <sup>(7)</sup> /ADC_IN5                             |            |
| 15     | 21     | 30      | 12      | PA6               | I/O       |              | PA6                         | SPI1_MISO <sup>(7)</sup> /ADC_IN6<br>TIM3_CH1 <sup>(7)</sup> |            |
| 16     | 22     | 31      | 13      | PA7               | I/O       |              | PA7                         | SPI1_MOSI <sup>(7)</sup> /ADC_IN7<br>TIM3_CH2 <sup>(7)</sup> |            |
| -      | 24     | 33      | -       | PC4               | I/O       |              | PC4                         | ADC_IN14   |            |
| -      | 25     | 34      | -       | PC5               | I/O       |              | PC5                         | ADC_IN15   |            |
| 18     | 26     | 35      | 15      | PB0               | I/O       |              | PB0                         | ADC_IN8/TIM3_CH3 <sup>(7)</sup>                              |            |
| 19     | 27     | 36      | 16      | PB1               | I/O       |              | PB1                         | ADC_IN9/TIM3_CH4 <sup>(7)</sup>                              |            |
| 20     | 28     | 37      | 17      | PB2               | I/O       | FT           | PB2/BOOT1                   |  |            |
| -      | -      | 38      | -       | PE7               | I/O       | FT           | PE7                         |  |            |
| -      | -      | 39      | -       | PE8               | I/O       | FT           | PE8                         |  |            |
| -      | -      | 40      | -       | PE9               | I/O       | FT           | PE9                         |  |            |
| -      | -      | 41      | -       | PE10              | I/O       | FT           | PE10                        |  |            |
| -      | -      | 42      | -       | PE11              | I/O       | FT           | PE11                        |  |            |
| -      | -      | 43      | -       | PE12              | I/O       | FT           | PE12                        |  |            |
| -      | -      | 44      | -       | PE13              | I/O       | FT           | PE13                        |  |            |
| -      | -      | 45      | -       | PE14              | I/O       | FT           | PE14                        |  |            |
| -      | -      | 46      | -       | PE15              | I/O       | FT           | PE15                        |  |            |
| 21     | 29     | 47      | -       | PB10              | I/O       | FT           | PB10                        | I2C2_SCL/USART3_TX <sup>(7)</sup>                            | TIM2_CH3   |
| 22     | 30     | 48      | -       | PB11              | I/O       | FT           | PB11                        | I2C2_SDA/USART3_RX <sup>(7)</sup>                            | TIM2_CH4   |
| 23     | 31     | 49      | 18      | V <sub>SS_1</sub> | S         |              | V <sub>SS_1</sub>           |  |            |
| 24     | 32     | 50      | 19      | V <sub>DD_1</sub> | S         |              | V <sub>DD_1</sub>           |  |            |
| 25     | 33     | 51      | -       | PB12              | I/O       | FT           | PB12                        | SPI2_NSS/I2C2_SMBAI/<br>USART3_CK <sup>(7)</sup>             |            |
| 26     | 34     | 52      | -       | PB13              | I/O       | FT           | PB13                        | SPI2_SCK/USART3_CTS <sup>(7)</sup>                           |            |
| 27     | 35     | 53      | -       | PB14              | I/O       | FT           | PB14                        | SPI2_MISO/USART3_RTS <sup>(7)</sup>                          |            |
| 28     | 36     | 54      | -       | PB15              | I/O       | FT           | PB15                        | SPI2_MOSI  |            |
| -      | -      | 55      | -       | PD8               | I/O       | FT           | PD8                         |  | USART3_TX  |
| -      | -      | 56      | -       | PD9               | I/O       | FT           | PD9                         |  | USART3_RX  |
| -      | -      | 57      | -       | PD10              | I/O       | FT           | PD10                        |  | USART3_CK  |
| -      | -      | 58      | -       | PD11              | I/O       | FT           | PD11                        |  | USART3_CTS |

表5 中等容量STM32F101xx引脚定义(续2)

| 引脚编号 |    |    |    | 引脚名称              | 类型<br>(1) | I/O电平(2) | 主功能 <sup>(3)</sup><br>(复位后) | 可选的复用功能 <sup>(3)</sup>   |                                |
|------|----|----|----|-------------------|-----------|----------|-----------------------------|--------------------------|--------------------------------|
|      |    |    |    |                   |           |          |                             | 默认复用功能                   | 重定义功能                          |
| -    | -  | 59 | -  | PD12              | I/O       | FT       | PD12                        |                          | TIM4_CH1/<br>USART3_RTS        |
| -    | -  | 60 | -  | PD13              | I/O       | FT       | PD13                        |                          | TIM4_CH2                       |
| -    | -  | 61 | -  | PD14              | I/O       | FT       | PD14                        |                          | TIM4_CH3                       |
| -    | -  | 62 | -  | PD15              | I/O       | FT       | PD15                        |                          | TIM4_CH4                       |
| -    | 37 | 63 | -  | PC6               | I/O       | FT       | PC6                         |                          | TIM3_CH1                       |
| -    | 38 | 64 | -  | PC7               | I/O       | FT       | PC7                         |                          | TIM3_CH2                       |
| 18   | 39 | 65 | -  | PC8               | I/O       | FT       | PC8                         |                          | TIM3_CH3                       |
| 19   | 40 | 66 | -  | PC9               | I/O       | FT       | PC9                         |                          | TIM3_CH4                       |
| 20   | 41 | 67 | 20 | PA8               | I/O       | FT       | PA8                         | USART1_CK/MCO            |                                |
| -    | 42 | 68 | 21 | PA9               | I/O       | FT       | PA9                         | USART1_TX <sup>(7)</sup> |                                |
| -    | 43 | 69 | 22 | PA10              | I/O       | FT       | PA10                        | USART1_RX <sup>(7)</sup> |                                |
| -    | 44 | 70 | 23 | PA11              | I/O       | FT       | PA11                        | USART1_CTS               |                                |
| -    | 45 | 71 | 24 | PA12              | I/O       | FT       | PA12                        | USART1_RTS               |                                |
| -    | 46 | 72 | 25 | PA13              | I/O       | FT       | JTMS-SWDIO                  |                          | PA13                           |
| -    | -  | 73 | -  | 未连接               |           |          |                             |                          |                                |
| 35   | 47 | 74 | 26 | V <sub>SS_2</sub> | S         |          | V <sub>SS_2</sub>           |                          |                                |
| 36   | 48 | 75 | 27 | V <sub>DD_2</sub> | S         |          | V <sub>DD_2</sub>           |                          |                                |
| 37   | 49 | 76 | 28 | PA14              | I/O       | FT       | JTCK/SWCLK                  |                          | PA14                           |
| 38   | 50 | 77 | 29 | PA15              | I/O       | FT       | JTDI                        |                          | TIM2_CH1_ETR/<br>PA15/SPI1_NSS |
| -    | 51 | 78 | -  | PC10              | I/O       | FT       | PC10                        |                          | USART3_TX                      |
| -    | 52 | 79 | -  | PC11              | S         | FT       | PC11                        |                          | USART3_RX                      |
| -    | 53 | 80 | -  | PC12              | S         | FT       | PC12                        |                          | USART3_CK                      |
| 5    | 5  | 81 | 2  | PD0               | I/O       | FT       | OSC_IN <sup>(6)</sup>       |                          |                                |
| 6    | 6  | 82 | 3  | PD1               | I/O       | FT       | OSC_OUT <sup>(6)</sup>      |                          |                                |
| -    | 54 | 83 | -  | PD2               | I/O       | FT       | PD2                         | TIM3_ETR                 |                                |
| -    | -  | 84 | -  | PD3               | I/O       | FT       | PD3                         |                          | USART2_CTS                     |
| -    | -  | 85 | -  | PD4               | I/O       | FT       | PD4                         |                          | USART2_RTS                     |
| -    | -  | 86 | -  | PD5               | I/O       | FT       | PD5                         |                          | USART2_TX                      |
| -    | -  | 87 | -  | PD6               | I/O       | FT       | PD6                         |                          | USART2_RX                      |
| -    | -  | 88 | -  | PD7               | I/O       | FT       | PD7                         |                          | USART2_CK                      |

表5 中等容量STM32F101xx引脚定义(续3)

| 引脚编号   |        |         |         | 引脚名称              | 类型 <sup>(1)</sup> | I/O <sup>(2)</sup> | 主功能 <sup>(3)</sup><br>(复位后) | 可选的复用功能 <sup>(3)</sup>                           |                                      |
|--------|--------|---------|---------|-------------------|-------------------|--------------------|-----------------------------|--|--------------------------------------|
| LQFP48 | LQFP64 | LQFP100 | VQFPN36 |                   |                   |                    |                             | 默认复用功能   | 重定义功能                                |
| 39     | 55     | 89      | 30      | PB3               | I/O               | FT                 | JTDO                        |  | TIM2_CH2/PB3<br>TRACESWO<br>SPI1_SCK |
| 40     | 56     | 90      | 31      | PB4               | I/O               | FT                 | NJTRST                      |  | PB4/TIM3_CH1/<br>SPI1_MISO           |
| 41     | 57     | 91      | 32      | PB5               | I/O               |                    | PB5                         | I2C1_SMBAI                                       | TIM3_CH2/<br>SPI1_MOSI               |
| 42     | 58     | 92      | 33      | PB6               | I/O               | FT                 | PB6                         | I2C1_SCL <sup>(7)</sup> /TIM4_CH1 <sup>(7)</sup> | USART1_TX                            |
| 43     | 59     | 93      | 34      | PB7               | I/O               | FT                 | PB7                         | I2C1_SDA <sup>(7)</sup> /TIM4_CH2 <sup>(7)</sup> | USART1_RX                            |
| 44     | 60     | 94      | 35      | BOOT0             | I                 |                    | BOOT0                       |  |                                      |
| 45     | 61     | 95      | -       | PB8               | I/O               | FT                 | PB8                         | TIM4_CH3 <sup>(7)</sup>                          | I2C1_SCL                             |
| 46     | 62     | 96      | -       | PB9               | I/O               | FT                 | PB9                         | TIM4_CH4 <sup>(7)</sup>                          | I2C1_SDA                             |
| -      | -      | 97      | -       | PE0               | I/O               | FT                 | PE0                         | TIM4_ETR   |                                      |
| -      | -      | 98      | -       | PE1               | I/O               | FT                 | PE1                         |  |                                      |
| 47     | 63     | 99      | 36      | V <sub>SS_3</sub> | S                 |                    | V <sub>SS_3</sub>           |  |                                      |
| 48     | 64     | 100     | 1       | V <sub>DD_3</sub> | S                 |                    | V <sub>DD_3</sub>           |  |                                      |

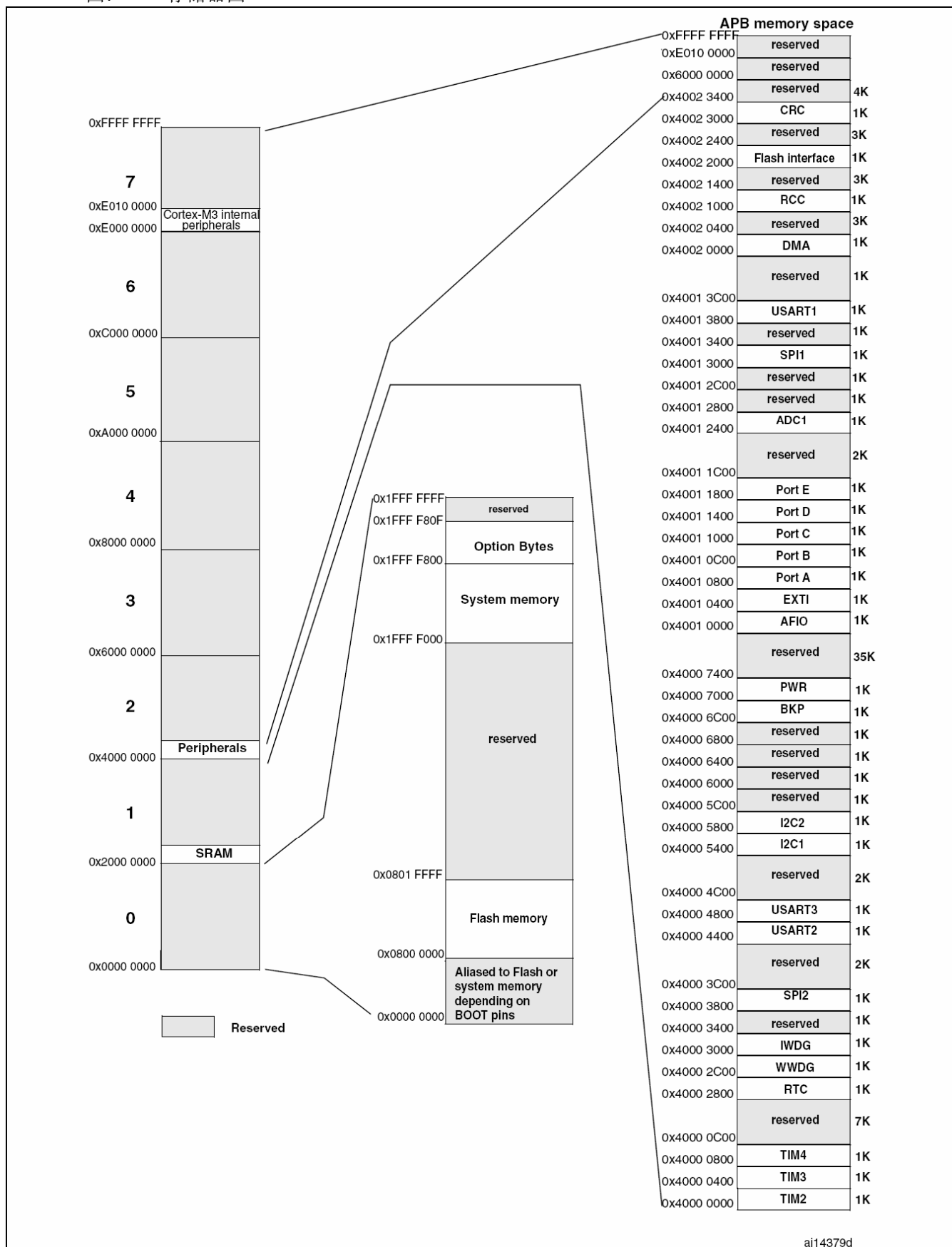
1. I = 输入, O = 输出, S = 电源, HiZ = 高阻
2. FT: 容忍5V
3. 可以使用的功能依选定的型号而定。对于具有较少外设模块的型号，始终是包含较小编号的功能模块。例如，某个型号只有1个SPI和2个USART时，它们即是SPI1和USART1及USART2。参见表2。
4. PC13, PC14和PC15引脚通过电源开关进行供电，而这个电源开关只能够吸收有限的电流(3mA)。因此这三个引脚作为输出引脚时有以下限制：在同一时间只有一个引脚能作为输出，作为输出脚时只能工作在2MHz模式下，最大驱动负载为30pF，并且不能作为电流源(如驱动LED)。
5. 这些引脚在备份区域第一次上电时处于主功能状态下，之后即使复位，这些引脚的状态由备份区域寄存器控制(这些寄存器不会被主复位系统所复位)。关于如何控制这些IO口的具体信息，请参考STM32F10xxx参考手册的电池备份区域和BKP寄存器的相关章节。
6. VQFPN36封装的引脚2和引脚3、LQFP48和LQFP64封装的引脚5和引脚6，在芯片复位后默认配置为OSC\_IN和OSC\_OUT功能脚。软件可以重新设置这两个引脚为PD0和PD1功能。但对于LQFP100/BGA100封装，由于PD0和PD1为固有的功能引脚，因此没有必要再由软件进行重映像设置。更多详细信息请参考STM32F10xxx参考手册的复用功能I/O章节和调试设置章节。  
在输出模式下，PD0和PD1只能配置为50MHz输出模式。
7. 此类复用功能能够由软件配置到其他引脚上(如果相应的封装型号有此引脚)，详细信息请参考STM32F10xxx参考手册的复用功能I/O章节和调试设置章节。

译注：

表中的引脚PA0对应的复用功能中的TIM2\_CH1\_ETR，表示可以配置该功能为TIM2\_TI1或TIM2\_ETR。同理，PA15对应的重映射复用功能的名称TIM2\_CH1\_ETR，具有相同的意义。

## 4 存储器映像

图7 存储器图



ai14379d

## 5 电气特性

### 5.1 测试条件

除非特别说明，所有电压的都以 $V_{SS}$ 为基准。

#### 5.1.1 最小和最大数值

除非特别说明，在生产线上通过对100%的产品在环境温度 $T_A=25^{\circ}\text{C}$ 和 $T_A=T_{A\max}$ 下执行的测试( $T_{A\max}$ 与选定的温度范围匹配)，所有最小和最大值将在最坏的环境温度、供电电压和时钟频率条件下得到保证。

在每个表格下方的注解中说明为通过综合评估、设计模拟和/或工艺特性得到的数据，不会在生产线上进行测试；在综合评估的基础上，最小和最大数值是通过样本测试后，取其平均值再加减三倍的标准分布(平均 $\pm 3\Sigma$ )得到。

#### 5.1.2 典型数值

除非特别说明，典型数据是基于 $T_A=25^{\circ}\text{C}$ 和 $V_{DD}=3.3\text{V}$ ( $2\text{V} \leq V_{DD} \leq 3.3\text{V}$ 电压范围)。这些数据仅用于设计指导而未经测试。

典型的ADC精度数值是通过对一个标准的批次采样，在所有温度范围内测试得到，95%产品的误差小于等于给出的数值(平均 $\pm 2\Sigma$ )。

#### 5.1.3 典型曲线

除非特别说明，典型曲线仅用于设计指导而未经测试。

#### 5.1.4 负载电容

测量引脚参数时的负载条件示于图1中。

#### 5.1.5 引脚输入电压

引脚上输入电压的测量方式示于图1中。

图8 引脚的负载条件

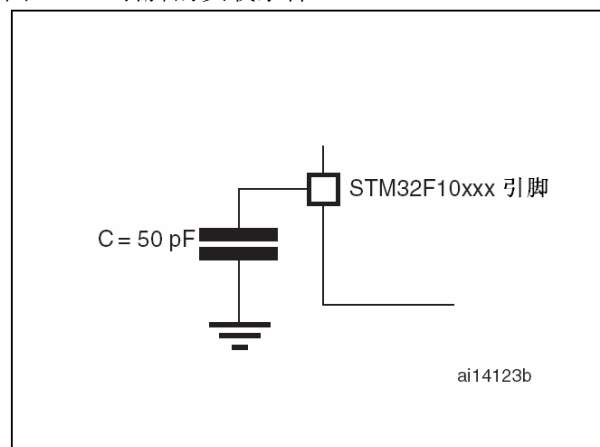
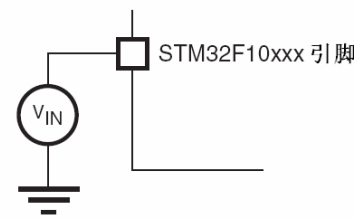
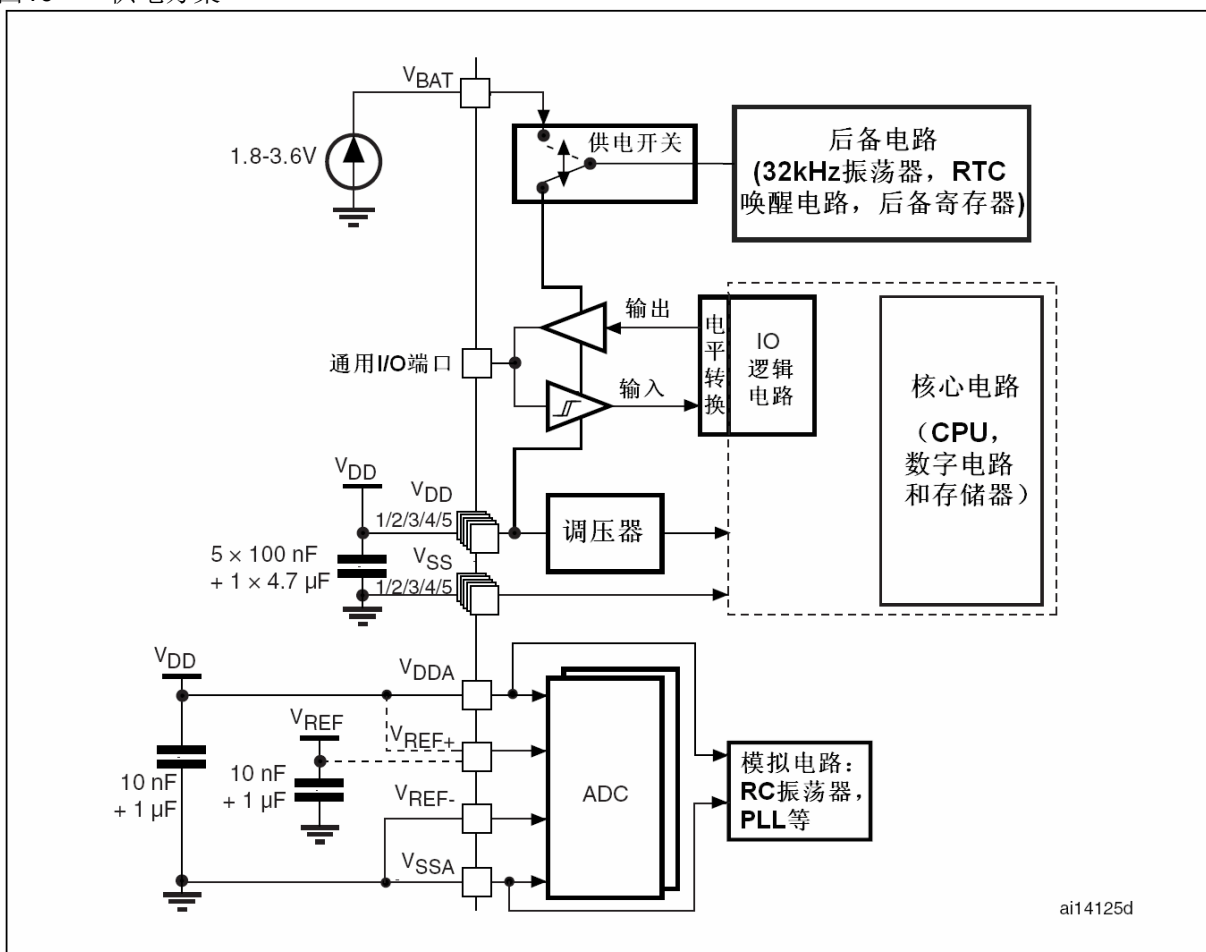


图9 引脚输入电压



## 5.1.6 供电方案

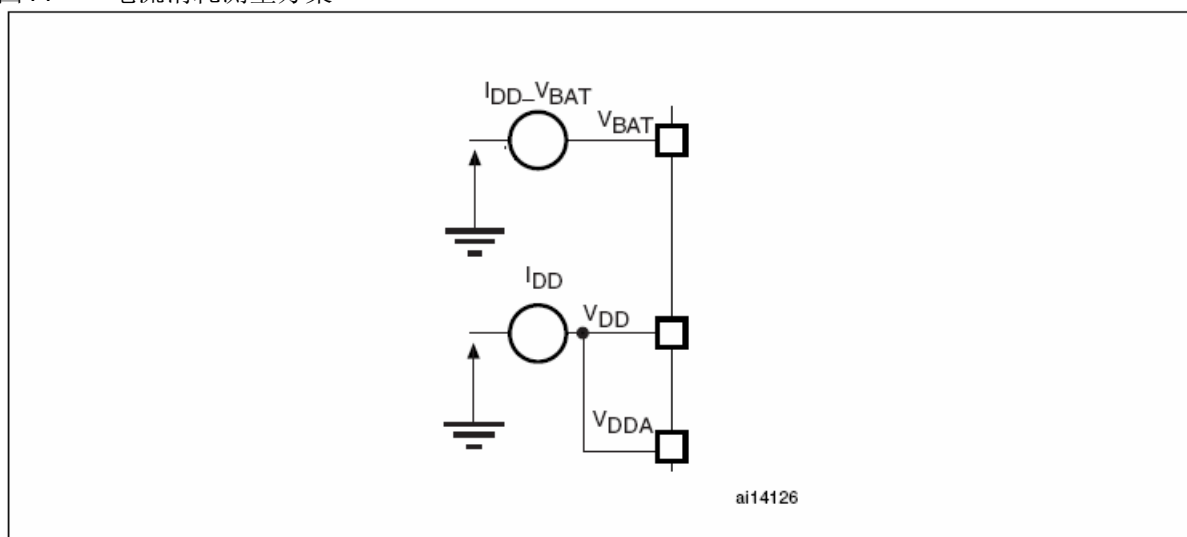
图10 供电方案



注：上图中的 $4.7\mu F$ 电容必须连接到 $V_{DD3}$ 。

## 5.1.7 电流消耗测量

图11 电流消耗测量方案



## 5.2 绝对最大额定值

加在器件上的载荷如果超过‘绝对最大额定值’列表(表5、表6、表7)中给出的值，可能会导致器件永久性地损坏。这里只是给出能承受的最大载荷，并不意味在此条件下器件的功能性操作无误。器件长期工作在最大值条件下会影响器件的可靠性。

表5 电压特性

| 符号                   | 描述   | 最小值          | 最大值            | 单位 |
|----------------------|--|--------------|----------------|----|
| $V_{DD} - V_{SS}$    | 外部主供电电压(包含 $V_{DDA}$ 和 $V_{DD}$ ) <sup>(1)</sup> | -0.3         | 4.0            | V  |
| $V_{IN}$             | 在5V容忍的引脚上的输入电压 <sup>(2)</sup>                    | $V_{SS}-0.3$ | 5.5            |    |
|                      | 在其它引脚上的输入电压 <sup>(2)</sup>                       | $V_{SS}-0.3$ | $V_{DD} + 0.3$ |    |
| $ \Delta V_{DDx} $   | 不同供电引脚之间的电压差                                     |              |                | mV |
| $ V_{SSx} - V_{SS} $ | 不同接地引脚之间的电压差                                     |              |                |    |
| $V_{ESD(HBM)}$       | ESD静电放电电压(人体模型)                                  | 参见第5.3.11节   |                |    |

1. 所有的电源( $V_{DD}$ ,  $V_{DDA}$ )和地( $V_{SS}$ ,  $V_{SSA}$ )引脚必须始终连接到外部允许范围内的供电系统上。

2.  $I_{INJ(PIN)}$ 绝对不可以超过它的极限(见表6), 即保证 $V_{IN}$ 不超过其最大值。如果不能保证 $V_{IN}$ 不超过其最大值, 也要保证在外部限制 $I_{INJ(PIN)}$ 不超过其最大值。当 $V_{IN}>V_{INmax}$ 时, 有一个正向注入电流; 当 $V_{IN}<V_{SS}$ 时, 有一个反向注入电流。

表6 电流特性

| 符号                                 | 描述   | 最大值      | 单位 |
|------------------------------------|--|----------|----|
| $I_{VDD}$                          | 经过 $V_{DD}/V_{DDA}$ 电源线的总电流(供应电流) <sup>(1)</sup> | 150      | mA |
| $I_{VSS}$                          | 经过 $V_{SS}$ 地线的总电流(流出电流) <sup>(1)</sup>          | 150      |    |
| $I_{IO}$                           | 任意I/O和控制引脚上的输出灌电流                                | 25       |    |
|                                    | 任意I/O和控制引脚上的输出电流                                 | -25      |    |
| $I_{INJ(PIN)}$ <sup>(2)(3)</sup>   | NRST引脚的注入电流                                      | $\pm 5$  | mA |
|                                    | HSE的OSC_IN引脚和LSE的OSC_IN引脚的注入电流                   | $\pm 5$  |    |
|                                    | 其他引脚的注入电流 <sup>(4)</sup>                         | $\pm 5$  |    |
| $\sum I_{INJ(PIN)}$ <sup>(2)</sup> | 所有I/O和控制引脚上的总注入电流 <sup>(4)</sup>                 | $\pm 25$ |    |

1. 所有的电源( $V_{DD}$ ,  $V_{DDA}$ )和地( $V_{SS}$ ,  $V_{SSA}$ )引脚必须始终连接到外部允许范围内的供电系统上。

2.  $I_{INJ(PIN)}$ 绝对不可以超过它的极限, 即保证 $V_{IN}$ 不超过其最大值。如果不能保证 $V_{IN}$ 不超过其最大值, 也要保证在外部限制 $I_{INJ(PIN)}$ 不超过其最大值。当 $V_{IN}>V_{DD}$ 时, 有一个正向注入电流; 当 $V_{IN}<V_{SS}$ 时, 有一个反向注入电流。

3. 反向注入电流会干扰器件的模拟性能。参看第5.3.16节。

4. 当几个I/O口同时有注入电流时,  $\sum I_{INJ(PIN)}$ 的最大值为正向注入电流与反向注入电流的即时绝对值之和。该结果基于在器件4个I/O端口上 $\sum I_{INJ(PIN)}$ 最大值的特性。

表7 温度特性

| 符号        | 描述     | 数值         | 单位 |
|-----------|--------|------------|----|
| $T_{STG}$ | 储存温度范围 | -65 ~ +150 | °C |
| $T_J$     | 最大结温度  | 150        | °C |

## 5.3 工作条件

### 5.3.1 通用工作条件

表8 通用工作条件

| 符号                       | 参数  | 条件                             | 最小值 | 最大值  | 单位  |
|--------------------------|---|--------------------------------|-----|------|-----|
| $f_{HCLK}$               | 内部AHB时钟频率                                     | 必须与 $V_{DD}$ <sup>(2)</sup> 相同 | 0   | 36   | MHz |
| $f_{PCLK1}$              | 内部APB1时钟频率                                    |                                | 0   | 36   |     |
| $f_{PCLK2}$              | 内部APB2时钟频率                                    |                                | 0   | 36   |     |
| $V_{DD}$                 | 标准工作电压  |                                | 2   | 3.6  | V   |
| $V_{DDA}$ <sup>(1)</sup> | 模拟部分工作电压(未使用ADC)                              |                                | 2   | 3.6  | V   |
|                          | 模拟部分工作电压(使用ADC)                               |                                | 2.4 | 3.6  |     |
| $V_{BAT}$                | 备份部分工作电压                                      |                                | 1.8 | 3.6  | V   |
| $P_D$                    | 功率耗散, $T_A=85^{\circ}\text{C}$ <sup>(3)</sup> | LQFP100                        |     | 434  | mW  |
|                          |   | LQFP64                         |     | 444  |     |
|                          |   | LQFP48                         |     | 363  |     |
|                          |   | VFQFPN36                       |     | 1110 |     |

|       |       |                      |     |     |    |
|-------|-------|----------------------|-----|-----|----|
| $T_A$ | 环境温度  | 最大功率耗散               | -40 | 85  | °C |
|       |       | 低功率耗散 <sup>(4)</sup> | -40 | 105 |    |
| $T_J$ | 结温度范围 |                      | -40 | 105 | °C |

- 当使用ADC时，参见表41。
- 建议使用相同的电源为 $V_{DD}$ 和 $V_{DDA}$ 供电，在上电和正常操作期间， $V_{DD}$ 和 $V_{DDA}$ 之间最多允许有300mV的差别。
- 如果 $T_A$ 较低，只要 $T_J$ 不超过 $T_{Jmax}$ (参见第图37节)，则允许更高的 $P_D$ 数值。
- 在较低的功率耗散的状态下，只要 $T_J$ 不超过 $T_{Jmax}$ (参见第图37节)， $T_A$ 可以扩展到这个范围。

### 5.3.2 上电和掉电时的工作条件

下表中给出的参数是在一般的工作条件下测试得出。

表9 上电和掉电时的工作条件

| 符号        | 参数            | 条件 | 最小值 | 最大值      | 单位        |
|-----------|---------------|----|-----|----------|-----------|
| $t_{VDD}$ | $V_{DD}$ 上升速率 |    | 0   | $\infty$ | $\mu s/V$ |
|           | $V_{DD}$ 下降速率 |    | 20  | $\infty$ |           |

### 5.3.3 内嵌复位和电源控制模块特性

下表中给出的参数是依据表8列出的环境温度下和 $V_{DD}$ 供电电压下测试得出。

表10 内嵌复位和电源控制模块特性

| 符号                   | 参数             | 条件                 | 最小值                | 典型值  | 最大值  | 单位 |
|----------------------|----------------|--------------------|--------------------|------|------|----|
| $V_{PVD}$            | 可编程的电压检测器的电平选择 | PLS[2:0]=000 (上升沿) | 2.1                | 2.18 | 2.26 | V  |
|                      |                | PLS[2:0]=000 (下降沿) | 2                  | 2.08 | 2.16 | V  |
|                      |                | PLS[2:0]=001 (上升沿) | 2.19               | 2.28 | 2.37 | V  |
|                      |                | PLS[2:0]=001 (下降沿) | 2.09               | 2.18 | 2.27 | V  |
|                      |                | PLS[2:0]=010 (上升沿) | 2.28               | 2.38 | 2.48 | V  |
| $V_{PVD}$            | 可编程的电压检测器的电平选择 | PLS[2:0]=010 (下降沿) | 2.18               | 2.28 | 2.38 | V  |
|                      |                | PLS[2:0]=011 (上升沿) | 2.38               | 2.48 | 2.58 | V  |
|                      |                | PLS[2:0]=011 (下降沿) | 2.28               | 2.38 | 2.48 | V  |
|                      |                | PLS[2:0]=100 (上升沿) | 2.47               | 2.58 | 2.69 | V  |
|                      |                | PLS[2:0]=100 (下降沿) | 2.37               | 2.48 | 2.59 | V  |
|                      |                | PLS[2:0]=101 (上升沿) | 2.57               | 2.68 | 2.79 | V  |
| $V_{PVD}$            | 可编程的电压检测器的电平选择 | PLS[2:0]=101 (下降沿) | 2.47               | 2.58 | 2.69 | V  |
|                      |                | PLS[2:0]=110 (上升沿) | 2.66               | 2.78 | 2.9  | V  |
|                      |                | PLS[2:0]=110 (下降沿) | 2.56               | 2.68 | 2.8  | V  |
|                      |                | PLS[2:0]=111 (上升沿) | 2.76               | 2.88 | 3    | V  |
|                      |                | PLS[2:0]=111 (下降沿) | 2.66               | 2.78 | 2.9  | V  |
| $V_{PVDhyst}^{(2)}$  | PVD迟滞          |                    |                    | 100  |      | mV |
| $V_{POR/PDR}$        | 上电/掉电复位阀值      | 下降沿                | 1.8 <sup>(1)</sup> | 1.88 | 1.96 | V  |
|                      |                | 上升沿                | 1.84               | 1.92 | 2.0  | V  |
| $V_{PDRhyst}^{(2)}$  | PDR迟滞          |                    |                    | 40   |      | mV |
| $T_{RSTTEMPO}^{(2)}$ | 复位持续时间         |                    | 1                  | 2.5  | 4.5  | ms |

1. 产品的特性由设计保证至最小的数值 $V_{POR/PDR}$ 。

2. 由设计保证，不在生产中测试。

### 5.3.4 内置的参照电压

下表中给出的参数是依据表8列出的环境温度下和 $V_{DD}$ 供电电压下测试得出。

表11 内置的参照电压

| 符号                     | 参数                      | 条件  | 最小值  | 典型值  | 最大值                 | 单位            |
|------------------------|-------------------------|---|------|------|---------------------|---------------|
| $V_{REFINT}$           | 内置参照电压                  | $-40^{\circ}\text{C} < T_A < +85^{\circ}\text{C}$ | 1.16 | 1.20 | 1.24                | V             |
| $T_{S\_vrefint}^{(1)}$ | 当读出内部参照电压时,<br>ADC的采样时间 |   |      | 5.1  | 17.1 <sup>(2)</sup> | $\mu\text{s}$ |

1. 最短的采样时间是通过应用中的多次循环得到。

2. 由设计保证, 不在生产中测试。

## 5.3.5 供电电流特性

电流消耗是多种参数和因素的综合指标, 这些参数和因素包括工作电压、环境温度、I/O引脚的负载、产品的软件配置、工作频率、I/O脚的翻转速率、程序在存储器中的位置以及执行的代码等。

电流消耗的测量方法说明, 详见图11。

本节中给出的所有运行模式下的电流消耗测量值, 都是在执行一套精简的代码, 能够得到Dhrystone 2.1代码等效的结果。

### 最大电流消耗

微控制器处于下列条件:

- 所有的I/O引脚都处于输入模式, 并连接到一个静态电平上—— $V_{DD}$ 或 $V_{SS}$ (无负载)。
- 所有的外设都处于关闭状态, 除非特别说明。
- 闪存存储器的访问时间调整到 $f_{HCLK}$ 的频率(0~24MHz时为0个等待周期, 24~36MHz时为1个等待周期)。
- 指令预取功能开启(提示: 这个参数必须在设置时钟和总线分频之前设置)。
- 当开启外设时:  $f_{PCLK1} = f_{HCLK}/2$ ,  $f_{PCLK2} = f_{HCLK}$ 。

表12和表13中给出的参数, 是依据表8列出的环境温度下和 $V_{DD}$ 供电电压下测试得出。

表12 运行模式下的最大电流消耗, 数据处理代码从内部闪存中运行

| 符号       | 参数         | 条件                              | $f_{HCLK}$ | 最大值 <sup>(1)</sup>         | 单位 |
|----------|------------|---------------------------------|------------|----------------------------|----|
|          |            |                                 |            | $T_A = 85^{\circ}\text{C}$ |    |
| $I_{DD}$ | 运行模式下的供应电流 | 外部时钟 <sup>(2)</sup> ,<br>使能所有外设 | 36MHz      | 28.6                       | mA |
|          |            |                                 | 24MHz      | 19.9                       |    |
|          |            |                                 | 16MHz      | 14.7                       |    |
|          |            |                                 | 8MHz       | 8.6                        |    |
|          |            | 外部时钟 <sup>(2)</sup> ,<br>关闭所有外设 | 36MHz      | 19.8                       |    |
|          |            |                                 | 24MHz      | 13.9                       |    |
|          |            |                                 | 16MHz      | 10.7                       |    |
|          |            |                                 | 8MHz       | 6.8                        |    |

1. 由综合评估得出, 不在生产中测试。

2. 外部时钟为8MHz, 当 $f_{HCLK}>8\text{MHz}$ 时启用PLL。

表13 运行模式下的最大电流消耗, 数据处理代码从内部RAM中运行

| 符号       | 参数         | 条件                              | $f_{HCLK}$ | 最大值 <sup>(1)</sup>         | 单位 |
|----------|------------|---------------------------------|------------|----------------------------|----|
|          |            |                                 |            | $T_A = 85^{\circ}\text{C}$ |    |
| $I_{DD}$ | 运行模式下的供应电流 | 外部时钟 <sup>(2)</sup> ,<br>使能所有外设 | 36MHz      | 24                         | mA |
|          |            |                                 | 24MHz      | 17.5                       |    |
|          |            |                                 | 16MHz      | 12.5                       |    |
|          |            |                                 | 8MHz       | 7.5                        |    |
|          |            | 外部时钟 <sup>(2)</sup> ,<br>关闭所有外设 | 36MHz      | 16                         |    |
|          |            |                                 | 24MHz      | 11.5                       |    |
|          |            |                                 | 16MHz      | 8.5                        |    |
|          |            |                                 | 8MHz       | 5.5                        |    |

1. 由综合评估得出, 在生产中以 $V_{DDmax}$ 和 $f_{HCLKmax}$ 为条件测试。

2. 外部时钟为8MHz, 当 $f_{HCLK}>8\text{MHz}$ 时启用PLL。

图12 运行模式下典型的电流消耗与频率的对比(3.6V供电, 数据处理代码在RAM中运行, 使能所有外设)

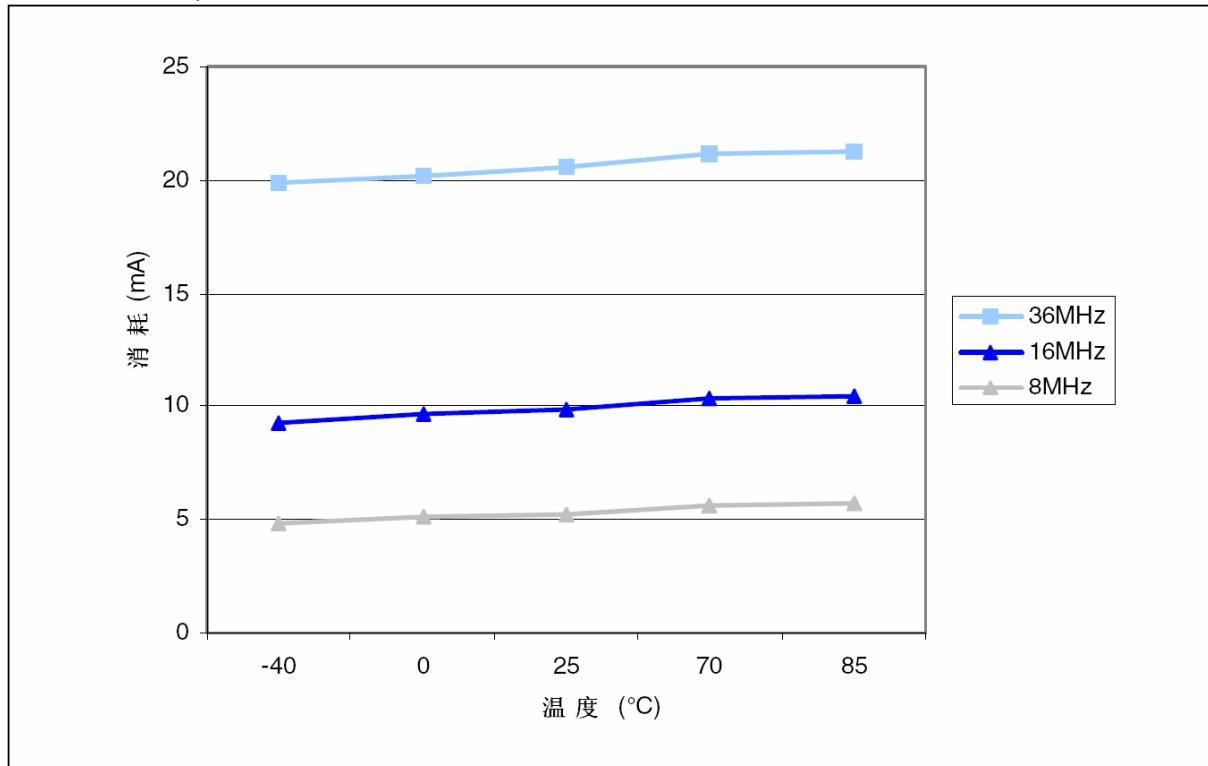


图13 运行模式下典型的电流消耗与频率的对比(3.6V供电, 数据处理代码在RAM中运行, 关闭所有外设)

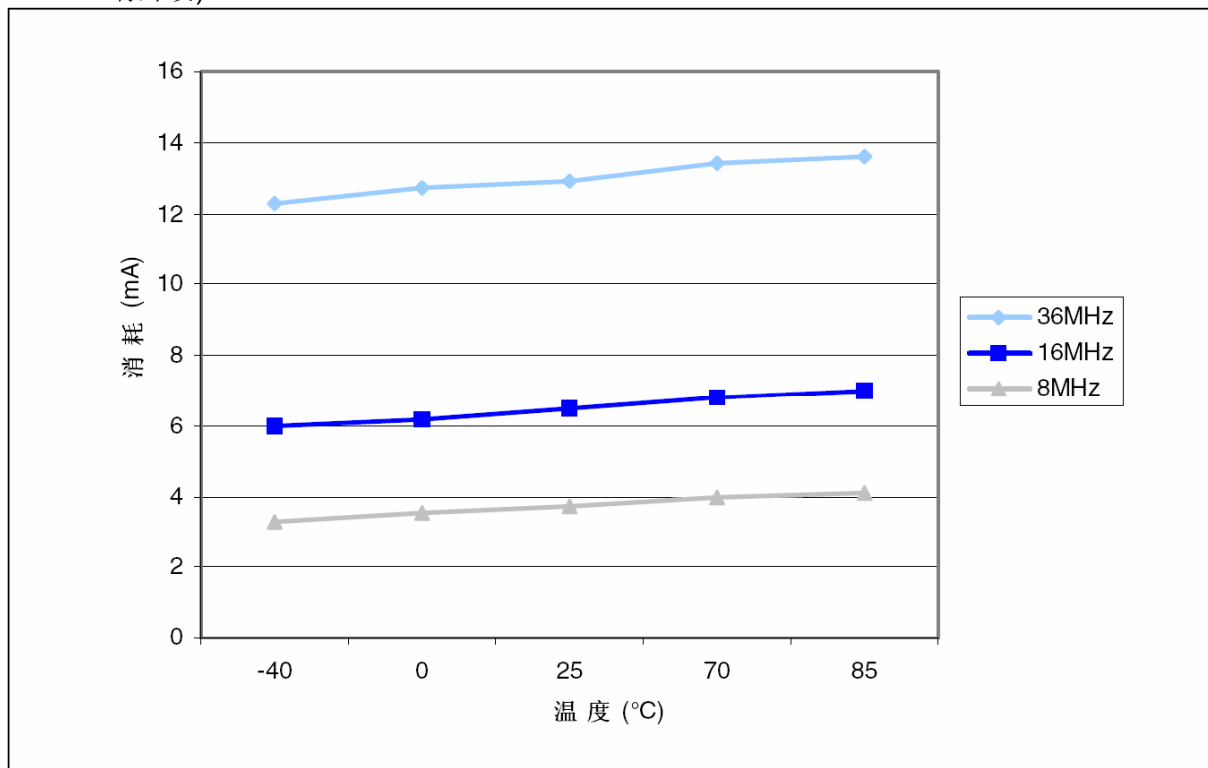


表14 睡眠模式下的最大电流消耗，代码运行在Flash或RAM中

| 符号       | 参数         | 条件                              | $f_{HCLK}$ | 最大值 <sup>(1)</sup> | 单位 |
|----------|------------|---------------------------------|------------|--------------------|----|
|          |            |                                 |            | $T_A = 85^\circ C$ |    |
| $I_{DD}$ | 睡眠模式下的供应电流 | 外部时钟 <sup>(2)</sup> ,<br>使能所有外设 | 36MHz      | 15.5               | mA |
|          |            |                                 | 24MHz      | 11.5               |    |
|          |            |                                 | 16MHz      | 8.5                |    |
|          |            |                                 | 8MHz       | 5.5                |    |
|          |            | 外部时钟 <sup>(2)</sup> ,<br>关闭所有外设 | 36MHz      | 5                  |    |
|          |            |                                 | 24MHz      | 4.5                |    |
|          |            |                                 | 16MHz      | 4                  |    |
|          |            |                                 | 8MHz       | 3                  |    |

1. 由综合评估得出，在生产中以 $V_{DD\max}$ 和以 $f_{HCLK\max}$ 使能外设为条件测试。

2. 外部时钟为8MHz，当 $f_{HCLK} > 8\text{MHz}$ 时启用PLL。

表15 停机和待机模式下的典型和最大电流消耗

| 符号             | 参数         | 条件   | 典型值 <sup>(1)</sup>      |                         | 最大值<br>$T_A = 85^\circ C^{(2)}$ | 单位      |
|----------------|------------|--|-------------------------|-------------------------|---------------------------------|---------|
|                |            |  | $V_{DD}/V_{BAT} = 2.4V$ | $V_{DD}/V_{BAT} = 3.3V$ |                                 |         |
| $I_{DD}$       | 停机模式下的供应电流 | 调压器处于运行模式，低速和高速内部RC振荡器和高速振荡器处于关闭状态(没有独立看门狗)  | 23.5                    | 24                      | 200                             | $\mu A$ |
|                |            | 调压器处于低功耗模式，低速和高速内部RC振荡器和高速振荡器处于关闭状态(没有独立看门狗) | 13.5                    | 14                      | 180                             |         |
|                | 待机模式下的供应电流 | 低速内部RC振荡器和独立看门狗处于开启状态                        | 2.6                     | 3.4                     | -                               |         |
|                |            | 低速内部RC振荡器处于开启状态，独立看门狗处于关闭状态                  | 2.4                     | 3.2                     | -                               |         |
| $I_{DD\_VBAT}$ | 备份区域的供应电流  | 低速振荡器和RTC处于开启状态                              | 1.1                     | 1.4                     | 1.9                             |         |

1. 典型值是在 $T_A=25^\circ C$ 下测试得到。

2. 由综合评估得出，不在生产中测试。

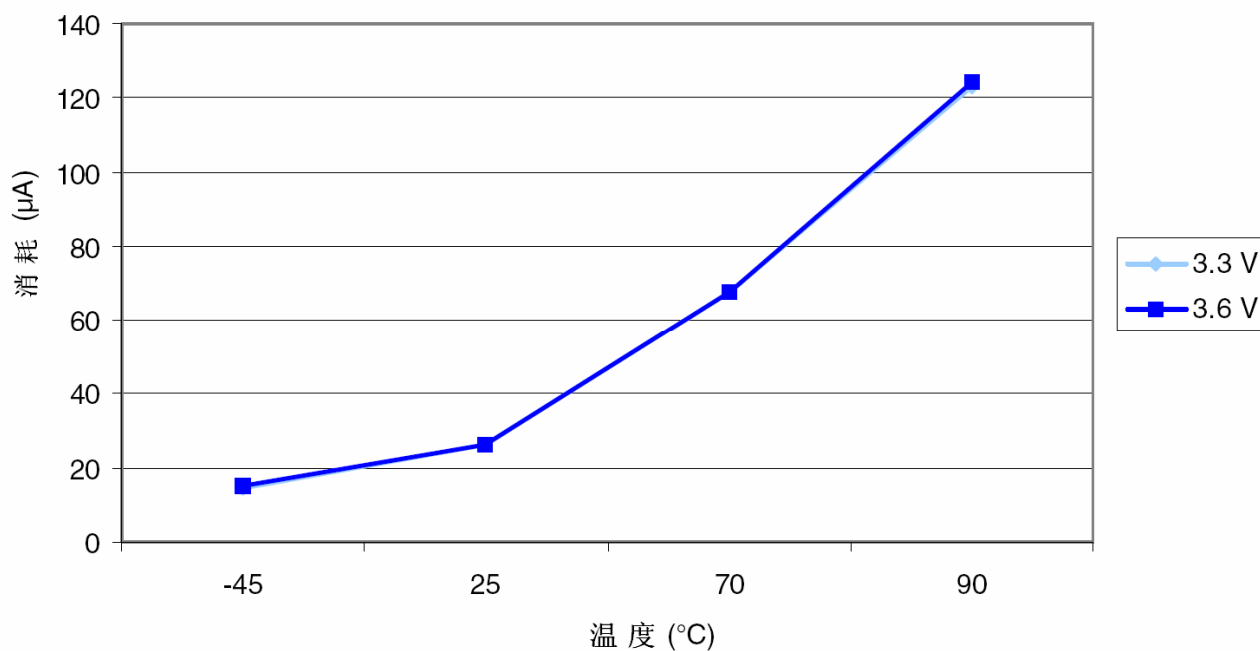
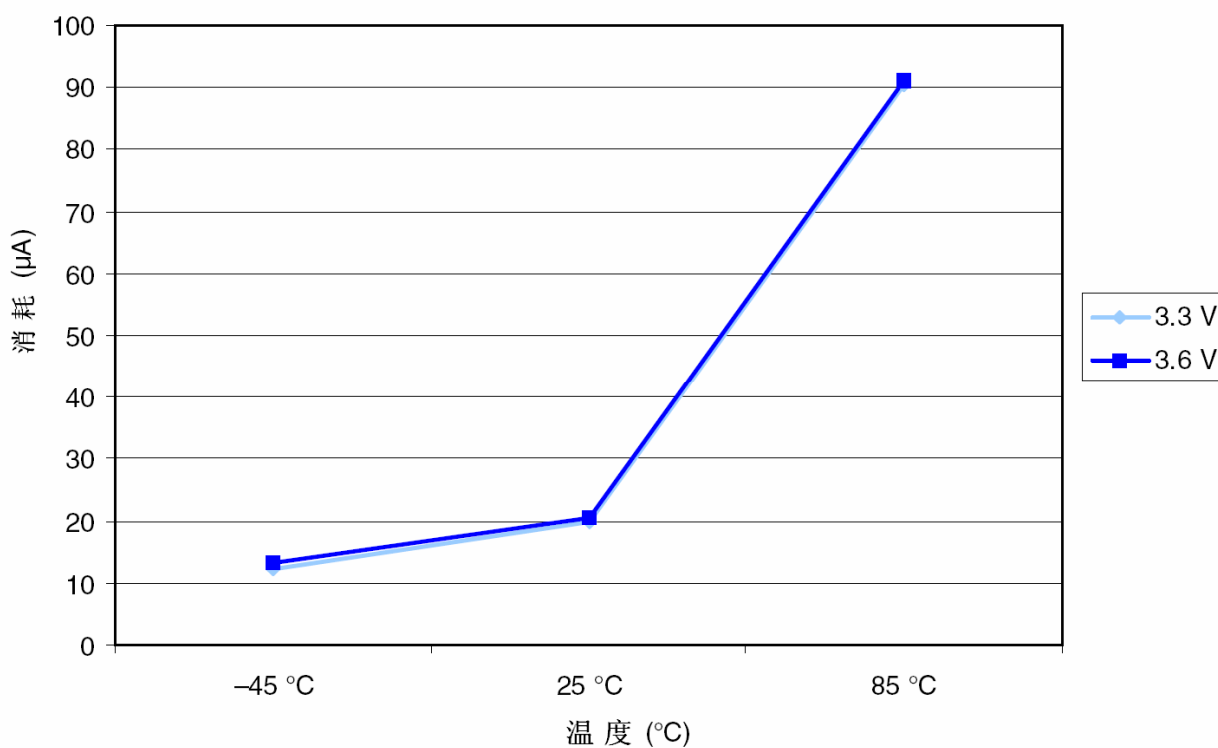
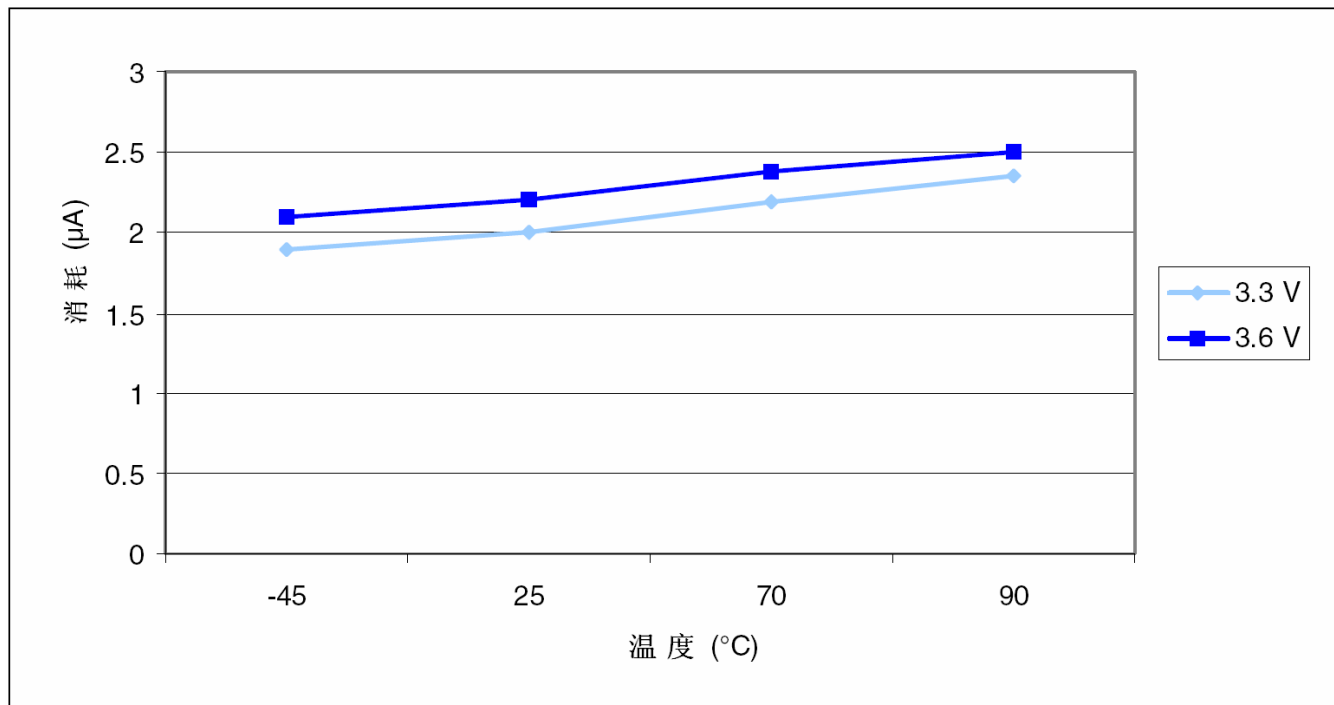
图14 调压器在运行状态时，停机模式下的典型电流消耗在 $V_{DD}=3.3V$ 和 $3.6V$ 时与温度的对比图15 调压器在低功耗状态时，停机模式下的典型电流消耗在 $V_{DD}=3.3V$ 和 $3.6V$ 时与温度的对比

图16 待机模式下的典型电流消耗在 $V_{DD}=3.3V$ 和 $3.6V$ 时与温度的对比

### 典型的电流消耗

MCU处于下述条件下：

- 所有的I/O引脚都处于输入模式，并连接到一个静态电平上—— $V_{DD}$ 或 $V_{SS}$ (无负载)。
- 所有的外设都处于关闭状态，除非特别说明。
- 闪存访问时间调整到 $f_{HCLK}$ 的频率(0~24MHz时为0个等待周期，24~36MHz时为1个等待周期)。
- 指令预取功能开启(提示：这个参数必须在设置时钟和总线分频之前设置)。
- 当开启外设时： $f_{PCLK1} = f_{HCLK}/4$ ,  $f_{PCLK2} = f_{HCLK}/2$ ,  $f_{ADCCLK} = f_{PCLK2}/4$ 。

下表给出的参数是在环境温度和 $V_{DD}$ 供电电压符合表8的条件下测试得到。

表16 运行模式下的典型电流消耗，代码从内部Flash中运行

| 符号       | 参数                              | 条件                  | $f_{HCLK}$ | 典型值 <sup>(1)</sup>    |        | 单位 |
|----------|---------------------------------|---------------------|------------|-----------------------|--------|----|
|          |                                 |                     |            | 使能所有外设 <sup>(2)</sup> | 关闭所有外设 |    |
| $I_{DD}$ | 运行模式下的供应电流                      | 外部时钟 <sup>(3)</sup> | 36MHz      | 19                    | 14.8   | mA |
|          |                                 |                     | 24MHz      | 12.9                  | 10.1   |    |
|          |                                 |                     | 16MHz      | 9.3                   | 7.4    |    |
|          |                                 |                     | 8MHz       | 5.5                   | 4.6    |    |
|          |                                 |                     | 4MHz       | 3.3                   | 2.8    |    |
|          |                                 |                     | 2MHz       | 2.2                   | 1.9    |    |
|          |                                 |                     | 1MHz       | 1.6                   | 1.45   |    |
|          |                                 |                     | 500kHz     | 1.3                   | 1.25   |    |
|          |                                 |                     | 125kHz     | 1.08                  | 1.06   |    |
|          | 运行于高速内部RC振荡器(HSI)，使用AHB预分频以减低频率 |                     | 36MHz      | 18.3                  | 14.1   | mA |
|          |                                 |                     | 24MHz      | 12.2                  | 9.5    |    |
|          |                                 |                     | 16MHz      | 8.5                   | 6.8    |    |
|          |                                 |                     | 8MHz       | 4.9                   | 4      |    |
|          |                                 |                     | 4MHz       | 2.7                   | 2.2    |    |
|          |                                 |                     | 2MHz       | 1.6                   | 1.4    |    |
|          |                                 |                     | 1MHz       | 1.02                  | 0.9    |    |
|          |                                 |                     | 500kHz     | 0.73                  | 0.67   |    |
|          |                                 |                     | 125kHz     | 0.5                   | 0.48   |    |

1. 典型值是在 $T_A=25^\circ\text{C}$ 、 $V_{DD}=3.3\text{V}$ 时测试得到。
2. 每个模拟部分的ADC要增加额外的0.8mA电流消耗。在应用环境中，这部分电流只有在开启ADC(设置ADC\_CR2寄存器的ADON位)时才会增加。
3. 外部时钟为8MHz，当 $f_{HCLK}>8\text{MHz}$ 时启用PLL。

表17 睡眠模式下的典型电流消耗，代码从内部Flash或RAM中运行

| 符号       | 参数         | 条件                              | $f_{HCLK}$ | 典型值 <sup>(1)</sup>    |        | 单位 |
|----------|------------|---------------------------------|------------|-----------------------|--------|----|
|          |            |                                 |            | 使能所有外设 <sup>(2)</sup> | 关闭所有外设 |    |
| $I_{DD}$ | 运行模式下的供应电流 | 外部时钟 <sup>(3)</sup>             | 36MHz      | 7.6                   | 3.1    | mA |
|          |            |                                 | 24MHz      | 5.3                   | 2.3    |    |
|          |            |                                 | 16MHz      | 3.8                   | 1.8    |    |
|          |            |                                 | 8MHz       | 2.1                   | 1.2    |    |
|          |            |                                 | 4MHz       | 1.6                   | 1.1    |    |
|          |            |                                 | 2MHz       | 1.3                   | 1      |    |
|          |            |                                 | 1MHz       | 1.11                  | 0.98   |    |
|          |            |                                 | 500kHz     | 1.04                  | 0.96   |    |
|          |            |                                 | 125kHz     | 0.98                  | 0.95   |    |
|          |            | 运行于高速内部RC振荡器(HSI)，使用AHB预分频以减低频率 | 36MHz      | 7                     | 2.5    | mA |
|          |            |                                 | 24MHz      | 4.8                   | 1.8    |    |
|          |            |                                 | 16MHz      | 3.2                   | 1.2    |    |
|          |            |                                 | 8MHz       | 1.6                   | 0.6    |    |
|          |            |                                 | 4MHz       | 1                     | 0.5    |    |
|          |            |                                 | 2MHz       | 0.72                  | 0.47   |    |
|          |            |                                 | 1MHz       | 0.56                  | 0.44   |    |
|          |            |                                 | 500kHz     | 0.49                  | 0.42   |    |
|          |            |                                 | 125kHz     | 0.43                  | 0.41   |    |

1. 典型值是在 $T_A=25^\circ\text{C}$ 、 $V_{DD}=3.3\text{V}$ 时测试得到。
2. 每个模拟部分的ADC要增加额外的0.8mA电流消耗。在应用环境中，这部分电流只有在开启ADC(设置ADC\_CR2寄存器的ADON位)时才会增加。
3. 外部时钟为8MHz，当 $f_{HCLK}>8\text{MHz}$ 时启用PLL。

### 内置外设电流消耗

内置外设的电流消耗列于表18，MCU的工作条件如下：

- 所有的I/O引脚都处于输入模式，并连接到一个静态电平上—— $V_{DD}$ 或 $V_{SS}$ (无负载)。
- 所有的外设都处于关闭状态，除非特别说明。
- 给出的数值是通过测量电流消耗计算得出
  - 关闭所有外设的时钟
  - 只开启一个外设的时钟
- 环境温度和 $V_{DD}$ 供电电压条件列于表5。

表18 内置外设的电流消耗<sup>(1)</sup>

| 内置外设 |        | 25°C时的典型功耗 <sup>(1)</sup> | 单位 | 内置外设 |                     | 25°C时的典型功耗 <sup>(1)</sup> | 单位 |
|------|--------|---------------------------|----|------|---------------------|---------------------------|----|
| APB1 | TIM2   | 0.6                       | mA | APB2 | GPIOA               | 0.21                      | mA |
|      | TIM3   | 0.6                       |    |      | GPIOB               | 0.21                      |    |
|      | TIM4   | 0.6                       |    |      | GPIOC               | 0.21                      |    |
|      | SPI2   | 0.08                      |    |      | GPIOD               | 0.21                      |    |
|      | USART2 | 0.21                      |    |      | GPIOE               | 0.21                      |    |
|      | USART3 | 0.21                      |    |      | ADC1 <sup>(2)</sup> | 1.4                       |    |
|      | I2C1   | 0.18                      |    |      | SPI1                | 0.24                      |    |
|      | I2C2   | 0.18                      |    |      | USART1              | 0.35                      |    |

1.  $f_{HCLK}=36\text{MHz}$ ,  $f_{APB1} = f_{HCLK}/2$ ,  $f_{APB2} = f_{HCLK}$ , 每个外设的预分频系数为默认值。
2. ADC的特殊条件:  $f_{HCLK}=56\text{MHz}$ ,  $f_{APB1} = f_{HCLK}/2$ ,  $f_{APB2} = f_{HCLK}$ ,  $f_{ADCCLK} = f_{APB2}/4$ , ADC\_CR2寄存器的ADON=1。

### 5.3.6 外部时钟源特性

#### 来自外部振荡源产生的高速外部用户时钟

下表中给出的特性参数是使用一个高速的外部时钟源测得，环境温度和供电电压符合表8的条件。

表19 高速外部用户时钟特性

| 符号             | 参数                            | 条件                               | 最小值          | 典型值 | 最大值          | 单位      |
|----------------|-------------------------------|----------------------------------|--------------|-----|--------------|---------|
| $f_{HSE\_ext}$ | 用户外部时钟频率 <sup>(1)</sup>       |                                  | 0            | 8   | 25           | MHz     |
| $V_{HSEH}$     | OSC_IN输入引脚高电平电压               |                                  | 0.7 $V_{DD}$ |     | $V_{DD}$     | V       |
| $V_{HSEL}$     | OSC_IN输入引脚低电平电压               |                                  | $V_{SS}$     |     | 0.3 $V_{DD}$ |         |
| $t_w(HSE)$     | OSC_IN高或低的时间 <sup>(1)</sup>   |                                  | 16           |     |              | ns      |
| $t_r(HSE)$     | OSC_IN上升或下降的时间 <sup>(1)</sup> |                                  |              |     | 20           |         |
| $C_{in(HSE)}$  | OSC_IN输入容抗 <sup>(1)</sup>     |                                  |              | 5   |              | pF      |
| DuCy(HSE)      | 占空比                           |                                  | 45           |     | 55           | %       |
| $I_L$          | OSC_IN输入漏电流                   | $V_{SS} \leq V_{IN} \leq V_{DD}$ |              |     | $\pm 1$      | $\mu A$ |

1. 由设计保证，不在生产中测试。

#### 来自外部振荡源产生的低速外部用户时钟

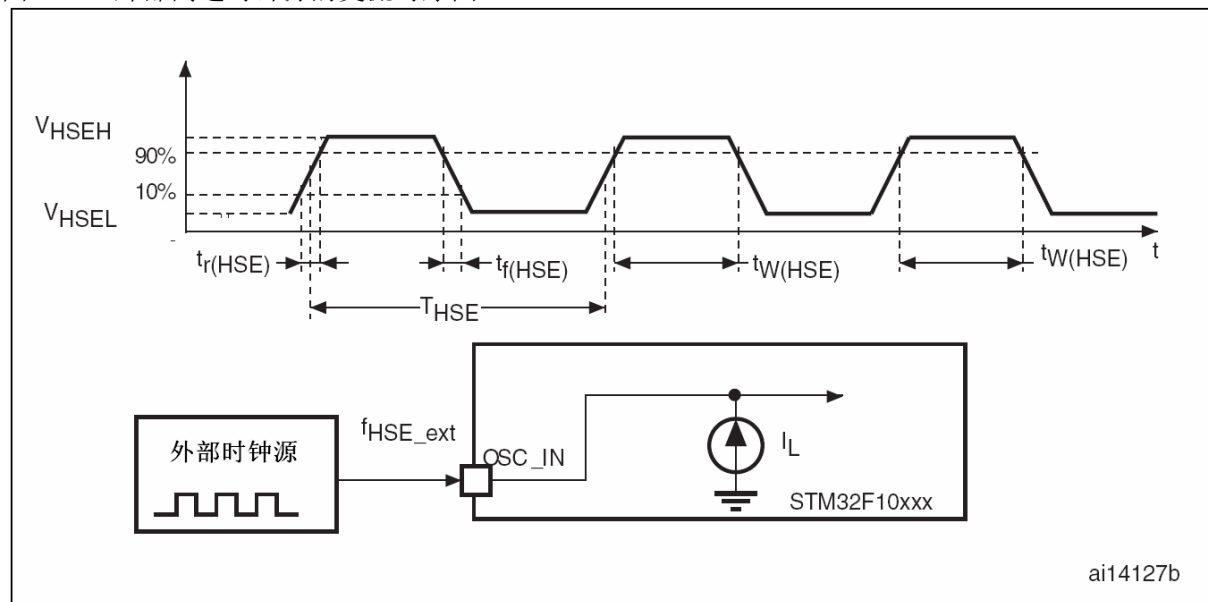
下表中给出的特性参数是使用一个低速的外部时钟源测得，环境温度和供电电压符合表8的条件。

表20 低速外部用户时钟特性

| 符号             | 参数                              | 条件                               | 最小值          | 典型值    | 最大值          | 单位      |
|----------------|---------------------------------|----------------------------------|--------------|--------|--------------|---------|
| $f_{LSE\_ext}$ | 用户外部时钟频率 <sup>(1)</sup>         |                                  |              | 32.768 | 1000         | MHz     |
| $V_{LSEH}$     | OSC32_IN输入引脚高电平电压               |                                  | 0.7 $V_{DD}$ |        | $V_{DD}$     | V       |
| $V_{LSEL}$     | OSC32_IN输入引脚低电平电压               |                                  | $V_{SS}$     |        | 0.3 $V_{DD}$ |         |
| $t_w(LSE)$     | OSC32_IN高或低的时间 <sup>(1)</sup>   |                                  | 450          |        |              | ns      |
| $t_r(LSE)$     | OSC32_IN上升或下降的时间 <sup>(1)</sup> |                                  |              |        | 50           |         |
| $C_{in(LSE)}$  | OSC32_IN输入容抗 <sup>(1)</sup>     |                                  |              | 5      |              | pF      |
| DuCy(LSE)      | 占空比                             |                                  | 30           |        | 70           | %       |
| $I_L$          | OSC32_IN输入漏电流                   | $V_{SS} \leq V_{IN} \leq V_{DD}$ |              |        | $\pm 1$      | $\mu A$ |

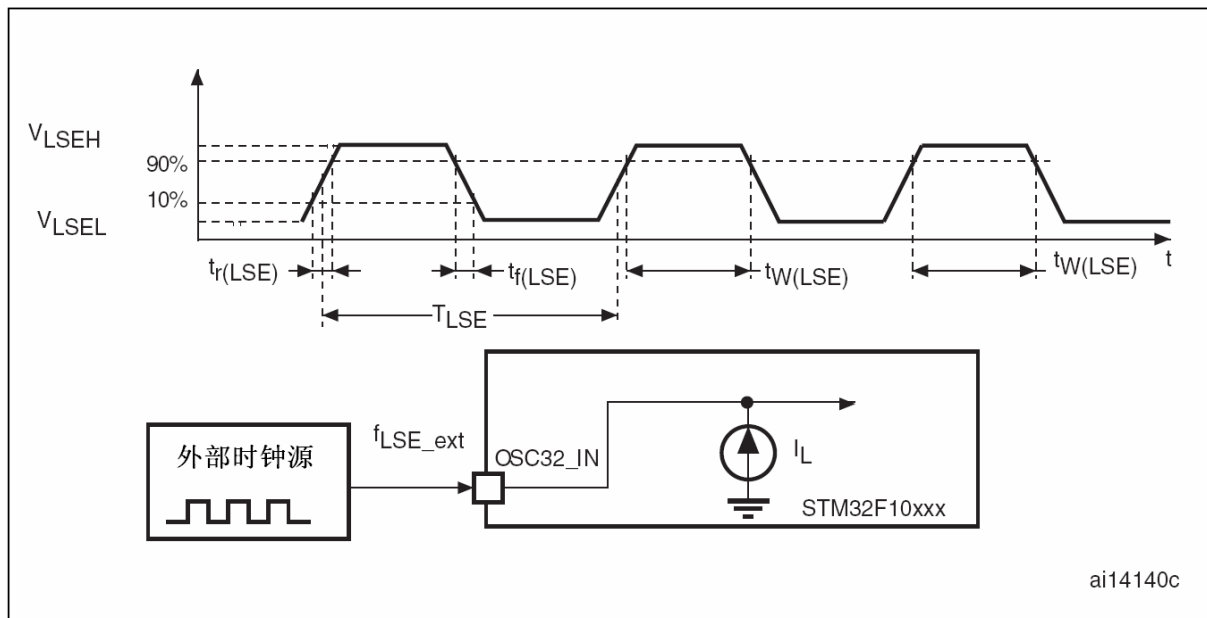
1. 由设计保证，不在生产中测试。

图17 外部高速时钟源的交流时序图



ai14127b

图18 外部低速时钟源的交流时序图



### 使用一个晶体/陶瓷谐振器产生的高速外部时钟

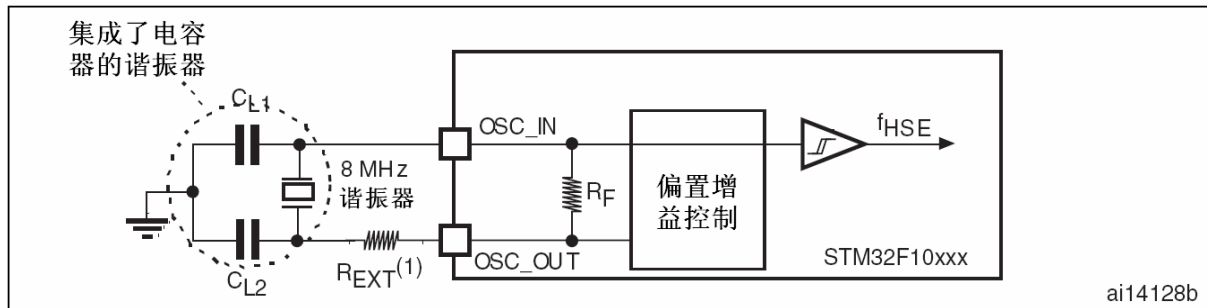
高速外部时钟(HSE)可以使用一个4~16MHz的晶体/陶瓷谐振器构成的振荡器产生。本节中所给出的信息是基于使用下表中列出的典型外部元器件，通过综合特性评估得到的结果。在应用中，谐振器和负载电容必须尽可能地靠近振荡器的引脚，以减小输出失真和启动时的稳定时间。有关晶体谐振器的详细参数(频率、封装、精度等)，请咨询相应的生产厂商。(译注：这里提到的晶体谐振器就是我们通常说的无源晶振)

表21 HSE 4~16MHz振荡器特性<sup>(1)(2)</sup>

| 符号                         | 参数  | 条件                                     | 最小值 | 典型值 | 最大值 | 单位   |
|----------------------------|---|--|-----|-----|-----|------|
| $f_{osc\_in}$              | 振荡器频率                                     |  | 4   | 8   | 16  | MHz  |
| $R_F$                      | 反馈电阻                                      |  |     | 200 |     | kΩ   |
| $C_{L1}$<br>$C_{L2}^{(3)}$ | 建议的负载电容与对应的晶体串行阻抗( $R_S$ ) <sup>(4)</sup> | $R_S = 30\Omega$                       |     | 30  |     | pF   |
| $i_2$                      | HSE驱动电流                                   | $V_{DD}=3.3V, V_{IN}=V_{SS}$<br>30pF负载 |     |     | 1   | mA   |
| $g_m$                      | 振荡器的跨导                                    | 启动                                     | 25  |     |     | mA/V |
| $t_{SU(HSE)}^{(5)}$        | 启动时间                                      | $V_{DD}$ 是稳定的                          |     | 2   |     | ms   |

1. 谐振器的特性参数由晶体/陶瓷谐振器制造商给出。
2. 由综合评估得出，不在生产中测试。
3. 对于 $C_{L1}$ 和 $C_{L2}$ ，建议使用高质量的、为高频应用而设计的(典型值为5pF~25pF之间的瓷介电容器，并挑选符合要求的晶体或谐振器。通常 $C_{L1}$ 和 $C_{L2}$ 具有相同参数。晶体制造商通常以 $C_{L1}$ 和 $C_{L2}$ 的串行组合给出负载电容的参数。在选择 $C_{L1}$ 和 $C_{L2}$ 时，PCB和MCU引脚的容抗应该考虑在内(可以粗略地把引脚与PCB板的电容按10pF估计)。
4. 相对较低的RF电阻值，能够可以避免在潮湿环境下使用时所产生的问题提供保护，这种环境下产生的泄漏和偏置条件都发生了变化。但是，如果MCU是应用在恶劣的潮湿条件时，设计时需要把这个参数考虑进去。
5.  $t_{SU(HSE)}$ 是启动时间，是从软件使能HSE开始测量，直至得到稳定的8MHz振荡这段时间。这个数值是在一个标准的晶体谐振器上测量得到，它可能因晶体制造商的不同而变化较大。

图19 使用8MHz晶体的典型应用



1.  $R_{EXT}$ 数值由晶体的特性决定。典型值是5至6倍的 $R_S$ 。

### 使用一个晶体/陶瓷谐振器产生的低速外部时钟

低速外部时钟(LSE)可以使用一个32.768kHz的晶体/陶瓷谐振器构成的振荡器产生。本节中所给出的信息是基于使用表22中列出的典型外部元器件，通过综合特性评估得到的结果。在应用中，谐振器和负载电容必须尽可能地靠近振荡器的引脚，以减小输出失真和启动时的稳定时间。有关晶体谐振器的详细参数(频率、封装、精度等)，请咨询相应的生产厂商。(译注：这里提到的晶体谐振器就是我们通常说的无源晶振)

**注意：**对于 $C_{L1}$ 和 $C_{L2}$ ，建议使用高质量的5pF~15pF之间的瓷介电容器，并挑选符合要求的晶体或谐振器。通常 $C_{L1}$ 和 $C_{L2}$ 具有相同参数。晶体制造商通常以 $C_{L1}$ 和 $C_{L2}$ 的串行组合给出负载电容的参数。

负载电容 $C_L$ 由下式计算： $C_L = C_{L1} \times C_{L2} / (C_{L1} + C_{L2}) + C_{stray}$ ，其中 $C_{stray}$ 是引脚的电容和PCB板或PCB相关的电容，它的典型值是介于2pF至7pF之间。

**警告：**为了避免超出 $C_{L1}$ 和 $C_{L2}$ 的最大值(15pF)，强烈建议使用负载电容 $C_L \leq 7\text{pF}$ 的谐振器，不能使用负载电容为12.5pF的谐振器。

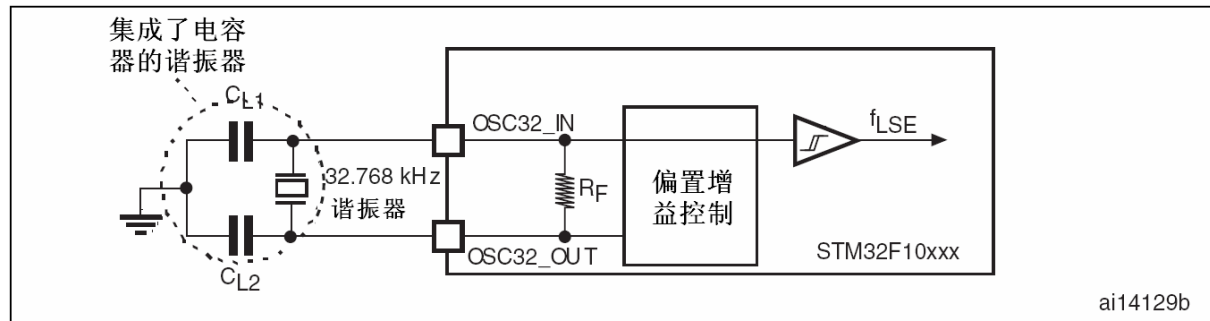
例如：如果选择了一个负载电容 $C_L=6\text{pF}$ 的谐振器并且 $C_{stray}=2\text{pF}$ ，则 $C_{L1}=C_{L2}=8\text{pF}$ 。

表22 LSE 振荡器特性( $f_{LSE}=32.768\text{kHz}$ )<sup>(1)</sup>

| 符号                                  | 参数  | 条件                                     | 最小值 | 典型值 | 最大值 | 单位   |
|-------------------------------------|---|--|-----|-----|-----|------|
| $R_F$                               | 反馈电阻                                      |  |     | 5   |     | MΩ   |
| $C_{L1}$<br>$C_{L2}$ <sup>(2)</sup> | 建议的负载电容与对应的晶体串行阻抗( $R_S$ ) <sup>(3)</sup> | $R_S = 30\text{k}\Omega$               |     |     | 15  | pF   |
| $I_2$                               | LSE驱动电流                                   | $V_{DD}=3.3\text{V}$ , $V_{IN}=V_{SS}$ |     |     | 1.4 | μA   |
| $g_m$                               | 振荡器的跨导                                    |  | 5   |     |     | μA/V |
| $t_{SU(LSE)}$ <sup>(4)</sup>        | 启动时间                                      | $V_{DD}$ 是稳定的                          |     | 3   |     | s    |

- 由综合评估得出，不在生产中测试。
- 参见本表格上方的注意和警告段落。
- 选择具有较小 $R_S$ 值的高质量振荡器(如MSIV-TIN32.768kHz)，可以优化电流消耗。详情请咨询晶体制造商。
- $t_{SU(HSE)}$ 是启动时间，是从软件使能HSE开始测量，直至得到稳定的32.768kHz振荡这段时间。这个数值是在一个标准的晶体谐振器上测量得到，它可能因晶体制造商的不同而变化较大。

图20 使用32.768kHz晶体的典型应用



ai14129b

### 5.3.7 内部时钟源特性

下表中给出的特性参数是使用环境温度和供电电压符合表8的条件测量得到。

#### 高速内部(HSI)RC振荡器

表23 HSI振荡器特性<sup>(1)(2)</sup>

| 符号            | 参数         | 条件                        | 最小值  | 典型值     | 最大值 | 单位      |
|---------------|------------|---------------------------|------|---------|-----|---------|
| $f_{HSI}$     | 频率         |                           |      | 8       |     | MHz     |
| $ACC_{HSI}$   | HSI振荡器的精度  | $T_A = -40\sim85^\circ C$ | -2   | $\pm 1$ | 2.5 | %       |
|               |            | $T_A = -10\sim85^\circ C$ | -1.5 | $\pm 1$ | 2.2 | %       |
|               |            | $T_A = 0\sim70^\circ C$   | -1.3 | $\pm 1$ | 2   | %       |
|               |            | $T_A = 25^\circ C$        | -1.1 | $\pm 1$ | 1.8 | %       |
| $t_{SU(HSI)}$ | HSI振荡器启动时间 |                           | 1    |         | 2   | $\mu s$ |
| $I_{DD(HSI)}$ | HSI振荡器功耗   |                           |      | 80      | 100 | $\mu A$ |

- 由设计保证，不在生产中测试。
- $V_{DD} = 3.3V$ ,  $T_A = -40\sim85^\circ C$ , 除非特别说明。

#### 低速内部(LSI)RC振荡器

表24 LSI振荡器特性<sup>(1)</sup>

| 符号                  | 参数         | 条件 | 最小值 | 典型值  | 最大值 | 单位      |
|---------------------|------------|----|-----|------|-----|---------|
| $f_{LSI}^{(2)}$     | 频率         |    | 30  | 40   | 60  | kHz     |
| $t_{SU(LSI)}^{(3)}$ | LSI振荡器启动时间 |    |     |      | 80  | $\mu s$ |
| $I_{DD(LSI)}^{(3)}$ | LSI振荡器功耗   |    |     | 0.65 | 1.2 | $\mu A$ |

- $V_{DD} = 3.3V$ ,  $T_A = -40\sim85^\circ C$ , 除非特别说明。
- 由综合评估得出，不在生产中测试。
- 由设计保证，不在生产中测试。

#### 从低功耗模式唤醒的时间

表25列出的唤醒时间是在一个8MHz的HSI RC振荡器的唤醒阶段测量得到。唤醒时使用的时钟源依当前的操作模式而定：

- 停机或待机模式：时钟源是RC振荡器
- 睡眠模式：时钟源是进入睡眠模式时所使用的时钟

所有的时间是使用环境温度和供电电压符合表8的条件测量得到。

表25 低功耗模式的唤醒时间

| 符号                  | 参数                 | 条件  | 典型值 | 单位      |
|---------------------|--------------------|---|-----|---------|
| $t_{WUSLEEP}^{(1)}$ | 从睡眠模式唤醒            | 使用HSI RC时钟唤醒  | 1.8 | $\mu s$ |
| $t_{WUSTOP}^{(1)}$  | 从停机模式唤醒(调压器处于运行模式) | HSI RC时钟唤醒 = 2 $\mu s$                              | 3.6 | $\mu s$ |
|                     | 从停机模式唤醒(调压器为低功耗模式) | HSI RC时钟唤醒 = 2 $\mu s$<br>调压器从低功耗模式唤醒时间 = 5 $\mu s$ | 5.4 |         |
| $t_{WUSTDBY}^{(1)}$ | 从待机模式唤醒            | HSI RC时钟唤醒 = 2 $\mu s$<br>调压器从关闭模式唤醒时间 = 38 $\mu s$ | 50  | $\mu s$ |

- 唤醒时间的测量是从唤醒事件开始至用户程序读取第一条指令。

### 5.3.8 PLL特性

表26列出的参数是使用环境温度和供电电压符合表8的条件测量得到。

表26 PLL特性

| 符号             | 参数                     | 数值                 |     |                    | 单位  |
|----------------|------------------------|--------------------|-----|--------------------|-----|
|                |                        | 最小值 <sup>(1)</sup> | 典型值 | 最大值 <sup>(1)</sup> |     |
| $f_{PLL\_IN}$  | PLL输入时钟 <sup>(2)</sup> | 1                  | 8.0 | 25                 | MHz |
|                | PLL输入时钟占空比             | 40                 |     | 60                 | %   |
| $f_{PLL\_OUT}$ | PLL倍频输出时钟              | 16                 |     | 36                 | MHz |
| $t_{LOCK}$     | PLL锁相时间                |                    |     | 200                | μs  |

- 由综合评估得出，不在生产中测试。
- 需要注意使用正确的倍频系数，从而根据PLL输入时钟频率使得 $f_{PLL\_OUT}$ 处于允许范围内。

### 5.3.9 存储器特性

#### 闪存存储器

除非特别说明，所有特性参数是在 $T_A = -40\sim85^\circ C$ 得到。

表27 闪存存储器特性

| 符号          | 参数          | 条件  | 最小值 | 典型值  | 最大值 <sup>(1)</sup> | 单位 |
|-------------|-------------|---|-----|------|--------------------|----|
| $t_{prog}$  | 16位的编程时间    | $T_A = -40\sim85^\circ C$                     | 40  | 52.5 | 70                 | μs |
| $t_{ERASE}$ | 页(1K字节)擦除时间 | $T_A = -40\sim85^\circ C$                     | 20  |      | 40                 | ms |
| $t_{ME}$    | 整片擦除时间      | $T_A = -40\sim85^\circ C$                     | 20  |      | 40                 | ms |
| $I_{DD}$    | 供电电流        | 读模式, $f_{HCLK}=36MHz$ , 1个等待周期, $V_{DD}=3.3V$ |     |      | 20                 | mA |
|             |             | 写/擦除模式, $f_{HCLK}=36MHz$ , $V_{DD}=3.3V$      |     |      | 5                  | mA |
|             |             | 掉电模式/停机, $V_{DD}=3.3\sim3.6V$                 |     |      | 50                 | μA |
| $V_{prog}$  | 编程电压        |   | 2   |      | 3.6                | V  |

- 由设计保证，不在生产中测试。

表28 闪存存储器寿命和数据保存期限

| 符号        | 参数          | 条件  | 最小值 <sup>(1)</sup> | 典型值 | 最大值 | 单位 |
|-----------|-------------|---|--------------------|-----|-----|----|
| $N_{END}$ | 寿命(译注：擦写次数) | $T_A = -40\sim85^\circ C$                       | 10                 |     |     | 千次 |
| $t_{RET}$ | 数据保存期限      | $T_A = 85^\circ C$ 时, 1000次擦写 <sup>(2)</sup> 之后 | 30                 |     |     | 年  |
|           |             | $T_A = 55^\circ C$ , 1万次擦写 <sup>(2)</sup> 之后    | 20                 |     |     |    |

- 由综合评估得出，不在生产中测试。
- 循环测试均是在整个温度范围内进行。

### 5.3.10 EMC特性

敏感性测试是在产品的综合评估时抽样进行测试的。

#### 功能性EMS(电磁敏感性)

当运行一个简单的应用程序时(通过I/O端口闪烁2个LED)，测试样品被施加2种电磁干扰直到产生错误，LED闪烁指示了错误的产生。

- 静电放电(ESD)**(正放电和负放电)施加到芯片所有的引脚直到产生功能性错误。这个测试符合IEC 1000-4-2标准。
- FTB:** 在 $V_{DD}$ 和 $V_{SS}$ 上通过一个100pF的电容施加一个瞬变电压的脉冲群(正向和反向)直到产生功能性错误。这个测试符合IEC 1000-4-4标准。

芯片复位可以使系统恢复正常操作。

测试结果列于下表中。这是基于[应用笔记AN1709](#)中定义的EMS级别和类型进行的测试。

表29 EMS特性

| 符号         | 参数   | 条件   | 级别/类型 |
|------------|--|--|-------|
| $V_{FESD}$ | 施加到任一I/O脚, 从而导致功能错误的电压极限。                              | $V_{DD} = 3.3V, T_A = +25^\circ C, f_{HCLK} = 36MHz$ 。符合IEC 1000-4-2 | 2B    |
| $V_{EFTB}$ | 在 $V_{DD}$ 和 $V_{SS}$ 上通过100pF的电容施加的、导致功能错误的瞬变脉冲群电压极限。 | $V_{DD} = 3.3V, T_A = +25^\circ C, f_{HCLK} = 36MHz$ 。符合IEC 1000-4-4 | 4A    |

### 设计牢靠的软件以避免噪声的问题

在器件级进行EMC的评估和优化, 是在典型的应用环境中进行的。应该注意的是, 好的EMC性能与用户应用和具体的软件密切相关。

因此, 建议用户对软件实行EMC优化, 并进行与EMC有关的认证测试。

### 软件建议

软件的流程中必须包含程序跑飞的控制, 如:

- 被破坏的程序计数器
- 意外的复位
- 关键数据被破坏(控制寄存器等.....)

### 认证前的试验

很多常见的失效(意外的复位和程序计数器被破坏), 可以通过人工地在NRST上引入一个低电平或在晶振引脚上引入一个持续1秒的低电平而重现。

在进行ESD测试时, 可以把超出应用要求的电压直接施加在芯片上, 当检测到意外动作的地方, 软件部分需要加强以防止发生不可恢复的错误(参见[应用笔记AN1015](#))。

### 电磁干扰(EMI)

在运行一个简单的应用程序时(通过I/O端口闪烁2个LED), 监测芯片发射的电磁场。这个发射测试符合SAE J1752/3标准, 这个标准规定了测试板和引脚的负载。

表30 EMI特性

| 符号        | 参数 | 条件  | 监测的频段       | 最大值( $f_{HSE}/f_{HCLK}$ ) | 单位         |
|-----------|----|---|-------------|---------------------------|------------|
|           |    |   |             | 8/36MHz                   |            |
| $S_{EMI}$ | 峰值 | $V_{DD} = 3.3 V, T_A = 25^\circ C, LQFP100$ 封装<br>符合SAE J1752/3 | 0.1~30MHz   | 7                         | dB $\mu$ V |
|           |    |   | 30~130MHz   | 8                         |            |
|           |    |   | 130MHz~1GHz | 13                        |            |
|           |    |   | SAM EMI级别   | 3.5                       |            |

### 5.3.11 绝对最大值(电气敏感性)

基于三个不同的测试(ESD, LU), 使用特定的测量方法, 对芯片进行强度测试以决定它的电气敏感性的性能。

### 静电放电(ESD)

静电放电(一个正的脉冲然后间隔一秒钟后一个负的脉冲)施加到所有样品的所有引脚上, 样品的大小与芯片上供电引脚数目相关( $3\text{片} \times (n+1)$ 供电引脚)。这个测试符合JESD22-A114/C101标准。

表31 ESD绝对最大值

| 符号             | 参数             | 条件                                     | 类型 | 最大值 <sup>(1)</sup> | 单位 |
|----------------|----------------|--|----|--------------------|----|
| $V_{ESD(HBM)}$ | 静电放电电压(人体模型)   | $T_A = +25^\circ C$ ,<br>符合JESD22-A114 | 2  | 2000               | V  |
| $V_{ESD(CDM)}$ | 静电放电电压(充电设备模型) | $T_A = +25^\circ C$ ,<br>符合JESD22-C101 | II | 500                |    |

1. 由综合评估得出, 不在生产中测试。

## 静态栓锁

为了评估栓锁性能，需要在6个样品上进行2个互补的静态栓锁测试：

- 为每个电源引脚，提供超过极限的供电电压。
- 在每个输入、输出和可配置的I/O引脚上注入电流。

这个测试符合EIA/JESD 78A集成电路栓锁标准。

表32 电气敏感性

| 符号 | 参数    | 条件                                     | 类型   |
|----|-------|--|------|
| LU | 静态栓锁类 | $T_A = +85^\circ\text{C}$ , 符合JESD 78A | II类A |

## 5.3.12 I/O端口特性

### 通用输入/输出特性

除非特别说明，下表列出的参数是按照表8的条件测量得到。所有的I/O端口都是兼容CMOS和TTL。

表33 I/O静态特性

| 符号        | 参数                                | 条件  | 最小值               | 典型值 | 最大值          | 单位            |
|-----------|-----------------------------------|---|-------------------|-----|--------------|---------------|
| $V_{IL}$  | 输入低电平电压                           | TTL端口                                       | -0.5              |     | 0.8          | V             |
| $V_{IH}$  | 标准I/O脚，输入高电平电压                    |   | 2                 |     | $V_{DD}+0.5$ |               |
|           | FT I/O脚 <sup>(1)</sup> ，输入高电平电压   |   | 2                 |     | 5.5          |               |
| $V_{IL}$  | 输入低电平电压                           | CMOS端口                                      | -0.5              |     | $0.35V_{DD}$ | V             |
| $V_{IH}$  | 输入高电平电压                           |   | $0.65V_{DD}$      |     | $V_{DD}+0.5$ |               |
| $V_{hys}$ | 标准I/O脚施密特触发器电压迟滞 <sup>(2)</sup>   |   | 200               |     |              | mV            |
|           | 5V容忍I/O脚施密特触发器电压迟滞 <sup>(2)</sup> |   | $5\%V_{DD}^{(3)}$ |     |              | mV            |
| $I_{lkg}$ | 输入漏电流 <sup>(4)</sup>              | $V_{SS} \leq V_{IN} \leq V_{DD}$<br>标准I/O端口 |                   |     | $\pm 1$      | $\mu\text{A}$ |
|           |                                   | $V_{IN} = 5\text{V}$ ,<br>5V容忍端口            |                   |     | 3            |               |
| $R_{PU}$  | 弱上拉等效电阻 <sup>(5)</sup>            | $V_{IN} = V_{SS}$                           | 30                | 40  | 50           | k $\Omega$    |
| $R_{PD}$  | 弱下拉等效电阻 <sup>(5)</sup>            | $V_{IN} = V_{DD}$                           | 30                | 40  | 50           | k $\Omega$    |
| $C_{IO}$  | I/O引脚的电容                          |   |                   | 5   |              | pF            |

1. FT = 5V容忍。
2. 施密特触发器开关电平的迟滞电压。由综合评估得出，不在生产中测试。
3. 至少100mV。
4. 如果在相邻引脚有反向电流倒灌，则漏电流可能高于最大值。
5. 上拉和下拉电阻是设计为一个真正的电阻串联一个可开关的PMOS/NMOS实现。这个PMON/NMOS开关的电阻很小(约占10%)。

所有I/O端口都是CMOS和TTL兼容(不需软件配置)，它们的特性考虑了多数严格的CMOS工艺或TTL参数：

- 对于 $V_{IH}$ ：
  - 如果 $V_{DD}$ 是介于[2.00V~3.08V]；使用CMOS特性但包含TTL。
  - 如果 $V_{DD}$ 是介于[3.08V~3.60V]；使用TTL特性但包含CMOS。
- 对于 $V_{IL}$ ：
  - 如果 $V_{DD}$ 是介于[2.00V~2.28V]；使用TTL特性但包含CMOS。
  - 如果 $V_{DD}$ 是介于[2.28V~3.60V]；使用CMOS特性但包含TTL。

### 输出驱动电流

GPIO(通用输入/输出端口)可以吸收或输出多达+/-8mA电流，并且吸收+20mA电流(不严格的 $V_{OL}$ )。

在用户应用中，I/O脚的数目必须保证驱动电流不能超过5.2节给出的绝对最大额定值：

- 所有I/O端口从 $V_{DD}$ 上获取的电流总和，加上MCU在 $V_{DD}$ 上获取的最大运行电流，不能超过绝对最大额定值 $I_{VDD}$ (参见表6)。

- 所有I/O端口吸收并从V<sub>SS</sub>上流出的电流总和，加上MCU在V<sub>SS</sub>上流出的最大运行电流，不能超过绝对最大额定值I<sub>VSS</sub>(参见表6)。

## 输出电压

除非特别说明，表34列出的参数是使用环境温度和V<sub>DD</sub>供电电压符合表8的条件测量得到。所有的I/O端口都是兼容CMOS和TTL的。

表34 输出电压特性

| 符号                             | 参数                | 条件  | 最小值                   | 最大值 | 单位 |
|--------------------------------|-------------------|---|-----------------------|-----|----|
| V <sub>OL</sub> <sup>(1)</sup> | 输出低电平，当8个引脚同时吸收电流 | TTL端口，I <sub>IO</sub> = +8mA<br>2.7V < V <sub>DD</sub> < 3.6V           |                       | 0.4 | V  |
| V <sub>OH</sub> <sup>(2)</sup> | 输出高电平，当8个引脚同时输出电流 |   | V <sub>DD</sub> - 0.4 |     |    |
| V <sub>OL</sub> <sup>(1)</sup> | 输出低电平，当8个引脚同时吸收电流 | CMOS端口，I <sub>IO</sub> = +8mA<br>2.7V < V <sub>DD</sub> < 3.6V          |                       | 0.4 | V  |
| V <sub>OH</sub> <sup>(2)</sup> | 输出高电平，当8个引脚同时输出电流 |   | 2.4                   |     |    |
| V <sub>OL</sub> <sup>(1)</sup> | 输出低电平，当8个引脚同时吸收电流 | I <sub>IO</sub> = +20mA <sup>(3)</sup><br>2.7V < V <sub>DD</sub> < 3.6V |                       | 1.3 | V  |
| V <sub>OH</sub> <sup>(2)</sup> | 输出高电平，当8个引脚同时输出电流 |   | V <sub>DD</sub> - 1.3 |     |    |
| V <sub>OL</sub> <sup>(1)</sup> | 输出低电平，当8个引脚同时吸收电流 | I <sub>IO</sub> = +6mA <sup>(3)</sup><br>2V < V <sub>DD</sub> < 2.7V    |                       | 0.4 | V  |
| V <sub>OH</sub> <sup>(2)</sup> | 输出高电平，当8个引脚同时输出电流 |   | V <sub>DD</sub> - 0.4 |     |    |

- 芯片吸收的电流I<sub>IO</sub>必须始终遵循表6中给出的绝对最大额定值，同时I<sub>IO</sub>的总和(所有I/O脚和控制脚)不能超过I<sub>VSS</sub>。
- 芯片输出的电流I<sub>IO</sub>必须始终遵循表6中给出的绝对最大额定值，同时I<sub>IO</sub>的总和(所有I/O脚和控制脚)不能超过I<sub>VDD</sub>。
- 由综合评估得出，不在生产中测试。

## 输入输出交流特性

输入输出交流特性的定义和数值分别在图21和表35给出。

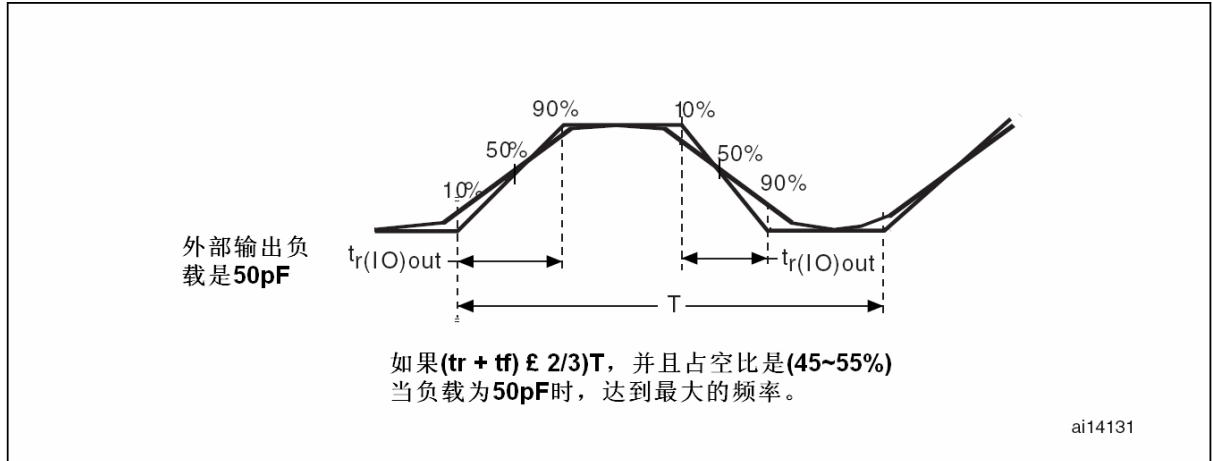
除非特别说明，表35列出的参数是使用环境温度和V<sub>DD</sub>供电电压符合表8的条件测量得到。

表35 输入输出交流特性<sup>(1)</sup>

| MODEx[1:0]的配置 | 符号                      | 参数                  | 条件   | 最小值 | 最大值                | 单位  |
|---------------|-------------------------|---------------------|--|-----|--------------------|-----|
| 10<br>(2MHz)  | f <sub>max(IO)out</sub> | 最大频率 <sup>(2)</sup> | C <sub>L</sub> = 50 pF, V <sub>DD</sub> = 2~3.6V   |     | 2                  | MHz |
|               | t <sub>f(IO)out</sub>   | 输出高至低电平的下降时间        | C <sub>L</sub> = 50 pF, V <sub>DD</sub> = 2~3.6V   |     | 125 <sup>(3)</sup> | ns  |
|               | t <sub>r(IO)out</sub>   | 输出低至高电平的上升时间        |  |     | 125 <sup>(3)</sup> |     |
| 01<br>(10MHz) | f <sub>max(IO)out</sub> | 最大频率 <sup>(2)</sup> | C <sub>L</sub> = 50 pF, V <sub>DD</sub> = 2~3.6V   |     | 10                 | MHz |
|               | t <sub>f(IO)out</sub>   | 输出高至低电平的下降时间        | C <sub>L</sub> = 50 pF, V <sub>DD</sub> = 2~3.6V   |     | 25 <sup>(3)</sup>  | ns  |
|               | t <sub>r(IO)out</sub>   | 输出低至高电平的上升时间        |  |     | 25 <sup>(3)</sup>  |     |
| 11<br>(50MHz) | f <sub>max(IO)out</sub> | 最大频率 <sup>(2)</sup> | C <sub>L</sub> = 30 pF, V <sub>DD</sub> = 2.7~3.6V |     | 50                 | MHz |
|               |                         |                     | C <sub>L</sub> = 50 pF, V <sub>DD</sub> = 2.7~3.6V |     | 30                 |     |
|               |                         |                     | C <sub>L</sub> = 50 pF, V <sub>DD</sub> = 2~2.7V   |     | 20                 |     |
|               | t <sub>f(IO)out</sub>   | 输出高至低电平的下降时间        | C <sub>L</sub> = 30 pF, V <sub>DD</sub> = 2.7~3.6V |     | 5 <sup>(3)</sup>   | ns  |
|               |                         |                     | C <sub>L</sub> = 50 pF, V <sub>DD</sub> = 2.7~3.6V |     | 8 <sup>(3)</sup>   |     |
|               |                         |                     | C <sub>L</sub> = 50 pF, V <sub>DD</sub> = 2~2.7V   |     | 12 <sup>(3)</sup>  |     |
|               | t <sub>r(IO)out</sub>   | 输出低至高电平的上升时间        | C <sub>L</sub> = 30 pF, V <sub>DD</sub> = 2.7~3.6V |     | 5 <sup>(3)</sup>   | ns  |
|               |                         |                     | C <sub>L</sub> = 50 pF, V <sub>DD</sub> = 2.7~3.6V |     | 8 <sup>(3)</sup>   |     |
|               |                         |                     | C <sub>L</sub> = 50 pF, V <sub>DD</sub> = 2~2.7V   |     | 12 <sup>(3)</sup>  |     |
| -             | t <sub>EXTIpw</sub>     | EXTI控制器检测到外部信号的脉冲宽度 |  | 10  |                    | ns  |

- I/O端口的速度可以通过MODEx[1:0]配置。参见STM32F10xxx参考手册中有关GPIO端口配置寄存器的说明。
- 最大频率在图21中定义。
- 由设计保证，不在生产中测试。

图21 输入输出交流特性定义



### 5.3.13 NRST引脚特性

NRST引脚输入驱动使用CMOS工艺，它连接了一个不能断开的上拉电阻， $R_{PU}$ (参见表33)。

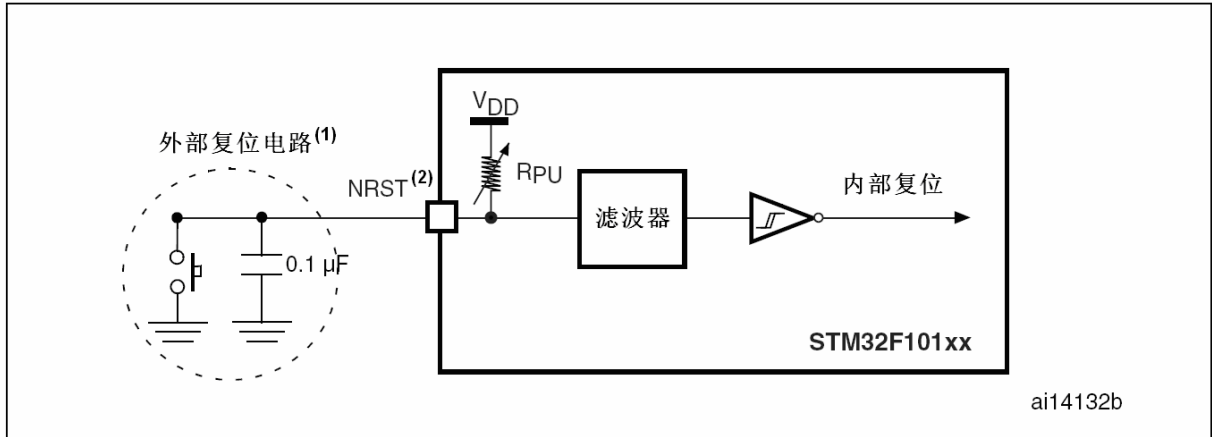
除非特别说明，表36列出的参数是使用环境温度和 $V_{DD}$ 供电电压符合表8的条件测量得到。

表36 NRST引脚特性

| 符号                   | 参数                     | 条件                | 最小值  | 典型值 | 最大值          | 单位 |
|----------------------|------------------------|-------------------|------|-----|--------------|----|
| $V_{IL(NRST)}^{(1)}$ | NRST输入低电平电压            | $V_{IN} = V_{SS}$ | -0.5 |     | 0.8          | V  |
| $V_{IH(NRST)}^{(1)}$ | NRST输入高电平电压            |                   | 2    |     | $V_{DD}+0.5$ |    |
| $V_{hys(NRST)}$      | NRST施密特触发器电压迟滞         |                   |      | 200 |              | mV |
| $R_{PU}$             | 弱上拉等效电阻 <sup>(2)</sup> | $V_{IN} = V_{SS}$ | 30   | 40  | 50           | kΩ |
| $V_{F(NRST)}^{(1)}$  | NRST输入滤波脉冲             |                   |      |     | 100          | ns |
| $V_{NF(NRST)}^{(1)}$ | NRST输入非滤波脉冲            |                   | 300  |     |              | ns |

- 由设计保证，不在生产中测试。
- 上拉电阻是设计为一个真正的电阻串联一个可开关的PMOS实现。这个PMON/NMOS开关的电阻很小(约占10%)。

图22 建议的NRST引脚保护



- 复位网络是为了防止寄生复位。
- 用户必须保证NRST引脚的电位能够低于表36中列出的最大 $V_{IL(NRST)}$ 以下，否则MCU不能得到复位。

### 5.3.14 TIM定时器特性

表37列出的参数由设计保证。

有关输入输出复用功能引脚(输出比较、输入捕获、外部时钟、PWM输出)的特性详情，参见第5.3.12节。

表37 TIM<sup>(1)</sup>特性

| 符号               | 参数                   | 条件                    | 最小值    | 最大值                  | 单位            |
|------------------|----------------------|-----------------------|--------|----------------------|---------------|
| $t_{res(TIM)}$   | 定时器分辨时间              |                       | 1      |                      | $t_{TIMxCLK}$ |
| $f_{EXT}$        | CH1至CH4的定时器外部时钟频率    | $f_{TIMxCLK} = 36MHz$ | 27.8   |                      | ns            |
|                  |                      | $f_{TIMxCLK} = 36MHz$ | 0      | $f_{TIMxCLK}/2$      | MHz           |
| $Res_{TIM}$      | 定时器分辨率               |                       | 0      | 18                   | MHz           |
| $t_{COUNTER}$    | 当选择了内部时钟时，16位计数器时钟周期 |                       | 1      | 65536                | $t_{TIMxCLK}$ |
|                  |                      | $f_{TIMxCLK} = 36MHz$ | 0.0278 | 1820                 | $\mu s$       |
| $t_{MAX\_COUNT}$ | 最大可能的计数              |                       |        | $65536 \times 65536$ | $t_{TIMxCLK}$ |
|                  |                      | $f_{TIMxCLK} = 36MHz$ |        | 119.2                | s             |

1. TIMx是一个通用的名称，代表TIM1~TIM4。

### 5.3.15 通信接口

#### I<sup>2</sup>C接口特性

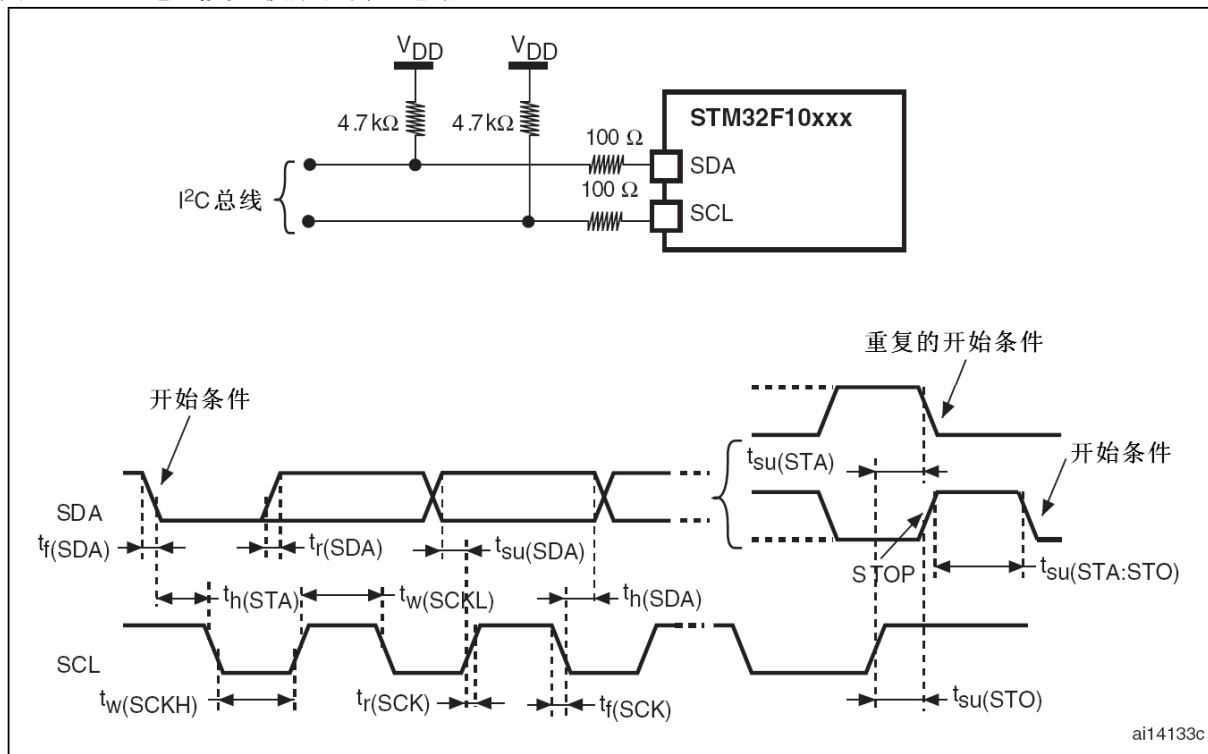
除非特别说明，表38列出的参数是使用环境温度， $f_{PCLK1}$ 频率和 $V_{DD}$ 供电电压符合表8的条件测量得到。STM32F101xx基本型产品的I<sup>2</sup>C接口符合标准I<sup>2</sup>C通信协议，但有如下限制：SDA和SCL不是“真”开漏的引脚，当配置为开漏输出时，在引出脚和 $V_{DD}$ 之间的PMOS管被关闭，但仍然存在。

I<sup>2</sup>C接口特性列于表38，有关输入输出复用功能引脚(SDA和SCL)的特性详情，参见第5.3.12节。

表38 I<sup>2</sup>C接口特性

| 符号                       | 参数                 | 标准I <sup>2</sup> C <sup>(1)</sup> |      | 快速I <sup>2</sup> C <sup>(1)(2)</sup> |                    | 单位      |
|--------------------------|--------------------|-----------------------------------|------|--------------------------------------|--------------------|---------|
|                          |                    | 最小值                               | 最大值  | 最小值                                  | 最大值                |         |
| $t_w(SCLL)$              | SCL时钟低时间           | 4.7                               |      | 1.3                                  |                    | $\mu s$ |
| $t_w(SCLH)$              | SCL时钟高时间           | 4.0                               |      | 0.6                                  |                    |         |
| $t_{su}(SDA)$            | SDA建立时间            | 250                               |      | 100                                  |                    | $ns$    |
| $t_h(SDA)$               | SDA数据保持时间          | 0 <sup>(3)</sup>                  |      | 0 <sup>(4)</sup>                     | 900 <sup>(3)</sup> |         |
| $t_r(SDA)$<br>$t_r(SCL)$ | SDA和SCL上升时间        |                                   | 1000 | 20 + 0.1C <sub>b</sub>               | 300                | $ns$    |
| $t_f(SDA)$<br>$t_f(SCL)$ | SDA和SCL下降时间        |                                   | 300  |                                      | 300                |         |
| $t_h(STA)$               | 开始条件保持时间           | 4.0                               |      | 0.6                                  |                    | $\mu s$ |
| $t_{su}(STA)$            | 重复的开始条件建立时间        | 4.7                               |      | 0.6                                  |                    |         |
| $t_{su}(STO)$            | 停止条件建立时间           | 4.0                               |      | 0.6                                  |                    | $\mu s$ |
| $t_w(STO:STA)$           | 停止条件至开始条件的时间(总线空闲) | 4.7                               |      | 1.3                                  |                    | $\mu s$ |
| $C_b$                    | 每条总线的容性负载          |                                   | 400  |                                      | 400                | pF      |

- 由设计保证，不在生产中测试。
- 为达到标准模式I<sup>2</sup>C的最大频率， $f_{PCLK1}$ 必须大于2MHz。为达到快速模式I<sup>2</sup>C的最大频率， $f_{PCLK1}$ 必须大于4MHz。
- 如果不要求拉长SCL信号的低电平时间，则只需满足开始条件的最大保持时间。
- 为了跨越SCL下降沿未定义的区域，在MCU内部必须保证SDA信号上至少300ns的保持时间。

图23 I<sup>2</sup>C总线交流波形和测量电路<sup>(1)</sup>

1. 测量点设置于CMOS电平: 0.3V<sub>DD</sub>和0.7V<sub>DD</sub>。

表39 SCL频率( $f_{PCLK1} = 36MHz$ ,  $V_{DD} = 3.3V$ )<sup>(1)(2)</sup>

| $f_{SCL}(kHz)$ | I <sup>2</sup> C_CCR数值 |
|----------------|------------------------|
|                | $R_P = 4.7k\Omega$     |
| 400            | 0x801E                 |
| 300            | 0x8028                 |
| 200            | 0x803C                 |
| 100            | 0x00B4                 |
| 50             | 0x0168                 |
| 20             | 0x0384                 |

1.  $R_P$  = 外部上拉电阻,  $f_{SCL}$  = I<sup>2</sup>C速度。

2. 对于200kHz左右的速度, 速度的误差是±5%。对于其它速度范围, 速度的误差是±2%。这些变化取决于设计中外部元器件的精度。

### SPI接口特性

除非特别说明, 表40列出的参数是使用环境温度,  $f_{PCLKx}$ 频率和 $V_{DD}$ 供电电压符合表8的条件测量得到。

有关输入输出复用功能引脚(NSS、SCK、MOSI、MISO)的特性详情, 参见第5.3.12节。

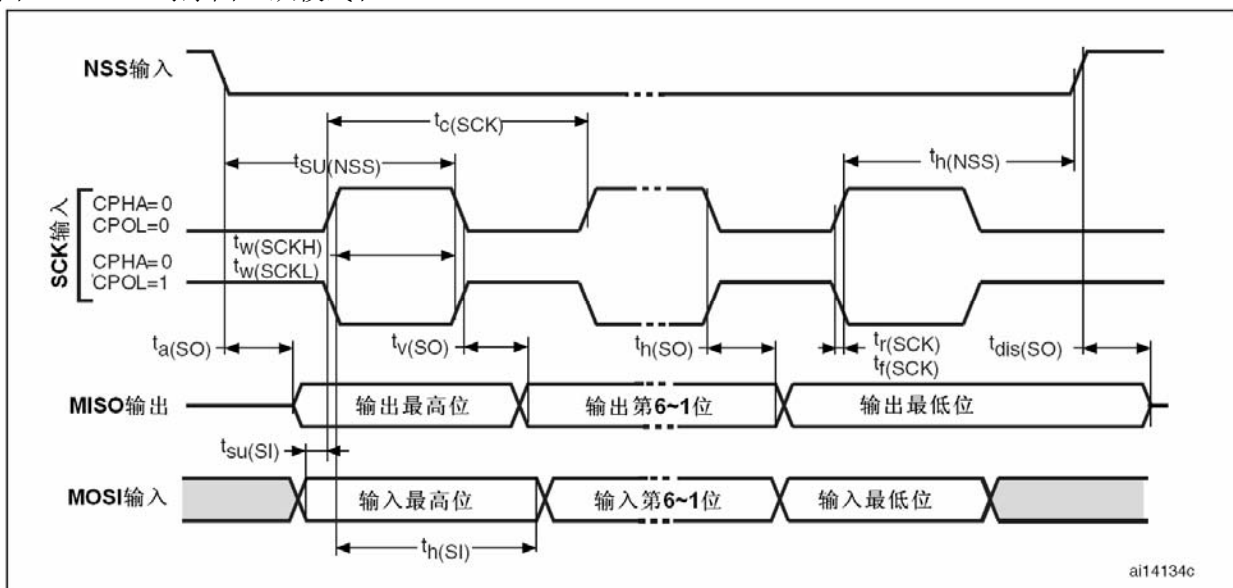
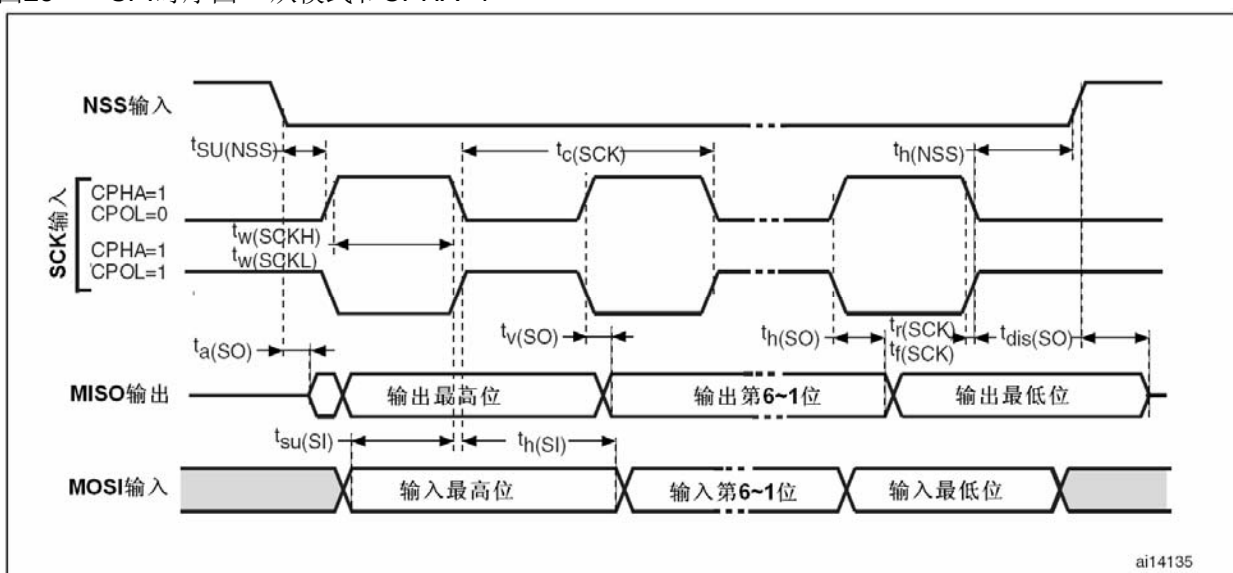
表40 SPI特性<sup>(1)</sup>

| 符号   | 参数            | 条件                                | 最小值         | 最大值 | 单位  |
|--|---------------|-----------------------------------|-------------|-----|-----|
| $f_{SCK}$<br>$1/t_c(SCK)$                                | SPI时钟频率       | 主模式                               | 0           | 18  | MHz |
|  |               | 从模式                               | 0           | 18  |     |
| $t_r(SCK)$<br>$t_f(SCK)$                                 | SPI时钟上升和下降时间  | 负载电容: C = 30pF                    |             | 8   | ns  |
| $t_{su}(NSS)$ <sup>(2)</sup>                             | NSS建立时间       | 从模式                               | $4t_{PCLK}$ |     | ns  |
| $t_h(NSS)$ <sup>(2)</sup>                                | NSS保持时间       | 从模式                               | 73          |     | ns  |
| $t_w(SCKH)$ <sup>(2)</sup><br>$t_w(SCKL)$ <sup>(2)</sup> | SCK高和低的时间     | 主模式, $f_{PCLK} = 36MHz$ , 预分频系数=4 | 50          | 60  | ns  |
| $t_{su}(MI)$ <sup>(2)</sup>                              | 数据输入建立时间, 主模式 | SPI1                              | 1           |     | ns  |
|  |               | SPI2                              | 5           |     |     |

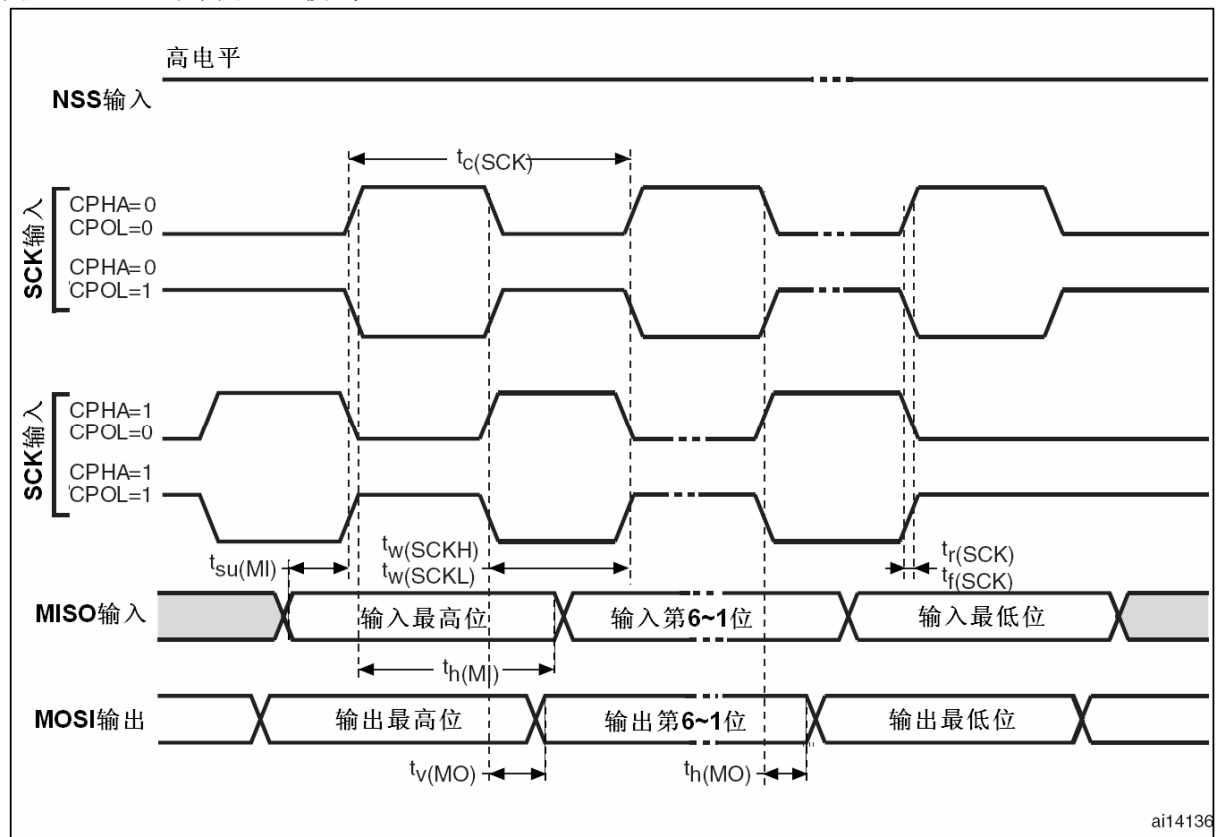
|                        |               |                                   |    |             |    |
|------------------------|---------------|-----------------------------------|----|-------------|----|
| $t_{su(SI)}^{(2)}$     | 数据输入建立时间, 从模式 |                                   | 1  |             |    |
| $t_h(MI)^{(2)}$        | 数据输入保持时间, 主模式 | SPI1                              | 1  |             | ns |
|                        |               | SPI2                              | 5  |             |    |
| $t_h(SI)^{(2)}$        | 数据输入保持时间, 从模式 |                                   | 3  |             |    |
| $t_a(SO)^{(2)(3)}$     | 数据输出访问时间      | 从模式, $f_{PCLK} = 36MHz$ , 预分频系数=4 | 0  | 55          | ns |
|                        |               | 从模式, $f_{PCLK} = 24MHz$           | 0  | $4t_{PCLK}$ |    |
| $t_{dis(SO)}^{(2)(4)}$ | 数据输出禁止时间      | 从模式                               | 10 |             | ns |
| $t_v(SO)^{(2)(1)}$     | 数据输出有效时间      | 从模式(使能边沿之后)                       |    | 25          | ns |
| $t_v(MO)^{(2)(1)}$     | 数据输出有效时间      | 主模式(使能边沿之后)                       |    | 3           | ns |
| $t_h(SO)^{(2)}$        | 数据输出保持时间      | 从模式(使能边沿之后)                       | 25 |             | ns |
|                        |               | 主模式(使能边沿之后)                       | 4  |             |    |

- 重映射的SPI1特性需要进一步确定。
- 由综合评估得出, 不在生产中测试。
- 最小值表示驱动输出的最长时间, 最大值表示正确获得数据的最大时间。
- 最小值表示关闭输出的最长时间, 最大值表示把数据线置于高阻态的最大时间。

图24 SPI时序图 – 从模式和CPHA=0

图25 SPI时序图 – 从模式和CPHA=1<sup>(1)</sup>

- 测量点设置于CMOS电平:  $0.3V_{DD}$ 和 $0.7V_{DD}$ 。

图26 SPI时序图 – 主模式<sup>(1)</sup>

ai14136

1. 测量点设置于CMOS电平: 0.3V<sub>DD</sub>和0.7V<sub>DD</sub>。

### 5.3.16 12位ADC特性

除非特别说明, 表41的参数是使用符合表8的条件的环境温度、f<sub>PCLK2</sub>频率和V<sub>DDA</sub>供电电压测量得到。

注意: 建议在每次上电时执行一次校准。

表41 ADC特性

| 符号                               | 参数                        | 条件                       | 最小值   | 典型值                | 最大值                | 单位                 |
|----------------------------------|---------------------------|--------------------------|---|--------------------|--------------------|--------------------|
| V <sub>DDA</sub>                 | 供电电压                      |                          | 2.4   |                    | 3.6                | V                  |
| V <sub>REF+</sub>                | 正参考电压                     |                          | 2.4   |                    | V <sub>DDA</sub>   | V                  |
| I <sub>VREF</sub>                | 在V <sub>REF</sub> 输入脚上的电压 |                          |   | 160 <sup>(1)</sup> | 220 <sup>(1)</sup> | μA                 |
| f <sub>ADC</sub>                 | ADC时钟频率                   |                          | 0.6   |                    | 14                 | MHz                |
| f <sub>s</sub> <sup>(2)</sup>    | 采样速率                      |                          | 0.05  |                    | 1                  | MHz                |
| f <sub>TRIG</sub> <sup>(2)</sup> | 外部触发频率                    | f <sub>ADC</sub> = 14MHz |   |                    | 823                | kHz                |
|                                  |                           |                          |   |                    | 17                 | 1/f <sub>ADC</sub> |
| V <sub>A1N</sub> <sup>(3)</sup>  | 转换电压范围                    |                          | 0(V <sub>SSA</sub> 或V <sub>REF-</sub> 连接到地) |                    | V <sub>REF+</sub>  | V                  |
| R <sub>A1N</sub> <sup>(2)</sup>  | 外部输入阻抗                    |                          | 参见 <a href="#">公式1</a> 和表42                 |                    |                    | kΩ                 |
| R <sub>ADC</sub> <sup>(2)</sup>  | 采样开关电阻                    |                          |   |                    | 1                  | kΩ                 |
| C <sub>ADC</sub> <sup>(2)</sup>  | 内部采样和保持电容                 |                          |   |                    | 12                 | pF                 |
| t <sub>CAL</sub> <sup>(2)</sup>  | 校准时间                      | f <sub>ADC</sub> = 14MHz | 5.9   |                    |                    | μs                 |
|                                  |                           |                          | 83  |                    |                    | 1/f <sub>ADC</sub> |
| t <sub>lat</sub> <sup>(2)</sup>  | 注入触发转换时延                  | f <sub>ADC</sub> = 14MHz |   |                    | 0.214              | μs                 |
|                                  |                           |                          |   |                    | 3 <sup>(4)</sup>   | 1/f <sub>ADC</sub> |
| t <sub>latr</sub> <sup>(2)</sup> | 常规触发转换时延                  | f <sub>ADC</sub> = 14MHz |   |                    | 0.143              | μs                 |
|                                  |                           |                          |   |                    | 2 <sup>(4)</sup>   | 1/f <sub>ADC</sub> |
| t <sub>s</sub> <sup>(2)</sup>    | 采样时间                      | f <sub>ADC</sub> = 14MHz | 0.107                                       |                    | 17.1               | μs                 |

|                                  |                |                          |                                     |   |       |                    |
|----------------------------------|----------------|--------------------------|-------------------------------------|---|-------|--------------------|
|                                  |                |                          | 1.5                                 |   | 239.5 | 1/f <sub>ADC</sub> |
| t <sub>STAB</sub> <sup>(2)</sup> | 上电时间           |                          | 0                                   | 0 | 1     | μs                 |
| t <sub>CONV</sub> <sup>(2)</sup> | 总的转换时间(包括采样时间) | f <sub>ADC</sub> = 14MHz | 1                                   |   | 18    | μs                 |
|                                  |                |                          | 14~252(采样t <sub>s</sub> + 逐步逼近12.5) |   |       | 1/f <sub>ADC</sub> |

- 由综合评估保证，不在生产中测试。
- 由设计保证，不在生产中测试。
- 在不同的封装形式中，V<sub>REF+</sub>可以在内部连接到V<sub>DDA</sub>，V<sub>REF-</sub>可以在内部连接到V<sub>SSA</sub>。详见表4。
- 对于外部触发，必须在表41列出的时延中加上一个延迟1/f<sub>PCLK2</sub>。

### 公式1：最大R<sub>Ain</sub>公式

$$R_{AIN} < \frac{T_s}{f_{ADC} \times C_{ADC} \times \ln(2^{N+2})} - R_{ADC}$$

上述公式(公式1)用于决定最大的外部阻抗，使得误差可以小于1/4 LSB。其中N=12(表示12位分辨率)。

表42 f<sub>ADC</sub>=14MHz<sup>(1)</sup>时的最大R<sub>Ain</sub>

| T <sub>s</sub> (周期) | t <sub>s</sub> (μs) | 最大R <sub>Ain</sub> (kΩ) |
|---------------------|---------------------|-------------------------|
| 1.5                 | 0.11                | 1.2                     |
| 7.5                 | 0.54                | 10                      |
| 13.5                | 0.96                | 19                      |
| 28.5                | 2.04                | 41                      |
| 41.5                | 2.96                | 60                      |
| 55.5                | 3.96                | 80                      |
| 71.5                | 5.11                | 104                     |
| 239.5               | 17.1                | 350                     |

- 由设计保证，不在生产中测试。

表43 ADC精度 – 局限的测试条件<sup>(1)(2)</sup>

| 符号 | 参数     | 测试条件  | 典型值  | 最大值 <sup>(3)</sup> | 单位  |
|----|--------|---|------|--------------------|-----|
| ET | 综合误差   | $f_{PCLK2} = 28\text{ MHz}$ ,<br>$f_{ADC} = 14\text{ MHz}$ , $R_{AIN} < 10\text{ k}\Omega$ ,<br>$V_{DDA} = 3\sim 3.6\text{ V}$ , $T_A = 25^\circ\text{C}$<br>测量是在ADC校准之后进行的 | ±1.3 | ±2                 | LSB |
| EO | 偏移误差   |   | ±1   | ±1.5               |     |
| EG | 增益误差   |   | ±0.5 | ±1.5               |     |
| ED | 微分线性误差 |   | ±0.7 | ±1                 |     |
| EL | 积分线性误差 |   | ±0.8 | ±1.5               |     |

- ADC的直流精度数值是在经过内部校准后测量的。
- ADC精度与反向注入电流的关系：需要避免在任何标准的模拟输入引脚上注入反向电流，因为这样会显著地降低另一个模拟输入引脚上正在进行的转换精度。建议在可能产生反向注入电流的标准模拟引脚上，(引脚与地之间)增加一个肖特基二极管。  
如果正向的注入电流，只要处于第5.3.12节中给出的I<sub>INJ(PIN)</sub>和ΣI<sub>INJ(PIN)</sub>范围之内，就不会影响ADC精度。
- 由综合评估保证，不在生产中测试。

表44 ADC精度<sup>(1)(2)(3)</sup>

| 符号 | 参数     | 测试条件   | 典型值  | 最大值 <sup>(3)</sup> | 单位  |
|----|--------|--|------|--------------------|-----|
| ET | 综合误差   | $f_{PCLK2} = 28\text{ MHz}$ ,<br>$f_{ADC} = 14\text{ MHz}$ , $R_{AIN} < 10\text{ k}\Omega$ ,<br>$V_{DDA} = 2.4\sim 3.6\text{ V}$<br>测量是在ADC校准之后进行的 | ±2   | ±5                 | LSB |
| EO | 偏移误差   |  | ±1.5 | ±2.5               |     |
| EG | 增益误差   |  | ±1.5 | ±3                 |     |
| ED | 微分线性误差 |  | ±1   | ±2                 |     |
| EL | 积分线性误差 |  | ±1.5 | ±3                 |     |

- ADC的直流精度数值是在经过内部校准后测量的。
- 最佳的性能可以在受限的V<sub>DD</sub>、频率、V<sub>REF</sub>和温度范围下实现。
- ADC精度与反向注入电流的关系：需要避免在任何标准的模拟输入引脚上注入反向电流，因为这样会显著地降低另一个模拟输入引脚上正在进行的转换精度。建议在可能产生反向注入电流的标准模拟引脚上，(引脚与地之间)增加一个肖特基二极管。  
如果正向的注入电流，只要处于第5.3.12节中给出的I<sub>INJ(PIN)</sub>和ΣI<sub>INJ(PIN)</sub>范围之内，就不会影响ADC精度。
- 由综合评估保证，不在生产中测试。

图27 ADC精度特性

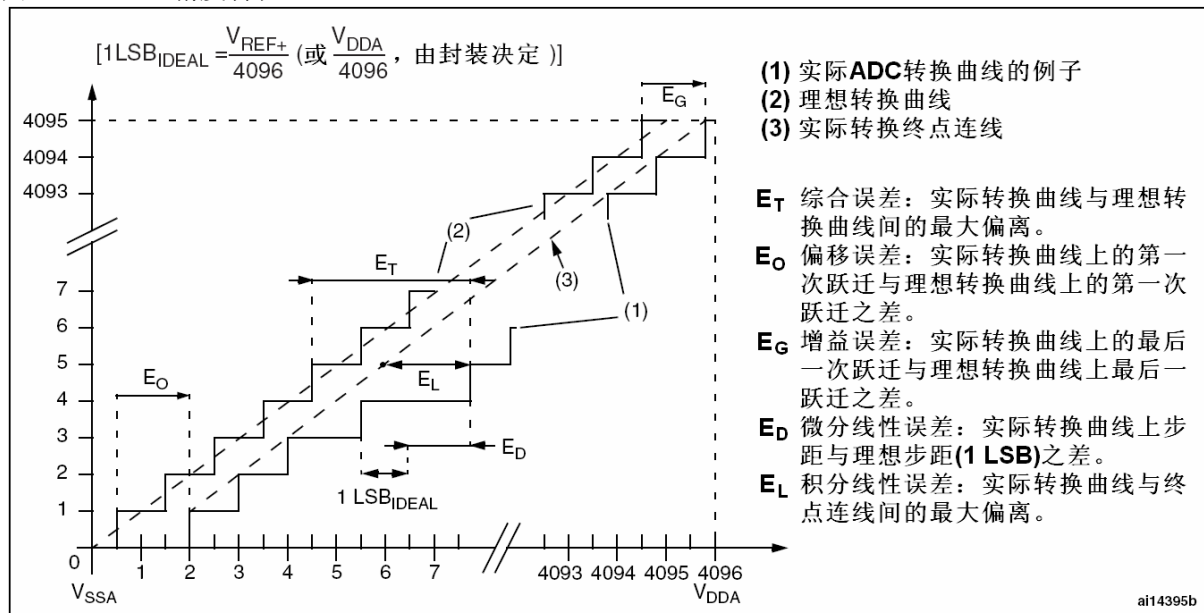
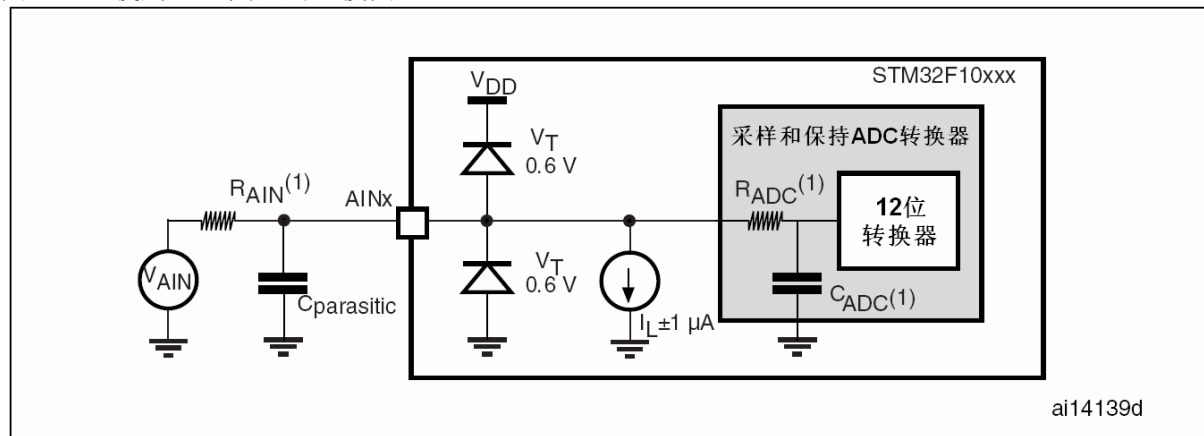


图28 使用ADC典型的连接图

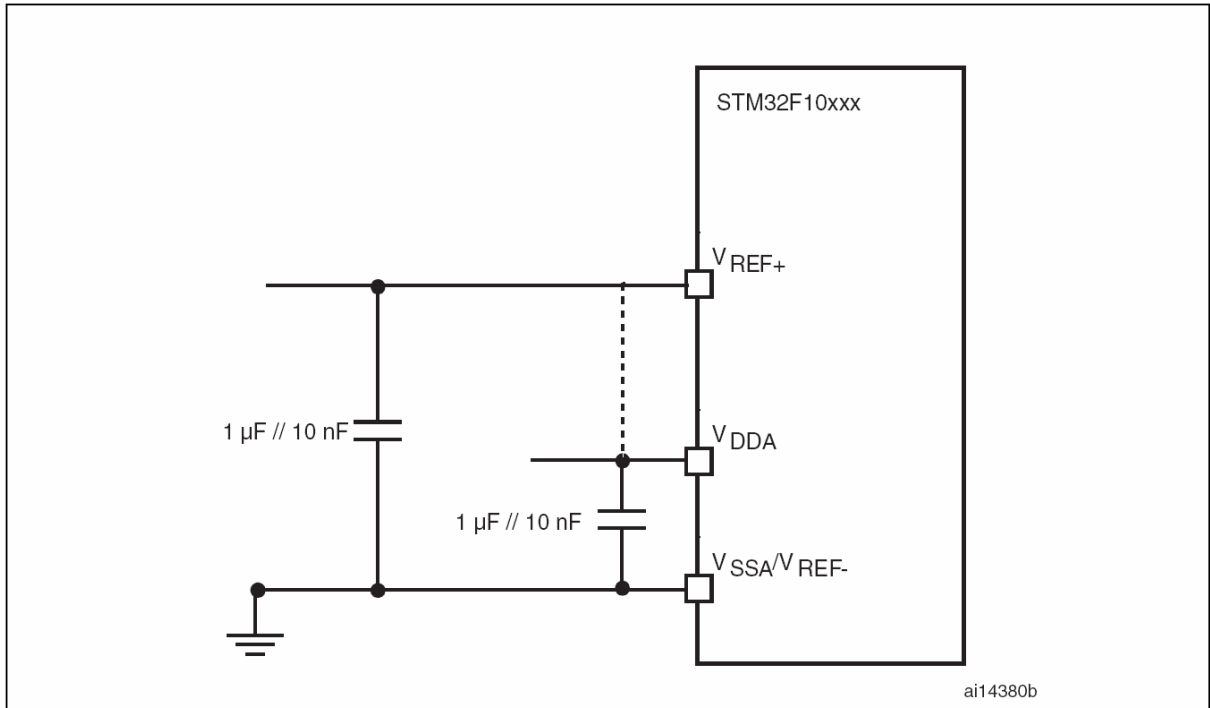


- 有关 $R_{\text{AIN}}$ 、 $R_{\text{ADC}}$ 和 $C_{\text{ADC}}$ 的数值，参见表41。
- $C_{\text{parasitic}}$ 表示PCB(与焊接和PCB布局质量相关)与焊盘上的寄生电容(大约7pF)。较大的 $C_{\text{parasitic}}$ 数值将降低转换的精度，解决的办法是减小 $f_{\text{ADC}}$ 。

## PCB设计建议

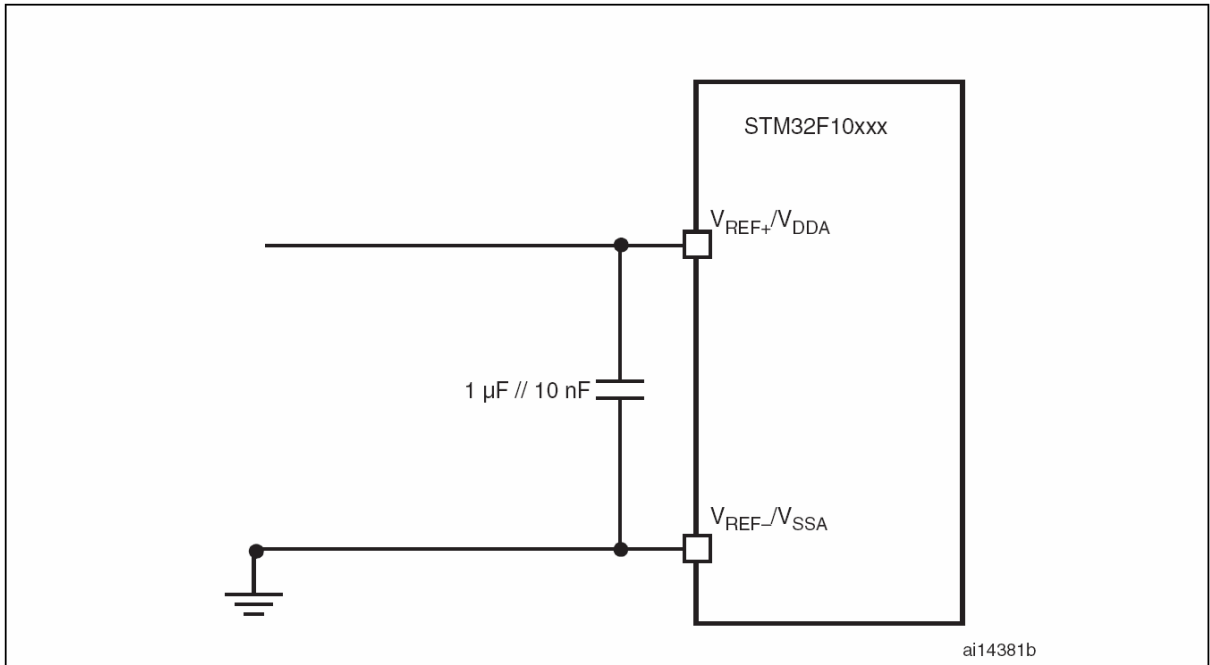
依据 $V_{REF+}$ 是否与 $V_{DDA}$ 相连，电源的去耦必须按照图29或图30连接。图中的10nF电容必须是瓷介电容(好的质量)，它们应该尽可能地靠近MCU芯片。

图29 供电电源和参考电源去耦线路( $V_{REF+}$ 未与 $V_{DDA}$ 相连)



1.  $V_{REF+}$ 和 $V_{REF-}$ 输入只出现在100脚以上的产品。

图30 供电电源和参考电源去耦线路( $V_{REF+}$ 与 $V_{DDA}$ 相连)



1.  $V_{REF+}$ 和 $V_{REF-}$ 输入只出现在100脚以上的产品。

## 5.3.17 温度传感器特性

表45 温度传感器特性

| 符号                       | 参数                    | 最小值  | 典型值     | 最大值     | 单位    |
|--------------------------|-----------------------|------|---------|---------|-------|
| $T_L^{(1)}$              | $V_{SENSE}$ 相对于温度的线性度 |      | $\pm 1$ | $\pm 2$ | °C    |
| Avg_Slope <sup>(1)</sup> | 平均斜率                  | 4.0  | 4.3     | 4.6     | mV/°C |
| $V_{25}^{(1)}$           | 在25°C时的电压             | 1.34 | 1.43    | 1.52    | V     |
| $t_{START}^{(2)}$        | 建立时间                  | 4    |         | 10      | μs    |
| $T_{S\_temp}^{(2)(3)}$   | 当读取温度时, ADC采样时间       |      |         | 17.1    | μs    |

1. 由综合评估保证, 不在生产中测试。
2. 由设计保证, 不在生产中测试。
3. 最短的采样时间可以由应用程序通过多次循环决定。

## 6 封装特性

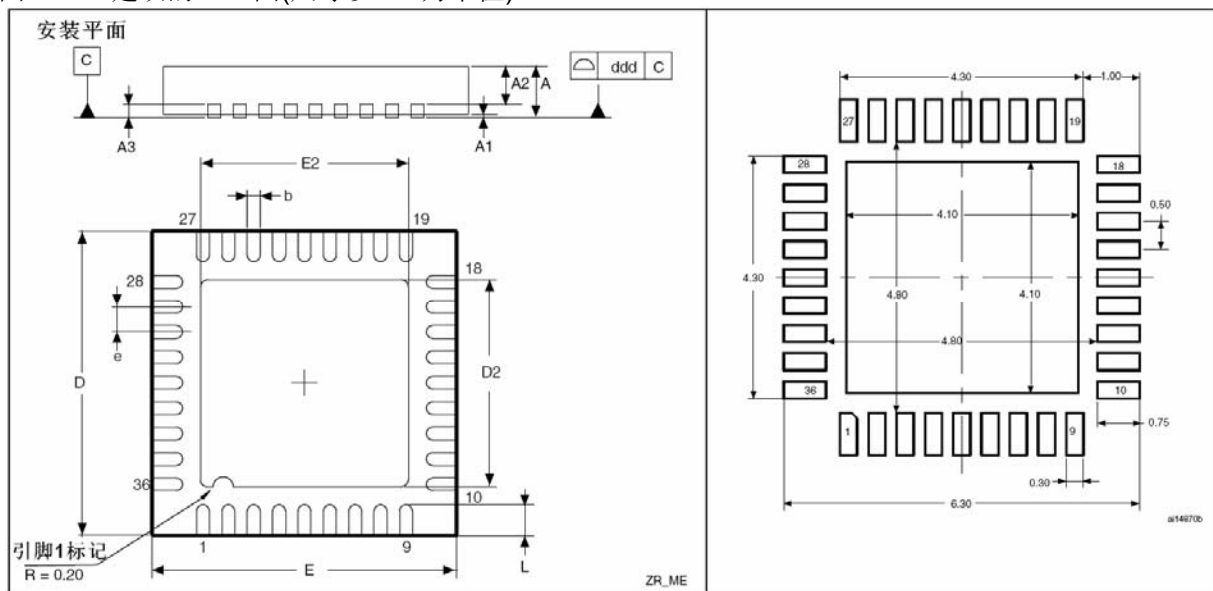
### 6.1 封装机械数据

为了符合环境的需要，ST根据不同的环境等级提供了这些芯片不同等级的ECOPACK®封装。  
ECOPACK®规范、等级定义和产品状态可以在[www.st.com](http://www.st.com)网站上获得。

ECOPACK®是ST的商标。

图31 VFQFPN36, 6x6mm, 0.5mm间距封装图

图32 建议的PCB图(尺寸以mm为单位)<sup>(1)(2)(3)</sup>

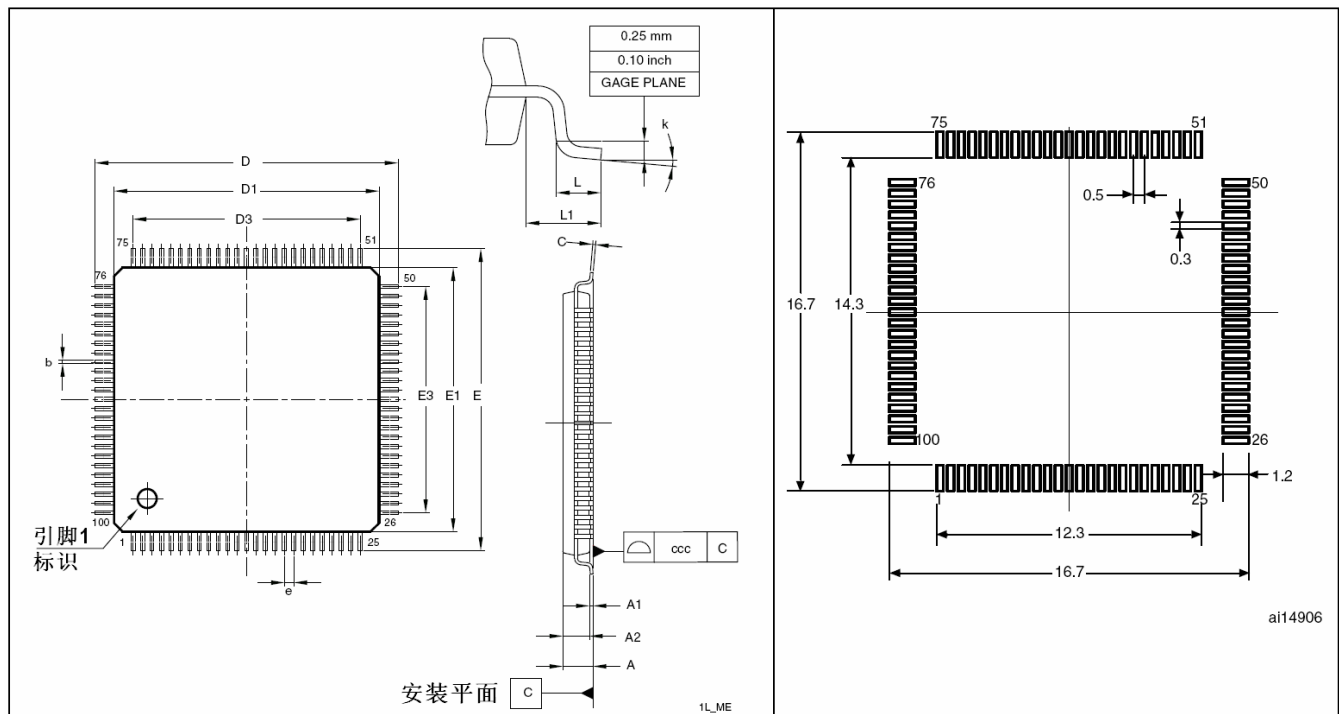


1. 图不是按照比例绘制。
2. 后背的焊盘内部没有联到V<sub>SS</sub>或V<sub>DD</sub>。
3. 在VFQFPN封装的底面有一个焊盘，应把它焊接在PCB上。所有的引脚都应该焊接在PCB上。

表46 VFQFPN36, 6x6mm, 0.5mm间距封装机械数据

| 标号  | 毫米    |       |       | 英寸 <sup>(1)</sup> |        |        |
|-----|-------|-------|-------|-------------------|--------|--------|
|     | 最小值   | 典型值   | 最大值   | 最小值               | 典型值    | 最大值    |
| A   | 0.800 | 0.900 | 1.000 | 0.0315            | 0.0354 | 0.0394 |
| A1  |       | 0.020 | 0.050 |                   | 0.0008 | 0.0020 |
| A2  |       | 0.650 | 1.000 |                   | 0.0256 | 0.0394 |
| A3  |       | 0.250 |       |                   | 0.0098 |        |
| b   | 0.180 | 0.230 | 0.300 | 0.0071            | 0.0091 | 0.0118 |
| D   | 5.875 | 6.000 | 6.125 | 0.2313            | 0.2362 | 0.2411 |
| D2  | 1.750 | 3.700 | 4.250 | 0.0689            | 0.1457 | 0.1673 |
| E   | 5.875 | 6.000 | 6.125 | 0.2313            | 0.2362 | 0.2411 |
| E2  | 1.750 | 3.700 | 4.250 | 0.0689            | 0.1457 | 0.1673 |
| e   | 0.450 | 0.500 | 0.550 | 0.0177            | 0.0197 | 0.0217 |
| L   | 0.350 | 0.550 | 0.750 | 0.0138            | 0.0217 | 0.0295 |
| ddd | 0.080 |       |       | 0.0031            |        |        |

1. 英寸的数值是根据毫米的数据按照4位小数精度转换取整得到的。

图33 LQFP100, 100脚低剖面方形扁平封装图<sup>(1)</sup>图34 建议的PCB元件尺寸<sup>(1)(2)</sup>

1. 图不是按照比例绘制。
2. 尺寸单位为毫米。

表47 LQFP100, 100脚低剖面方形扁平封装数据

| 标号  | 毫米    |       |       | 英寸 <sup>(1)</sup> |        |        |
|-----|-------|-------|-------|-------------------|--------|--------|
|     | 典型值   | 最小值   | 最大值   | 典型值               | 最小值    | 最大值    |
| A   |       |       | 1.60  |                   |        | 0.063  |
| A1  |       | 0.05  | 0.15  |                   | 0.002  | 0.0059 |
| A2  | 1.40  | 1.35  | 1.45  | 0.0551            | 0.0531 | 0.0571 |
| b   | 0.22  | 0.17  | 0.27  | 0.0087            | 0.0067 | 0.0106 |
| c   |       | 0.09  | 0.20  |                   | 0.0035 | 0.0079 |
| D   | 16.00 | 15.80 | 16.20 | 0.6299            | 0.622  | 0.6378 |
| D1  | 14.00 | 13.80 | 14.20 | 0.5512            | 0.5433 | 0.5591 |
| D3  | 12.00 |       |       | 0.4724            |        |        |
| E   | 16.00 | 15.80 | 16.20 | 0.6299            | 0.622  | 0.6378 |
| E1  | 14.00 | 13.80 | 14.20 | 0.5512            | 0.5433 | 0.5591 |
| E3  | 12.00 |       |       | 0.4724            |        |        |
| e   | 0.50  |       |       | 0.0197            |        |        |
| L   | 0.60  | 0.45  | 0.75  | 0.0236            | 0.0177 | 0.0295 |
| L1  | 1.00  |       |       | 0.0394            |        |        |
| k   | 3.5°  | 0°    | 7°    | 3.5°              | 0°     | 7°     |
| ccc | 0.08  |       |       | 0.0031            |        |        |

1. 英寸的数值是根据毫米的数据按照4位小数精度转换取整得到的。

图35 LQFP64, 64脚低剖面方形扁平封装图<sup>(1)</sup>

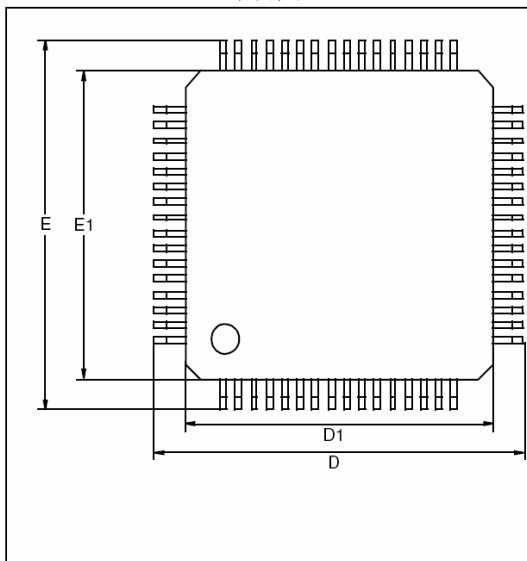
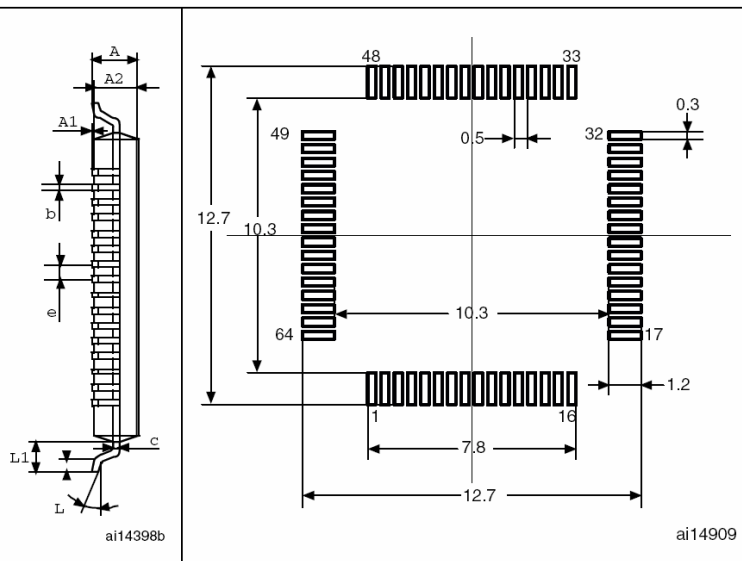


图36 建议的PCB元件尺寸<sup>(1)(2)</sup>



1. 图不是按照比例绘制。

2. 尺寸单位为毫米。

表48 LQFP64, 64脚低剖面方形扁平封装数据

| 标号 | 毫米        |       |      | 英寸 <sup>(1)</sup> |        |        |
|----|-----------|-------|------|-------------------|--------|--------|
|    | 最小值       | 典型值   | 最大值  | 最小值               | 典型值    | 最大值    |
| A  |           |       | 1.60 |                   |        | 0.0630 |
| A1 | 0.05      |       | 0.15 | 0.0020            |        | 0.0059 |
| A2 | 1.35      | 1.40  | 1.45 | 0.0531            | 0.0551 | 0.0571 |
| b  | 0.17      | 0.22  | 0.27 | 0.0067            | 0.0087 | 0.0106 |
| c  | 0.09      |       | 0.20 | 0.0035            |        | 0.0079 |
| D  |           | 12.00 |      |                   | 0.4724 |        |
| D1 |           | 10.00 |      |                   | 0.3937 |        |
| E  |           | 12.00 |      |                   | 0.4724 |        |
| E1 |           | 10.00 |      |                   | 0.3937 |        |
| e  |           | 0.50  |      |                   | 0.0197 |        |
| θ  | 0°        | 3.5°  | 7°   | 0°                | 3.5°   | 7°     |
| L  | 0.45      | 0.60  | 0.75 | 0.0177            | 0.0236 | 0.0295 |
| L1 |           | 1.00  |      |                   | 0.0394 |        |
| N  | 引脚数目 = 64 |       |      |                   |        |        |

1. 英寸的数值是根据毫米的数据按照4位小数精度转换取整得到的。

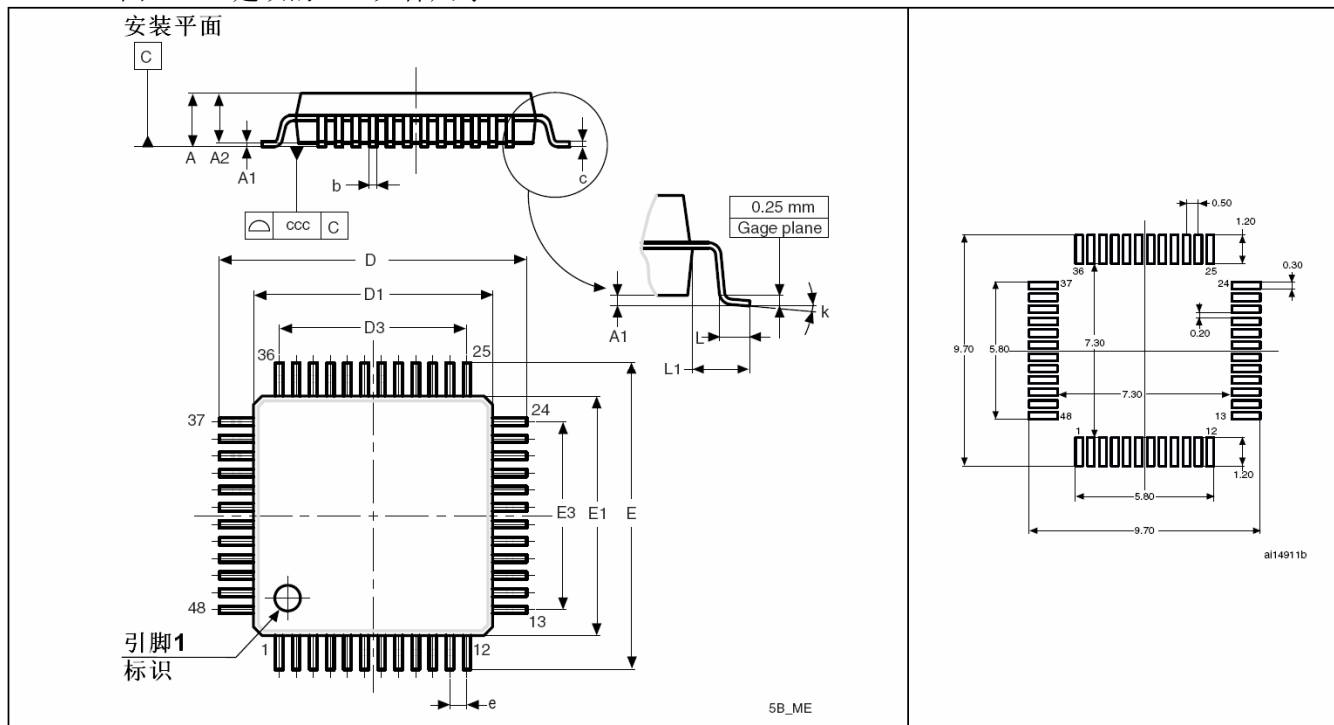
图37 LQFP48, 48脚低剖面方形扁平封装图<sup>(1)</sup>图38 建议的PCB元件尺寸<sup>(1)(2)</sup>

表49 LQFP48, 48脚低剖面方形扁平封装数据

| 标号  | 毫米    |       |       | 英寸 <sup>(1)</sup> |        |        |
|-----|-------|-------|-------|-------------------|--------|--------|
|     | 最小值   | 典型值   | 最大值   | 最小值               | 典型值    | 最大值    |
| A   |       |       | 1.600 |                   |        | 0.0630 |
| A1  |       | 0.050 | 0.150 |                   | 0.0020 | 0.0059 |
| A2  | 1.400 | 1.350 | 1.450 | 0.0551            | 0.0531 | 0.0571 |
| b   | 0.220 | 0.170 | 0.270 | 0.0087            | 0.0067 | 0.0106 |
| c   |       | 0.090 | 0.200 |                   | 0.0035 | 0.0079 |
| D   | 9.000 | 8.800 | 9.200 | 0.3543            | 0.3465 | 0.3622 |
| D1  | 7.000 | 6.800 | 7.200 | 0.2756            | 0.2677 | 0.2835 |
| D3  | 5.500 |       |       | 0.2165            |        |        |
| E   | 9.000 | 8.800 | 9.200 | 0.3543            | 0.3465 | 0.3622 |
| E1  | 7.000 | 6.800 | 7.200 | 0.2756            | 0.2677 | 0.2835 |
| E3  | 5.500 |       |       | 0.2165            |        |        |
| e   | 0.500 |       |       | 0.0197            |        |        |
| L   | 0.600 | 0.450 | 0.750 | 0.0236            | 0.0177 | 0.0295 |
| L1  | 1.000 |       |       | 0.0394            |        |        |
| k   | 3.5°  | 0°    | 7°    | 3.5°              | 0°     | 7°     |
| ccc | 0.080 |       |       | 0.0031            |        |        |

1. 英寸的数值是根据毫米的数据按照4位小数精度转换取整得到的。

## 6.2 热特性

芯片的最大结温( $T_{J\max}$ )一定不能超过表8给出的数值范围。

芯片的最大结温( $T_{J\max}$ )用摄氏温度表示，可用下面的公式计算：

$$T_{J\max} = T_{A\max} + (P_{D\max} \times \Theta_{JA})$$

其中：

- $T_{A\max}$ 是最大的环境温度，用°C表示，
- $\Theta_{JA}$ 是封装中结到环境的热阻抗，用°C/W标示，
- $P_{D\max}$ 是 $P_{INT\max}$ 和 $P_{I/O\max}$ 的和( $P_{D\max} = P_{INT\max} + P_{I/O\max}$ )，
- $P_{INT\max}$ 是 $I_{DD}$ 和 $V_{DD}$ 的乘积，用瓦特(Watt)表示，是芯片的最大内部功耗。

$P_{I/O\max}$ 是所有输出引脚的最大功率消耗：

$$P_{I/O\max} = \sum(V_{OL} \times I_{OL}) + \sum((V_{DD} - V_{OH}) \times I_{OH}),$$

考虑在应用中I/O上低电平和高电平的实际的 $V_{OL}/I_{OL}$ 和 $V_{OH}/I_{OH}$ 。

表50 封装的热特性

| 符号            | 参数                                  | 数值 | 单位     |
|---------------|-------------------------------------|----|--------|
| $\Theta_{JA}$ | 结到环境的热阻抗——LQFP100 – 14x14mm/0.5mm间距 | 46 | °C / W |
|               | 结到环境的热阻抗——LQFP64 – 10x10mm/0.5mm间距  | 45 |        |
|               | 结到环境的热阻抗——LQFP48 – 7x7mm/0.5mm间距    | 55 |        |
|               | 结到环境的热阻抗——VFQFPN36 – 6x6mm/0.5mm间距  | 18 |        |

### 6.2.1 参考文档

JESD51-2 集成电路热测量环境条件 - 自然对流(空气静止)。

参见[www.jedec.org](http://www.jedec.org)。

### 6.2.2 选择产品的温度范围

当订购微控制器时，温度范围在订购代码中指定(见表51)。

每个温度范围编号的产品，对应于一个给定的、在最大消耗下可以保障的环境温度，对应于一个给定的最大结温度。STM32F101x8和STM32F101xB只有温度编号6(-40~85°C)。

下面的例子说明如何根据特定的应用计算需要的温度范围，用于检查所需的温度范围是否在STM32F101xx结温度范围之内。

#### 例1：高性能应用

假设下面的应用条件：

最大环境温度 $T_{A\max} = 82^\circ\text{C}$ (根据JESD51-2标准测量)，

$I_{DD\max} = 50\text{mA}$ ,  $V_{DD} = 3.5\text{V}$ ，同时最多有20个I/O端口处于输出低电平 $I_{OL}=8\text{mA}$ ,  $V_{OL}=0.4\text{V}$ ,

并且同时最多有8个I/O端口处于输出低电平 $I_{OL}=20\text{mA}$ ,  $V_{OL}=1.3\text{V}$

$$P_{INT\max} = 50\text{mA} \times 3.5\text{V} = 175\text{mW}$$

$$P_{I/O\max} = 20 \times 8\text{mA} \times 0.4\text{V} + 8 \times 20\text{mA} \times 1.3 = 272\text{mW}$$

这样得到： $P_{INT\max} = 175\text{mW}$ 和  $P_{I/O\max} = 272\text{mW}$

$$\text{即: } P_{D\max} = 175 + 272 = 447\text{mW}$$

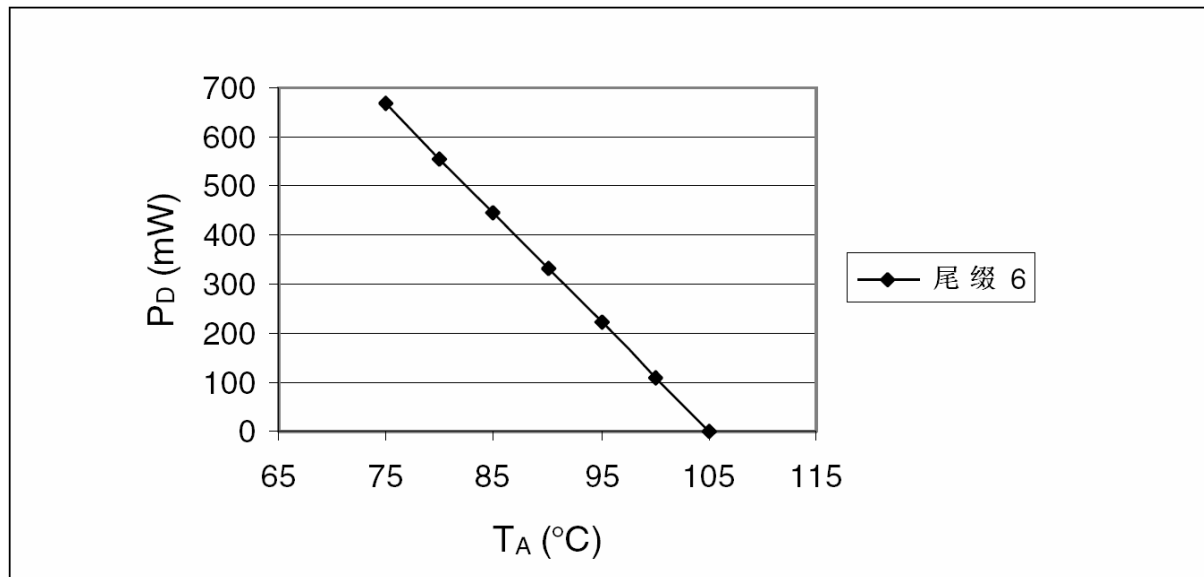
因此： $P_{D\max} = 447\text{mW}$

根据表50中得到的数据如下计算 $T_{J\max}$ ：

对于 LQFP64, 45°C/W

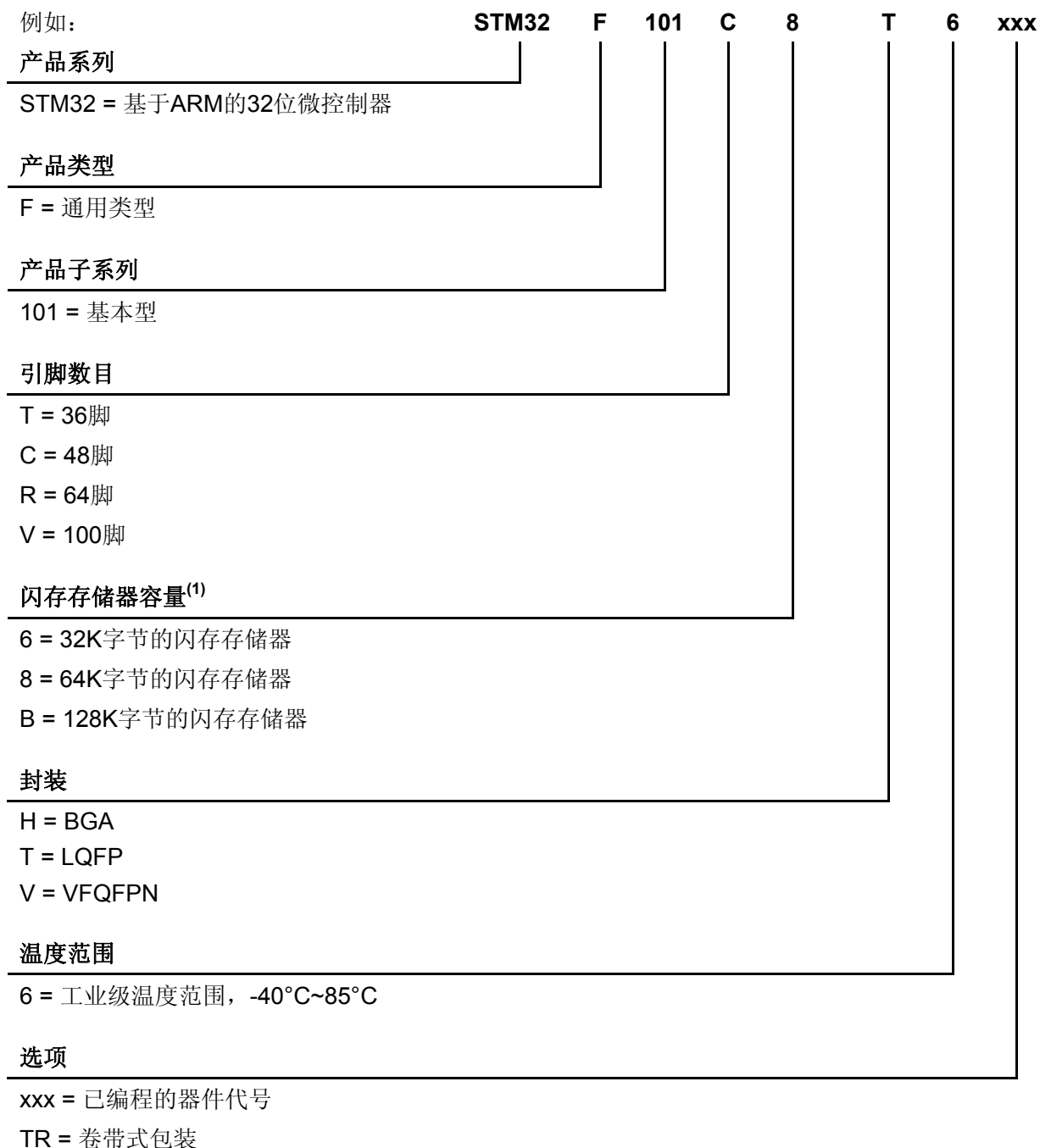
$$T_{J\max} = 82^\circ\text{C} + (45^\circ\text{C/W} \times 447\text{mW}) = 82^\circ\text{C} + 20.1^\circ\text{C} = 102.1^\circ\text{C}$$

结果在STM32F101xx的结温度(-40 <  $T_J$  < 105°C)范围内。

图39 LQFP64  $P_{D\max}$ 对照  $T_A$ 

## 7 订货代码

表51 订货代码信息图示



- 尽管本手册中没有包括STM32F101x6的型号，但在温度代码6之后有代码A的产品，应该参照本数据手册的电气参数。小容量产品的数据手册只涵盖了具有代码A的STM32F101x6产品特性。  
关于更多的选项列表(速度、封装等)和其他相关信息，请与邻近的ST销售处联络。

## 8 版本历史

请参考英文版数据手册

## **重要通知 – 请仔细阅读**

意法半导体公司及其子公司（“ST”）保留随时对ST 产品和/或本文档进行变更、更正、增强、修改和改进的权利，恕不另行通知。买方在订货之前应获取关于ST 产品的最新信息。ST 产品的销售依照订单确认时的相关ST 销售条款。

买方自行负责对ST 产品的选择和使用，ST 概不承担与应用协助或买方产品设计相关的任何责任。

ST 不对任何知识产权进行任何明示或默示的授权或许可。

转售的ST 产品如有不同于此处提供的信息的规定，将导致ST 针对该产品授予的任何保证失效。

ST 和ST 徽标是ST 的商标。所有其他产品或服务名称均为其各自所有者的财产。

本文档中的信息取代本文档所有早期版本中提供的信息。

© 2015 STMicroelectronics - 保留所有权利